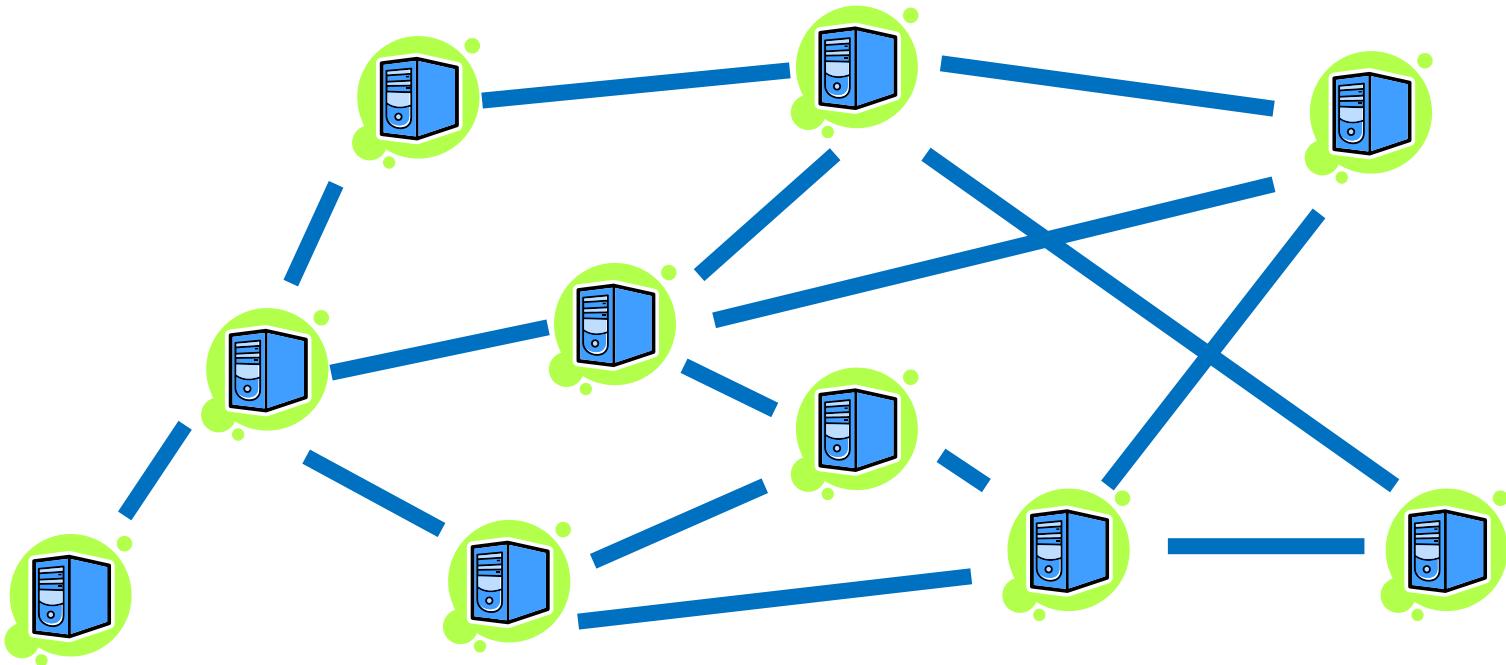


ネットワーク上の 分散グラフアルゴリズムと 最適化

泉 泰介 (名古屋工業大学)
RIMS組み合わせ最適化セミナー(2017/07/27)

分散システム

- ネットワーク=グラフ
 - ▣ 頂点=計算機(ノード)
 - ▣ 辺=通信リンク

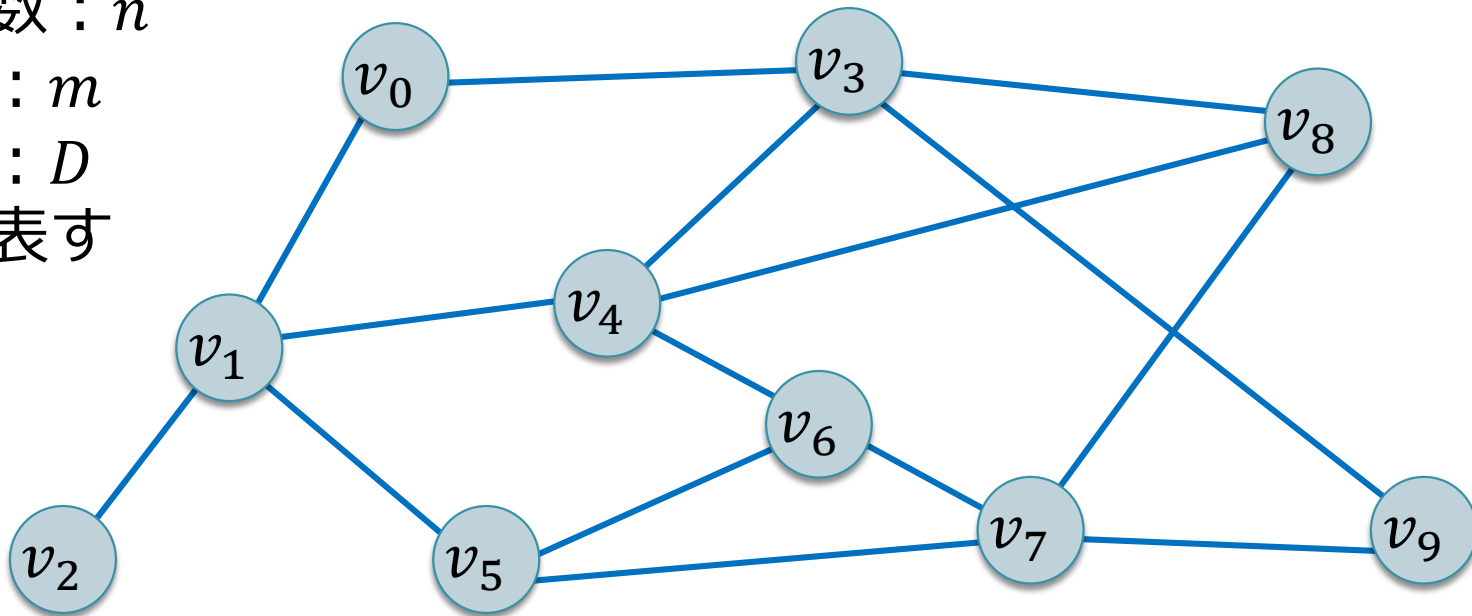


分散システム

- ネットワーク=グラフ
 - ▣ 頂点=計算機
 - ▣ 辺=通信リンク

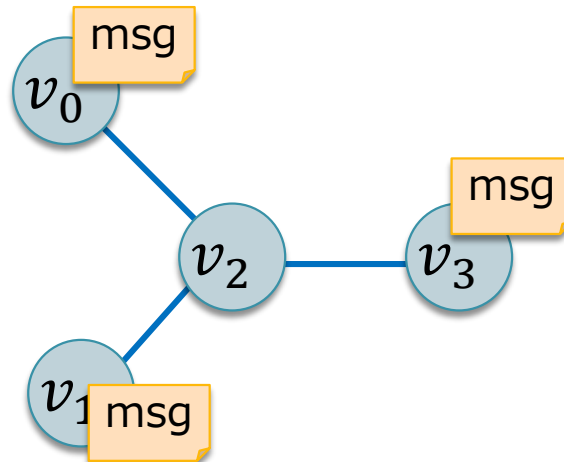
ネットワーク自身を入力と見なして
グラフ上の問題を解く
→ 分散グラフアルゴリズム

頂点数： n
辺数： m
直径： D
で表す



CONGESTモデル

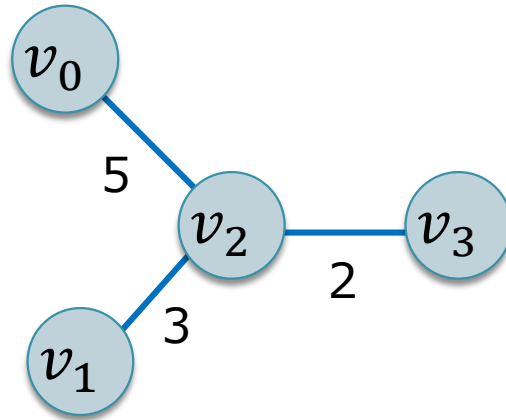
- 計算機はラウンドに従って同期して動作
 - ▣ 隣接頂点へのメッセージ送信
 - ▣ 隣接頂点からのメッセージ受信
 - ▣ 内部計算(RAMで多項式時間) } で1ラウンド
- 各リンクは単位ラウンドあたり高々 $O(\log n)$ ビットを(双方向に)伝送可能



逆に、帯域がunboundedなモデルを**LOCALモデル**と呼ぶ(今回は考えない)

CONGESTモデル

- 本発表では全体を通して重み付きグラフを考える
 - ▣ 各ノードは接続辺の重みを参照可能
 - ▣ 重みは正整数であり, $O(\log n)$ ビットで表現可能



- ▣ 重みとメッセージ伝送のコストは無関係
 - 重みの大きい辺でも単位ラウンドでメッセージを伝送可能

その他注意事項

- ノードは一意的なID($O(\log n)$ ビット)を持つ
 - ▣ IDを持たない(使えない)モデル(匿名モデル)も存在するが今回は考えない
 - ▣ 隣接ノードのIDは既知
 - メッセージ通信複雑性を考えない場合は本質的な仮定ではない
- 各ノードはグラフのトポロジに関する知識を持たない
 - ▣ ネットワークがどうなっているか
 - ▣ 自分がどこに居るか？

は計算して初めてわかる

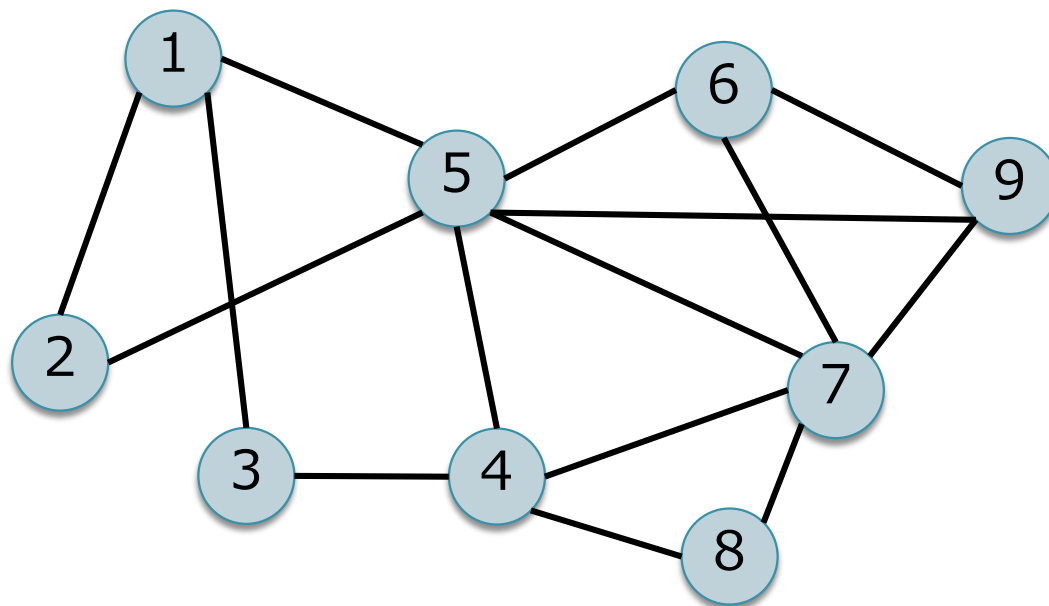
その他注意事項

- アルゴリズムはラウンド1からみんな一斉に開始される
 - ▣ 「誰が指示するのか」という点は追及してはいけない:-P
- 大域的な問題を考える場合, n, m , 最大次数などは既知としても一般性を失わないことが多い
 - ▣ $O(D)$ ラウンドの前処理で計算可能
- アルゴリズムの終了検知のために D の(近似)値が必要となる場合がある
 - ▣ 正確に D の値を求めるのは難しいが, 2-近似値 ($D \leq D' \leq 2D$ なる D' の値)は容易に計算可能
→ 終了検知に利用するのであればこの値で十分

注: 重み付きグラフの場合, D は(重みなし)直径 (=重みを無視したときの直径)を表す

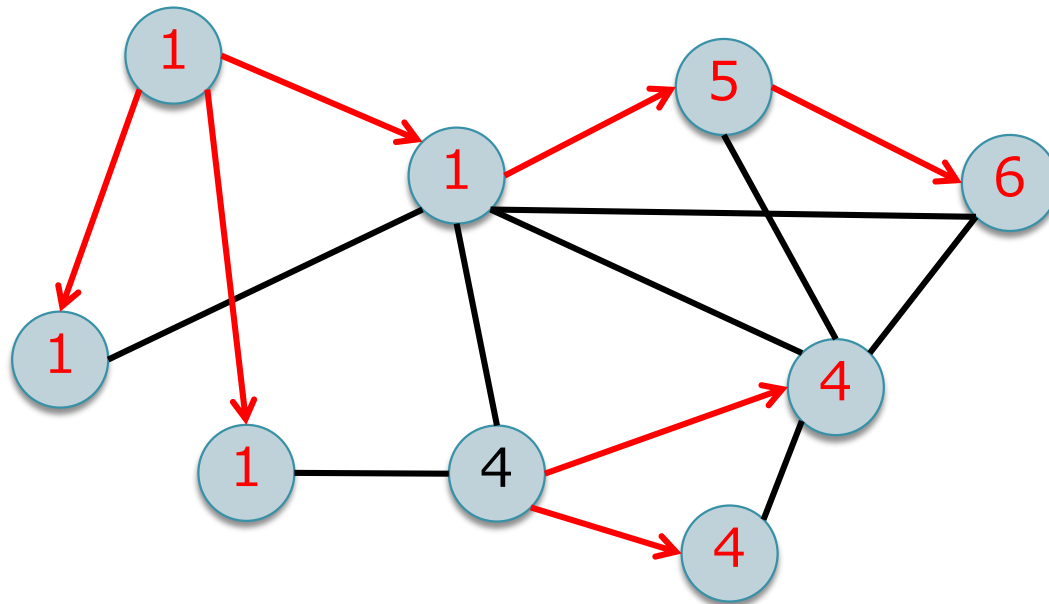
CONGESTモデルにおける万能解法

- 1 : リーダ選挙+収集操作
- 2 : 集中型アルゴリズムを使って問題を解く
- 3 : (必要であれば)答えを配布



CONGESTモデルにおける万能解法

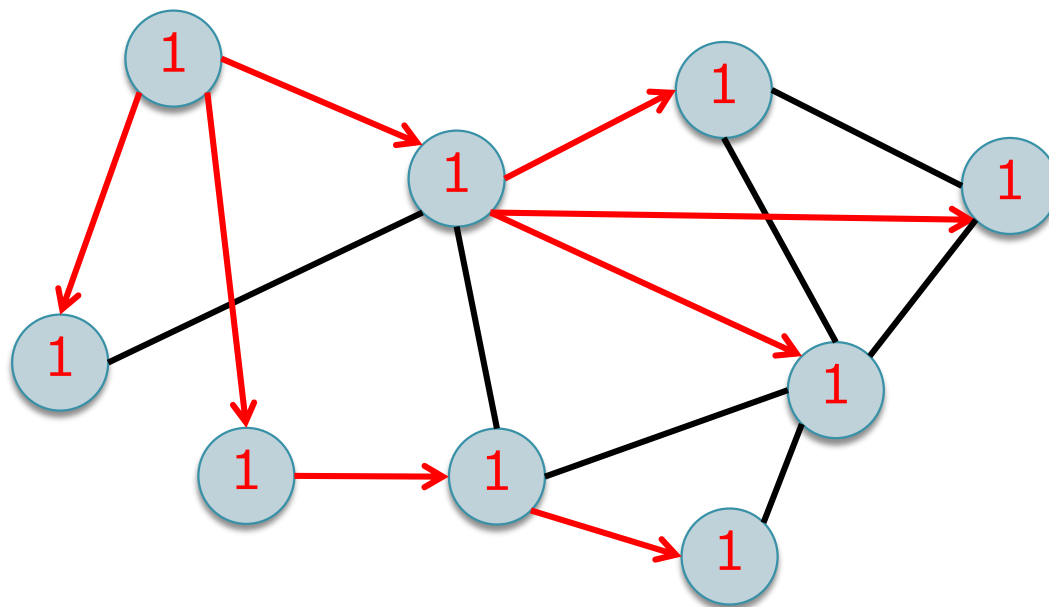
- 1 : **リーダー選挙**+収集操作
- 2 : 集中型アルゴリズムを使って問題を解く
- 3 : (必要であれば)答えを配布



CONGESTモデルにおける万能解法

- 1 : リーダ選挙+収集操作
- 2 : 集中型アルゴリズムを使って問題を解く
- 3 : (必要であれば)答えを配布

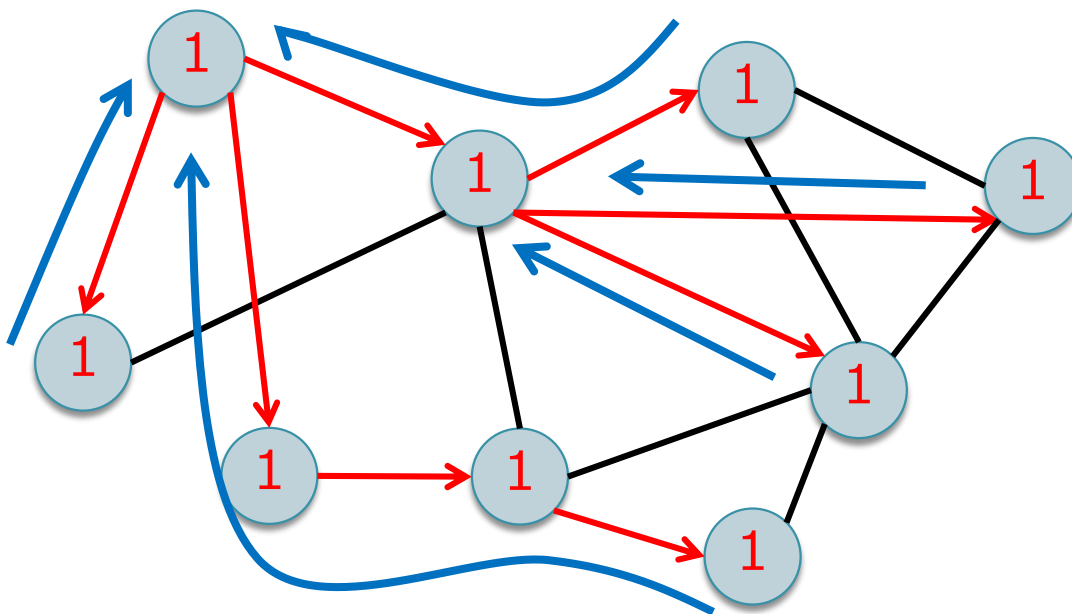
$O(D)$ ラウンドで完了(終了検知はタイムアウトを利用)



CONGESTモデルにおける万能解法

- 1 : リーダ選挙+**収集操作**
- 2 : 集中型アルゴリズムを使って問題を解く
- 3 : (必要であれば)答えを配布

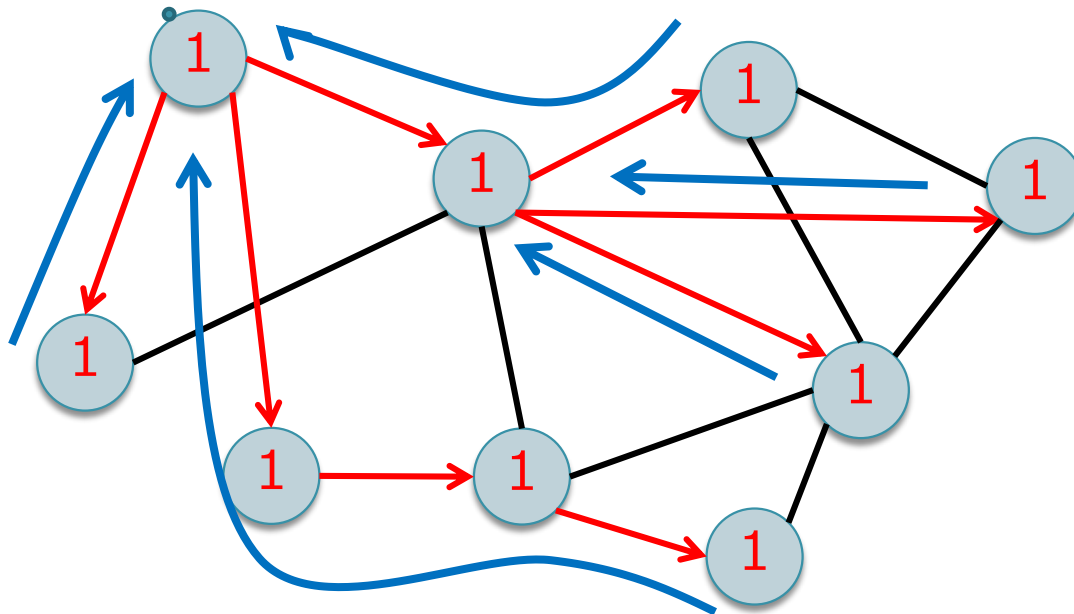
$O(m)$ ラウンド(1ラウンドで伝送可能な情報=辺1本ぶん)



CONGESTモデルにおける万能解法

- 1 : リーダ選挙+収集操作
- 2 : 集中型アルゴリズムを使って問題を解く
- 3 : (必要であれば)答えを配布

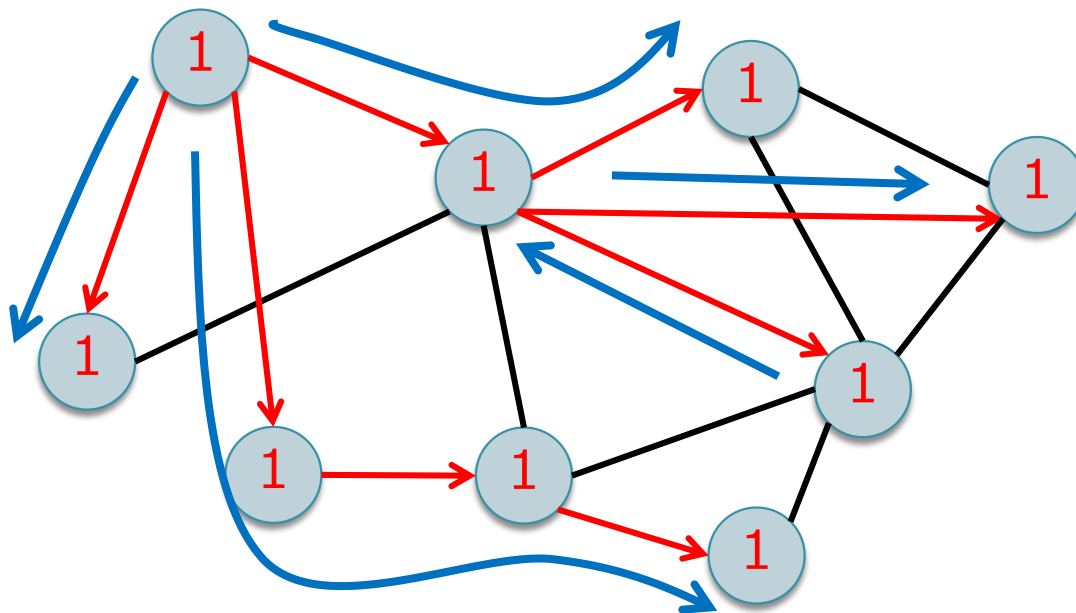
計算中...



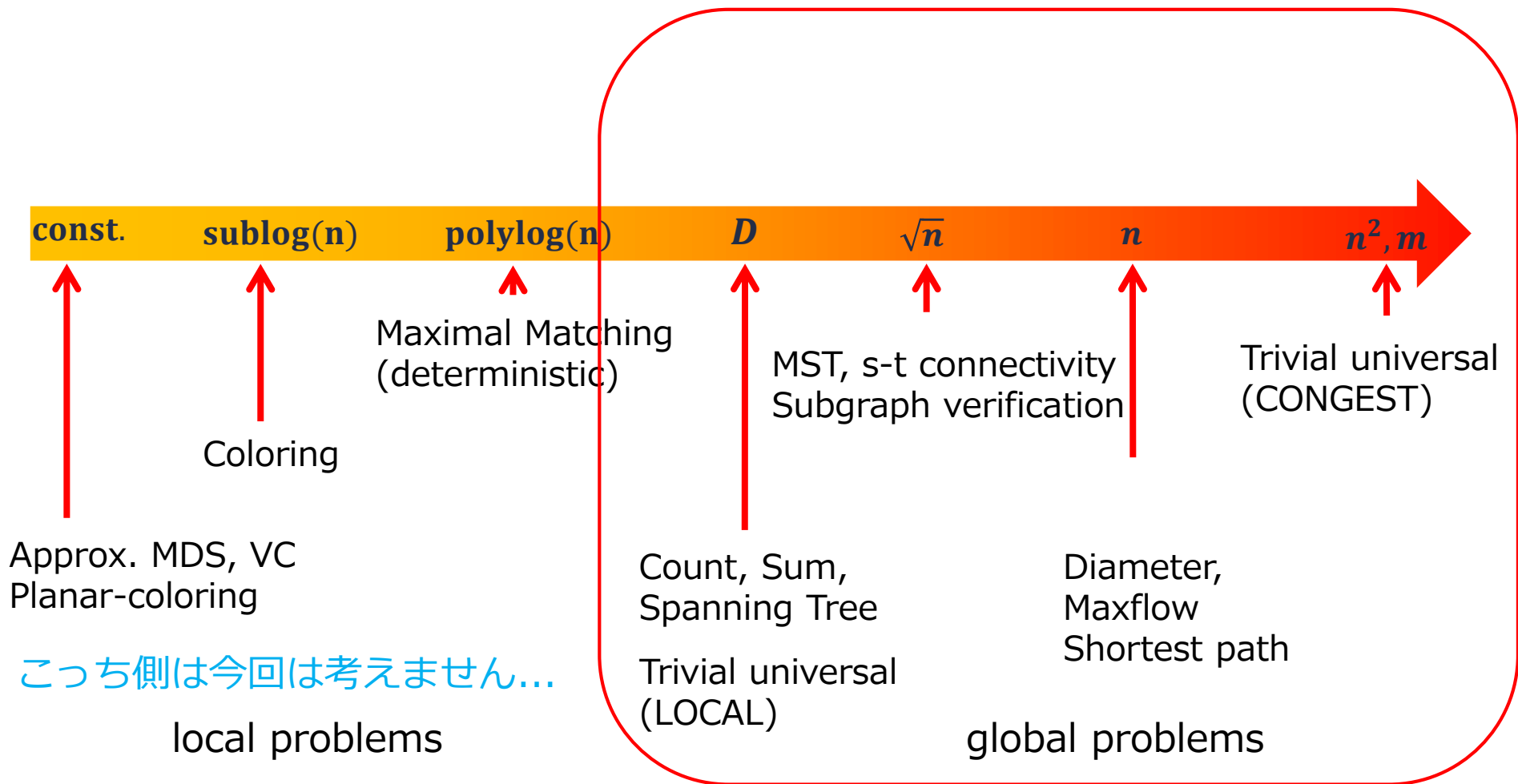
CONGESTモデルにおける万能解法

- 1 : リーダ選挙+収集操作
- 2 : 集中型アルゴリズムを使って問題を解く
- 3 : (必要であれば)答えを配布

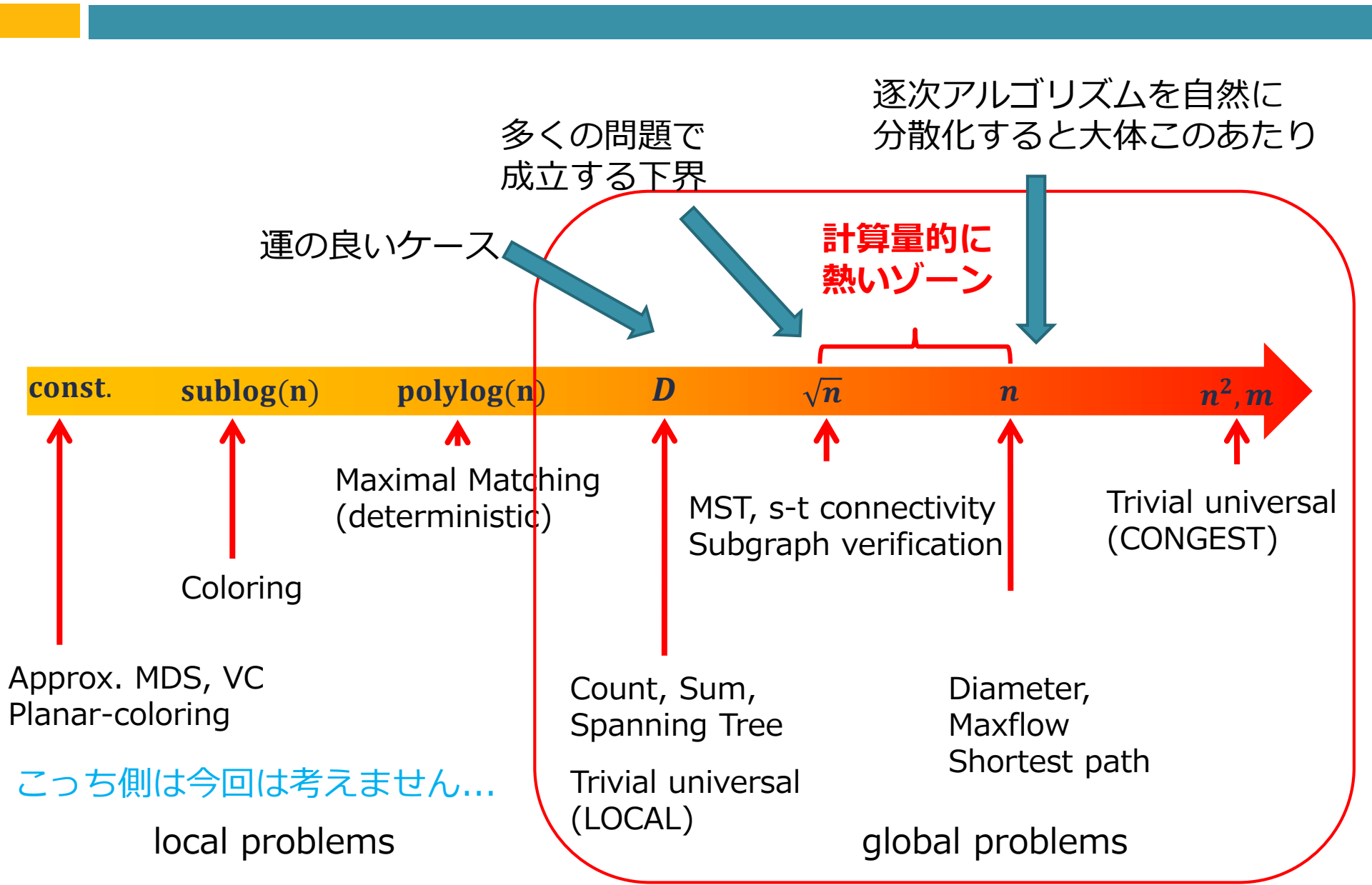
$O(?)$ ラウンド(答えのサイズによる)



時間計算量の相場観



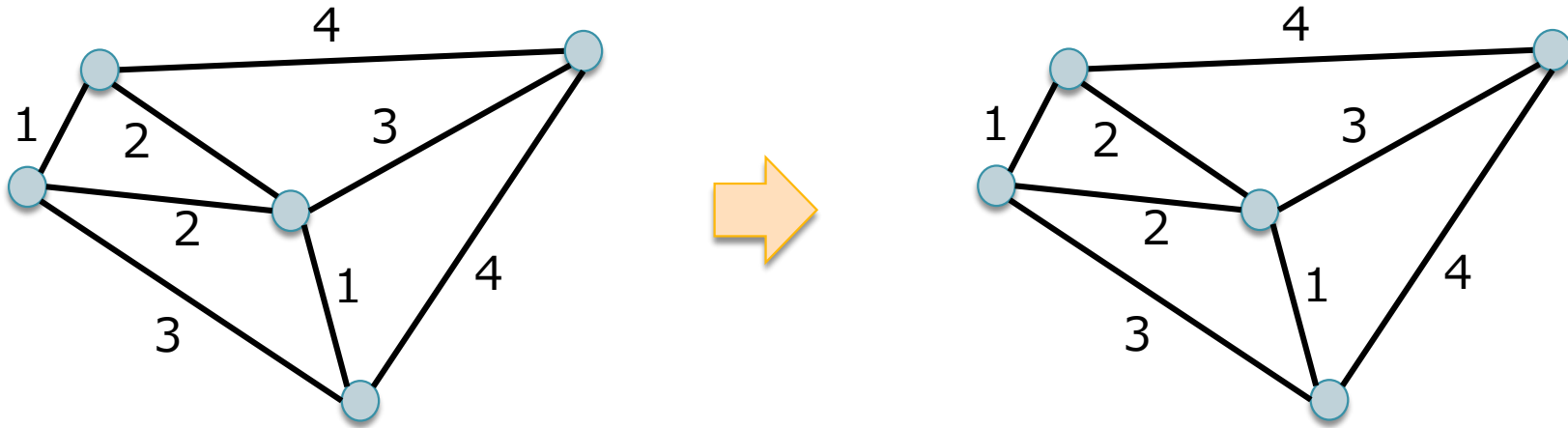
時間計算量の相場観



\tilde{O} 記法

- 大域的な問題に対する分散アルゴリズムの設計では, $\text{polylog}(n)$ 因子は「小さい値」として無視することが多い
 - 一般に $\text{polylog}(n)$ 因子は長く煩雑になりがち
 - 指数時間 Alg. で多項式部分を無視するのに近いかも?
- soft- O 記法 (\tilde{O} 記法)
 - $\tilde{O}(f(n)) = O(f(n)\text{polylog}(n))$
 - $\tilde{o}(f(n)) = o(f(n)\text{polylog}(n))$
 - $\tilde{\Omega}(f(n)) = \Omega\left(\frac{f(n)}{\text{polylog}(n)}\right)$

ケーススタディ:MST



(お馴染みの) Kruskal法

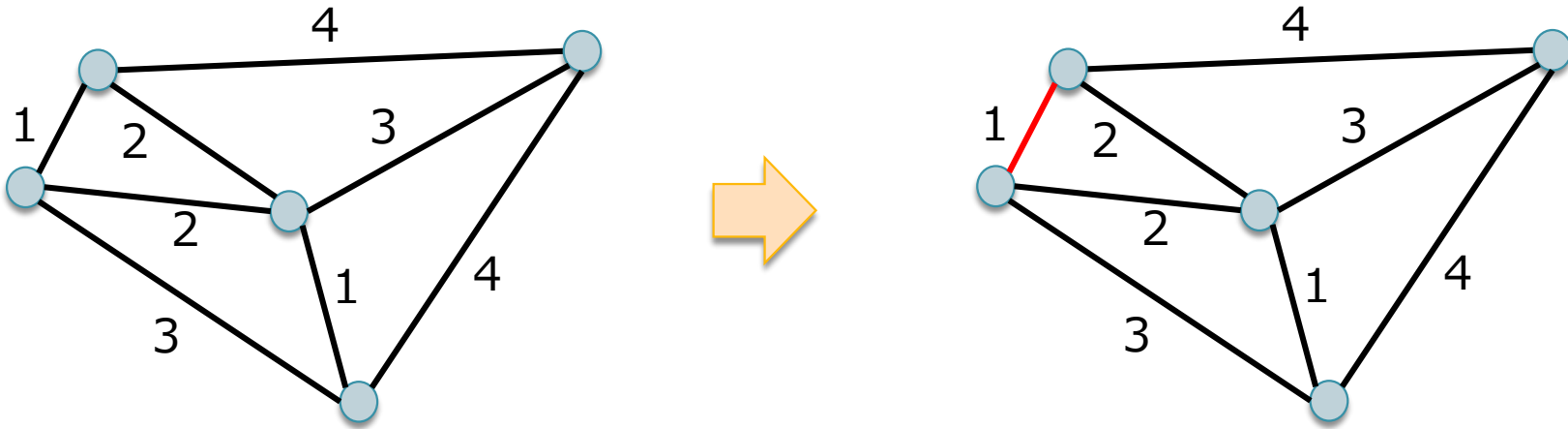
1 : $T \leftarrow \emptyset$

2 : 辺集合を重みの昇順にソート(e_1, e_2, \dots, e_m とする)

3 : for each e_i do

4 : if $T \cup \{e_i\}$ が閉路を持たない then $T \leftarrow T \cup \{e_i\}$

ケーススタディ:MST



(お馴染みの) Kruskal法

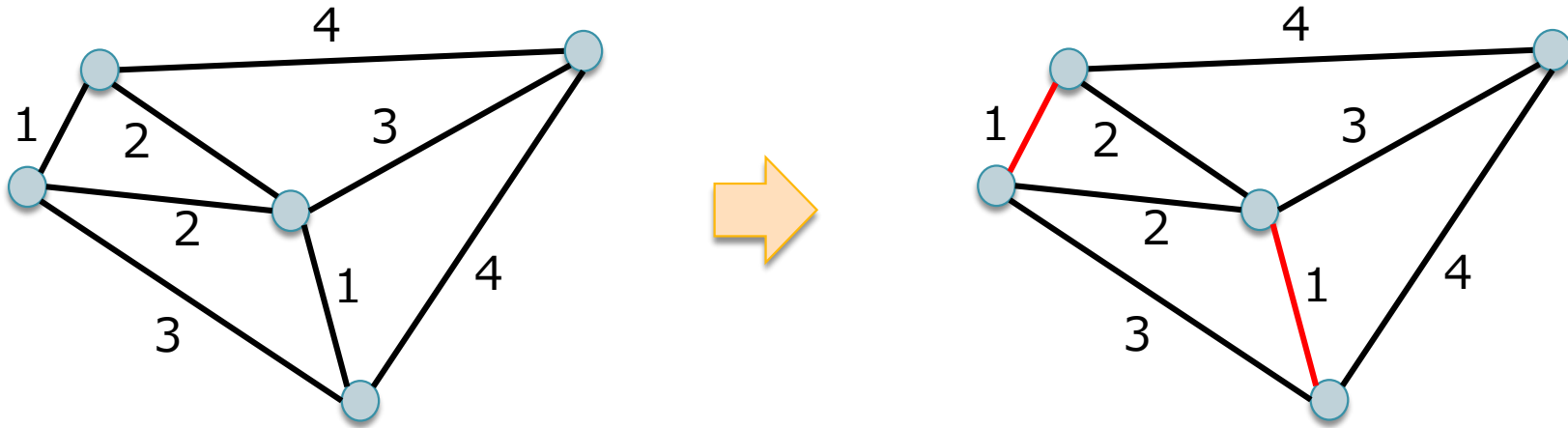
1 : $T \leftarrow \emptyset$

2 : 辺集合を重みの昇順にソート(e_1, e_2, \dots, e_m とする)

3 : for each e_i do

4 : if $T \cup \{e_i\}$ が閉路を持たない then $T \leftarrow T \cup \{e_i\}$

ケーススタディ:MST



(お馴染みの) Kruskal法

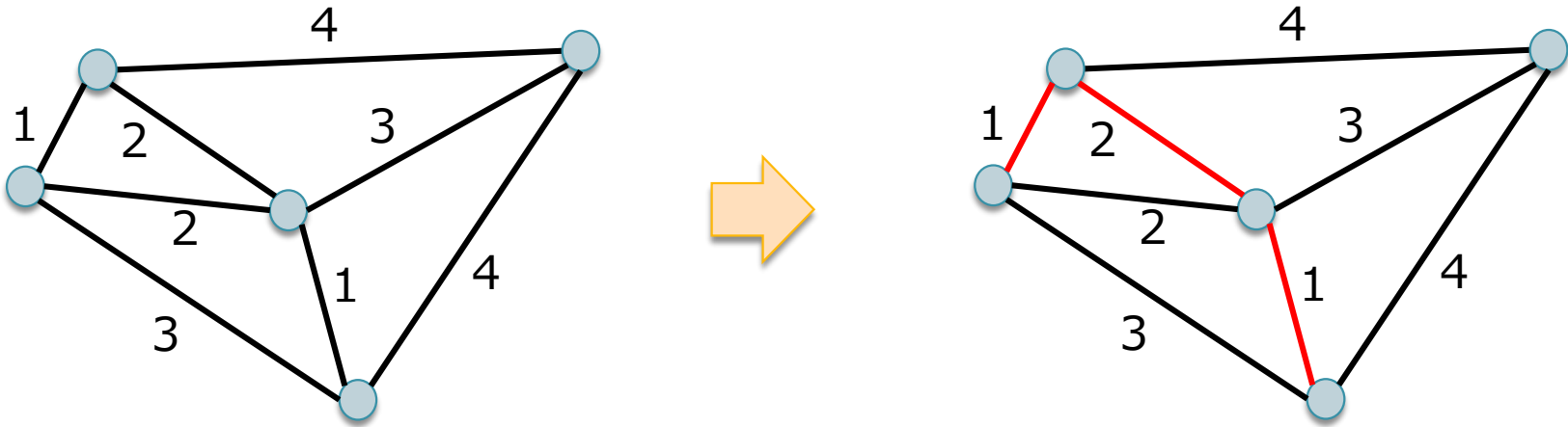
1 : $T \leftarrow \emptyset$

2 : 辺集合を重みの昇順にソート(e_1, e_2, \dots, e_m とする)

3 : for each e_i do

4 : if $T \cup \{e_i\}$ が閉路を持たない then $T \leftarrow T \cup \{e_i\}$

ケーススタディ:MST



(お馴染みの) Kruskal法

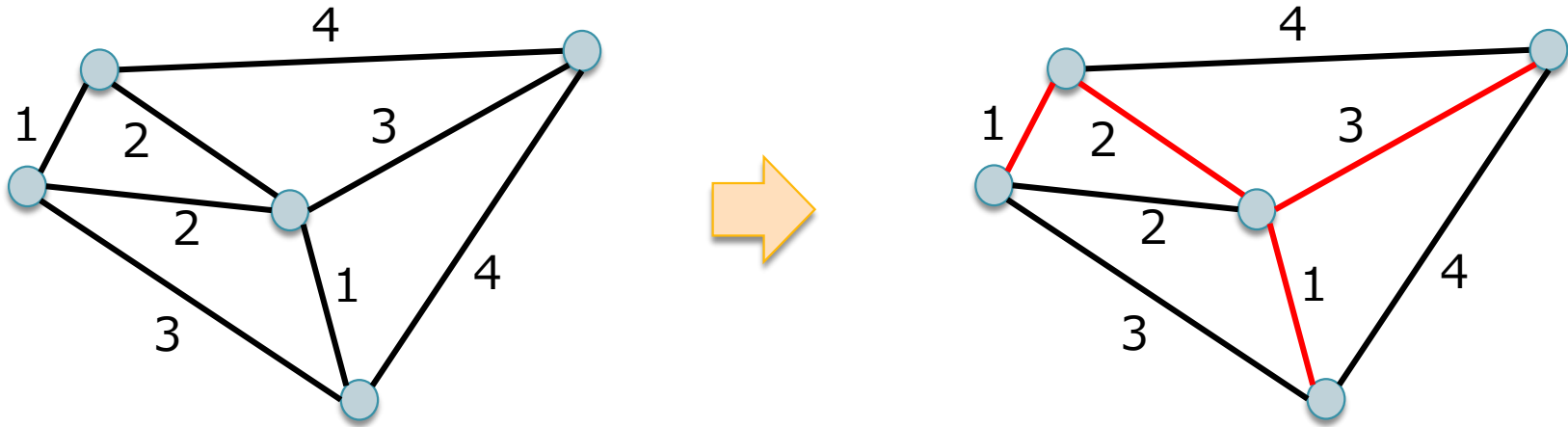
1 : $T \leftarrow \emptyset$

2 : 辺集合を重みの昇順にソート(e_1, e_2, \dots, e_m とする)

3 : for each e_i do

4 : if $T \cup \{e_i\}$ が閉路を持たない then $T \leftarrow T \cup \{e_i\}$

ケーススタディ:MST



(お馴染みの) Kruskal法

1 : $T \leftarrow \emptyset$

2 : 辺集合を重みの昇順にソート(e_1, e_2, \dots, e_m とする)

3 : for each e_i do

4 : if $T \cup \{e_i\}$ が閉路を持たない then $T \leftarrow T \cup \{e_i\}$

MST : 分散化への道

- 「greedyはいやだ」
 - Kruskalは本質的に逐次っぽい感じがする

- 代替案 : Boruvka法

Boruvka法

1 : $T \leftarrow \emptyset$

2 : $F(T) \leftarrow$ グラフ (V, T) の連結成分(森)集合

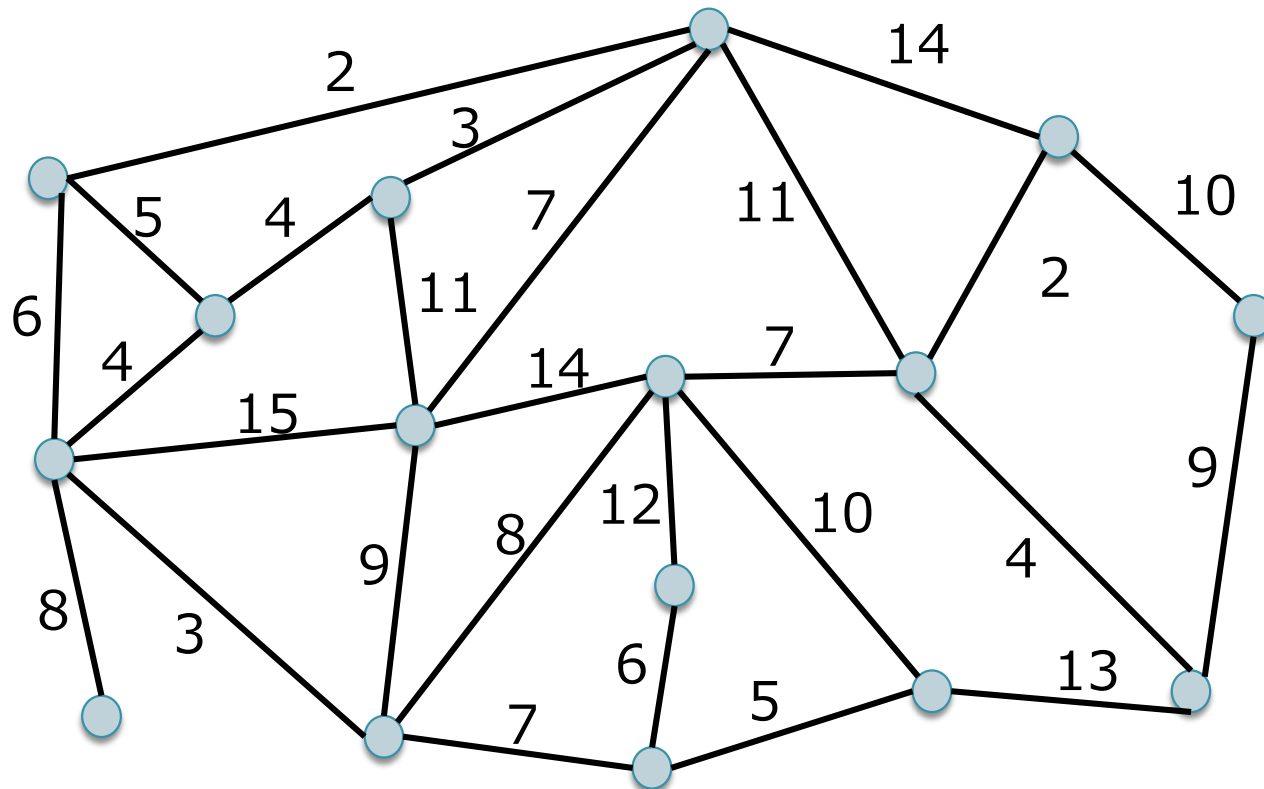
3 : while T が全域木でない do

4 : for each $f \in F$ do

5 : $M \leftarrow$ 端点の一方だけが f に属する辺で重み最小のもの
 (MOE (Minimum Outgoing Edge) of f)

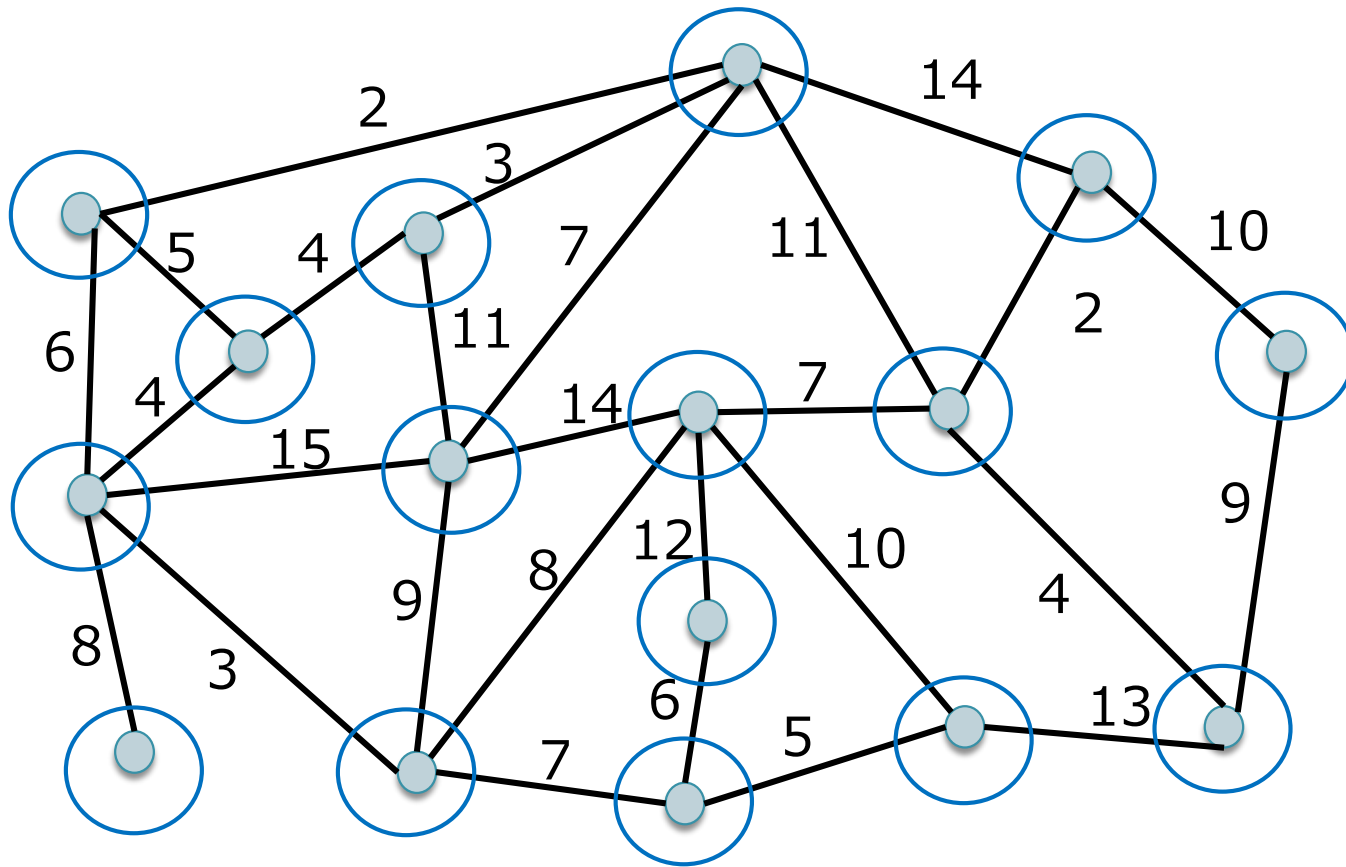
6 : $T \leftarrow T \cup M$ として $F(T)$ を更新

Boruvka法 : 動作例



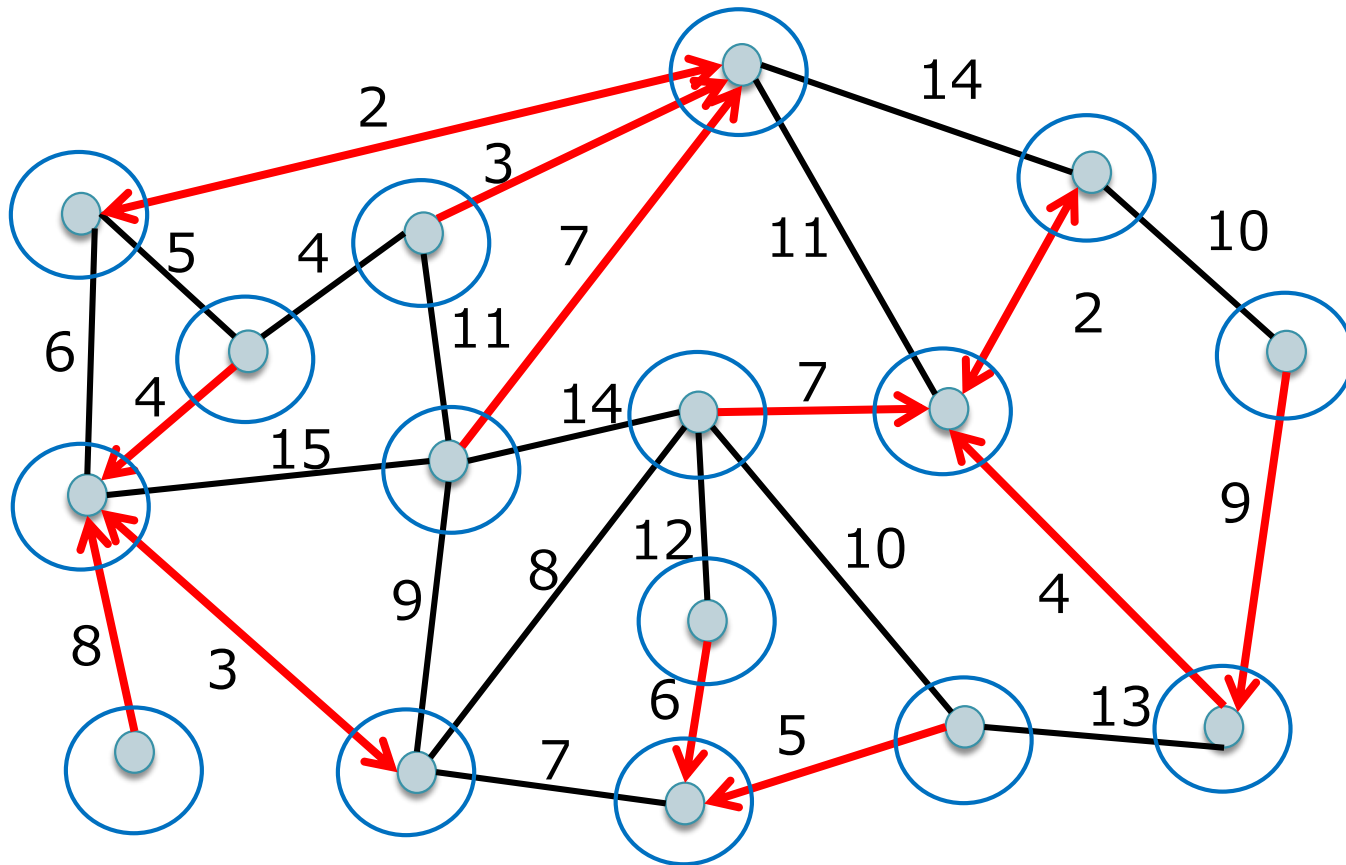
Boruvka法：動作例

○ 連結成分



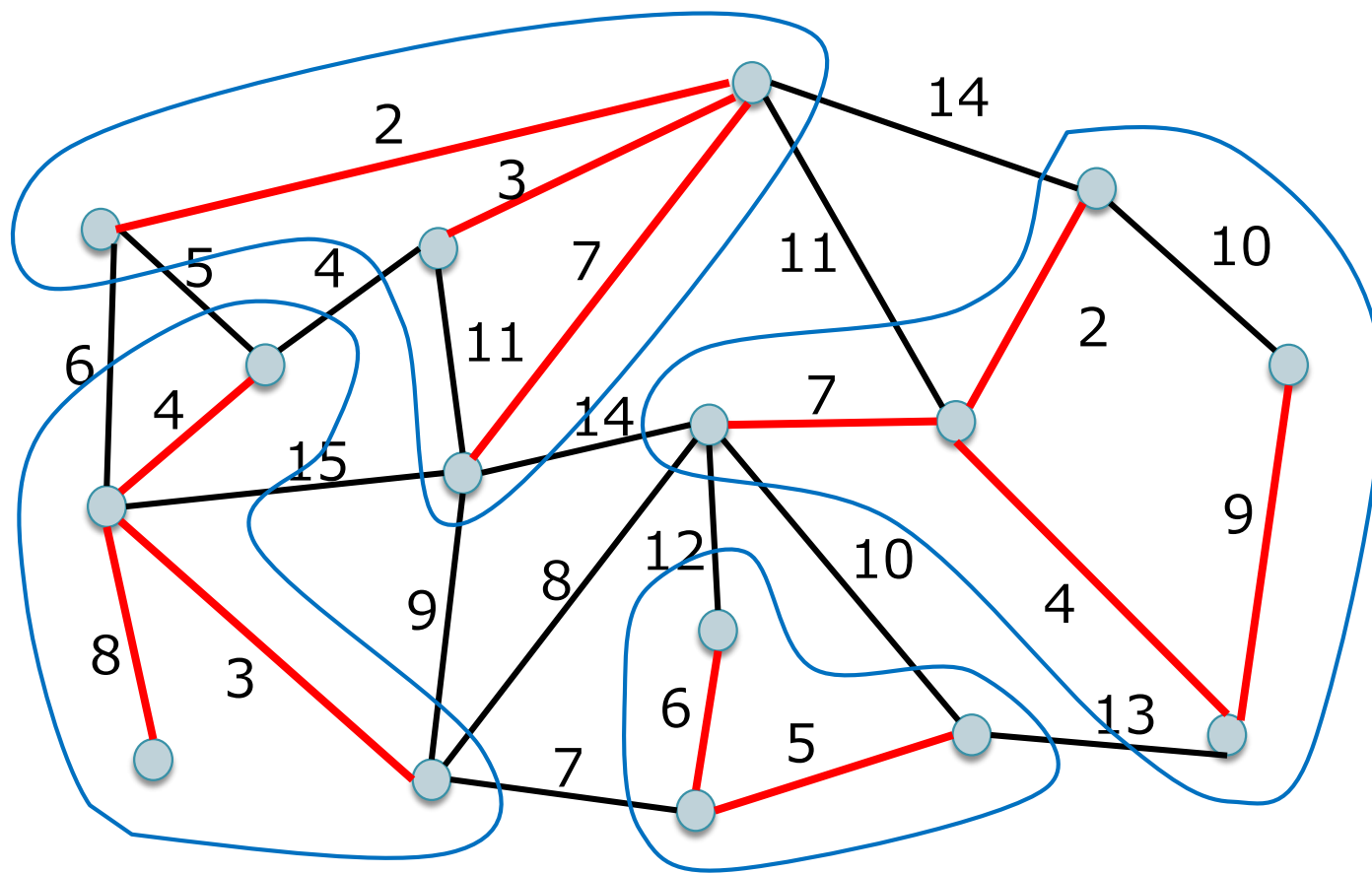
Boruvka法：動作例

○ 連結成分



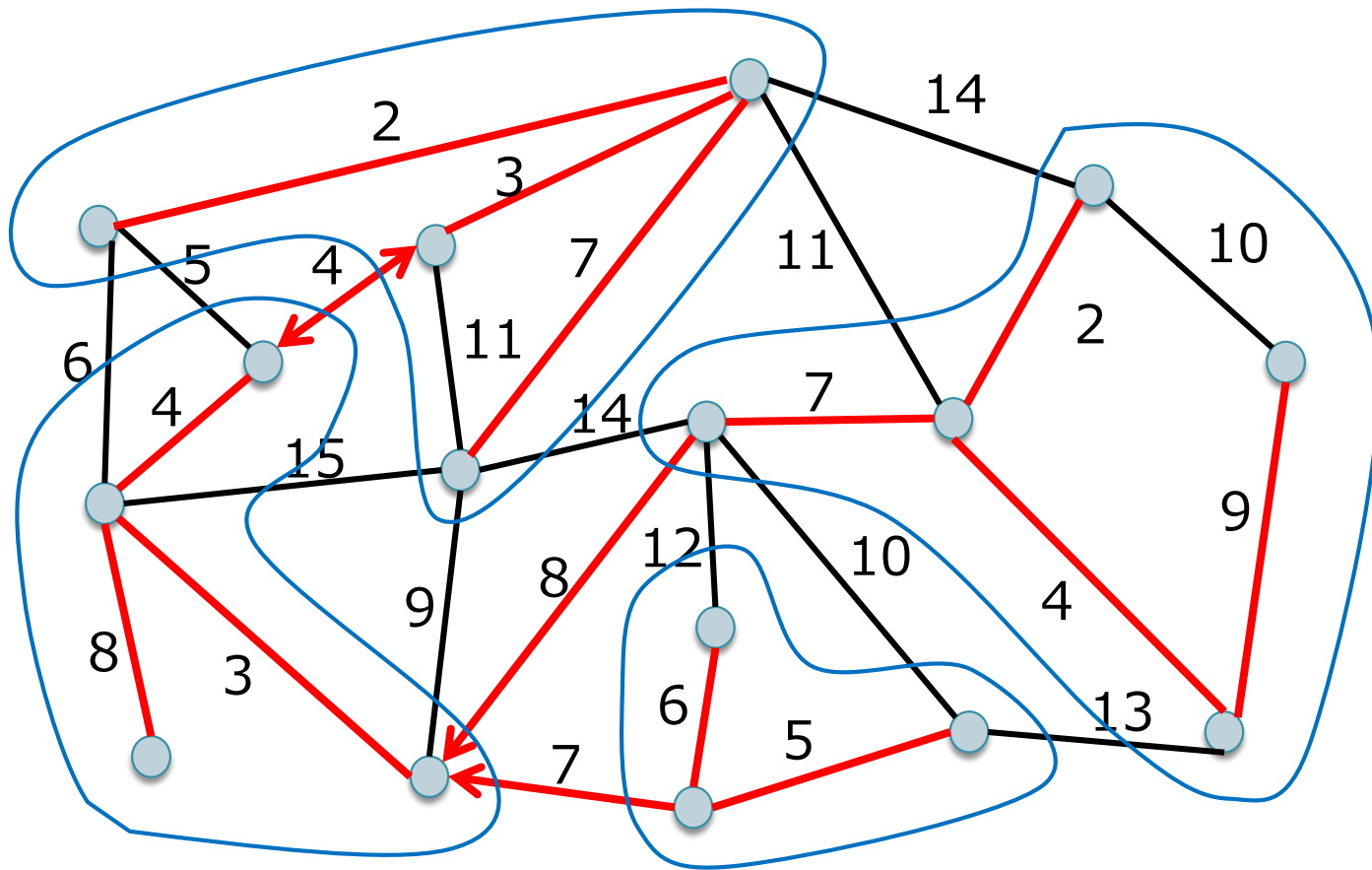
Boruvka法：動作例

○ 連結成分



Boruvka法：動作例

○ 連結成分



Gallager-Humble-Spiraの アルゴリズム[GHS82]

- Boruvka法の自然な分散型実装
 - 各頂点 v は構成途中の森 T に対して $T \cap N(v)$ を保持

Gallager-Humble-Spira (GHS)

1 : $T \leftarrow \emptyset$

2 : $F(T) \leftarrow$ グラフ (V, T) の連結成分集合(森)

3 : while $|F(T)| > 1$ do

4 : 各 $f \in F(T)$ の内部で以下のステップを並列に動作

5 : f 中の頂点からリーダ v_f を選出し, そのIDを f 中に放送

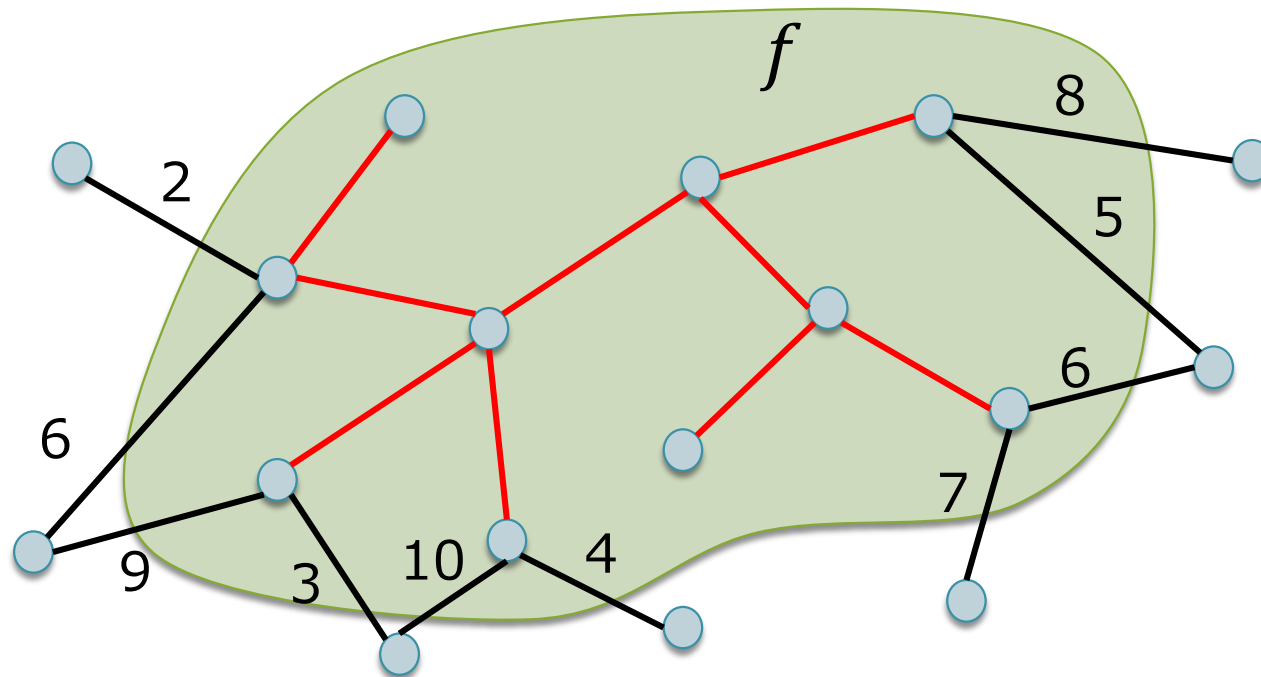
6 : f 中の各頂点 v においてMOEの候補を選出

7 : MOEの候補から最小重みの辺(=MOE(f))を選ぶ

8 : MOE(f)を f 中の全頂点に放送して, MOE(f)の端点は
MOE(f)を T に加える

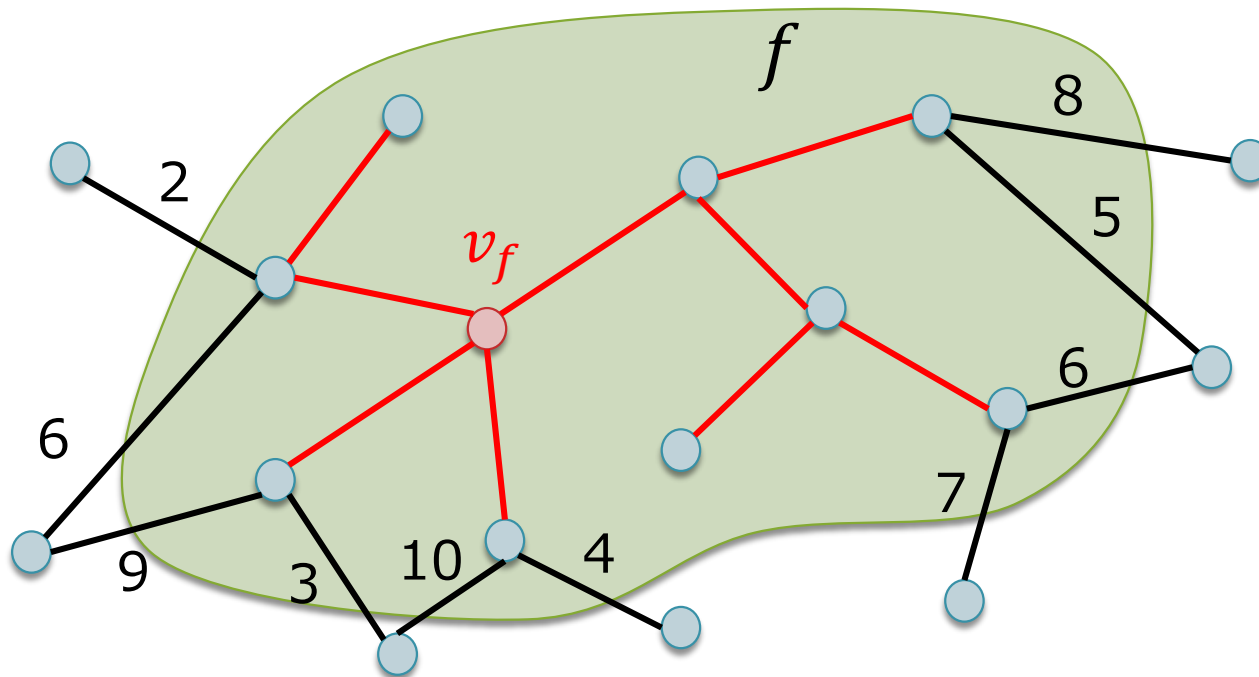
GHS : 詳細

- 5 : f 中の頂点からリーダー v_f を選出し, そのIDを f 中に放送
- 6 : f 中の各頂点 v においてMOEの候補を選出
- 7 : MOEの候補から最小重みの辺(=MOE(f))を選ぶ
- 8 : MOE(f)を f 中の全頂点に放送して, MOE(f)の端点はMOE(f)を T に加える



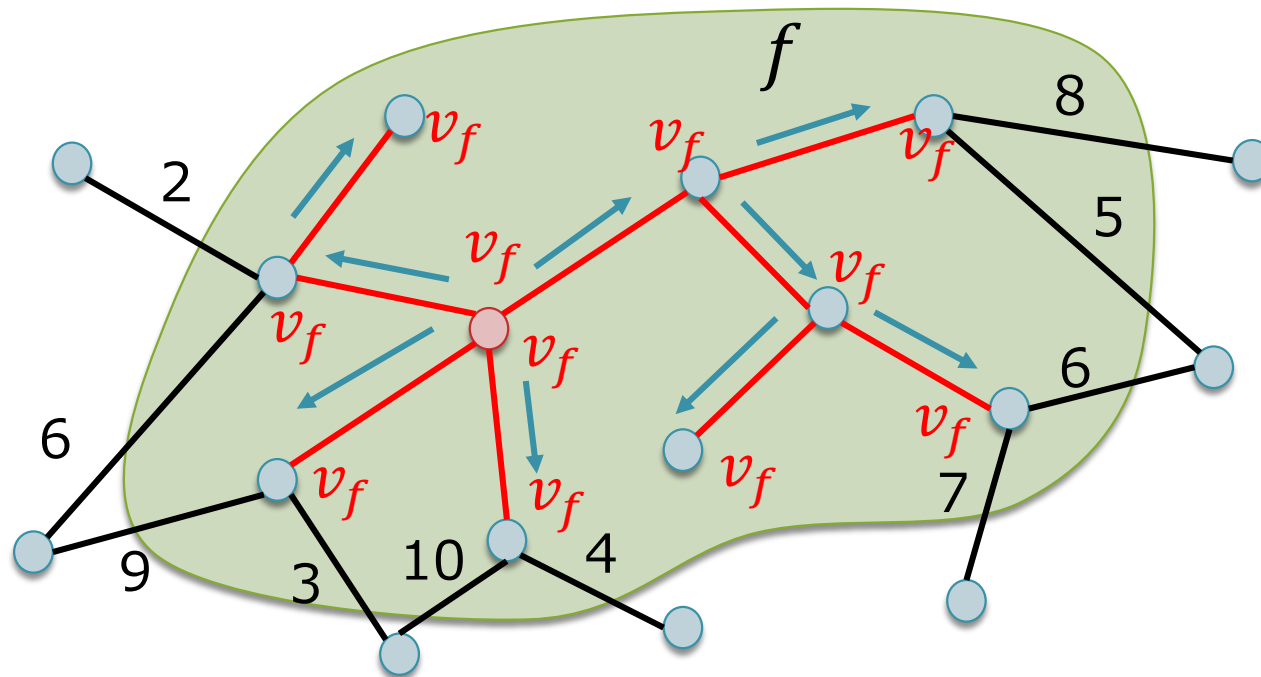
GHS : 詳細

- 5 : f 中の頂点からリーダー v_f を選出し, そのIDを f 中に放送
- 6 : f 中の各頂点 v においてMOEの候補を選出
- 7 : MOEの候補から最小重みの辺(=MOE(f))を選ぶ
- 8 : MOE(f)を f 中の全頂点に放送して, MOE(f)の端点はMOE(f)を T に加える



GHS : 詳細

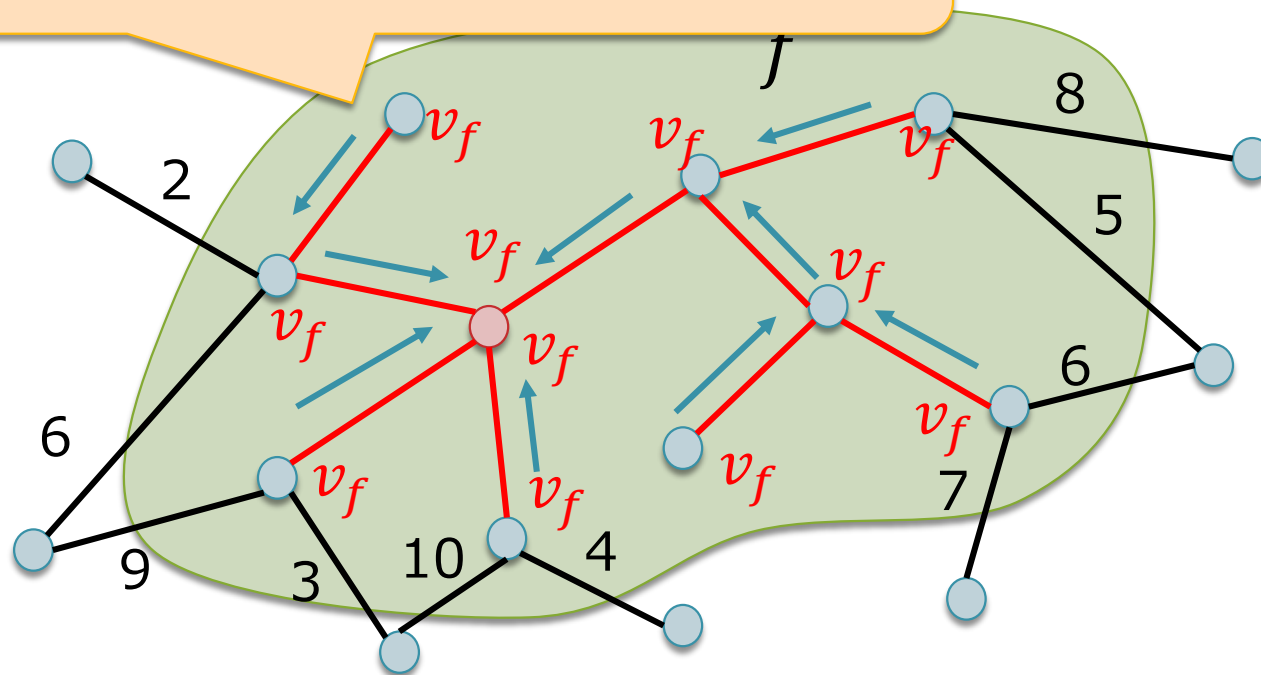
- 5 : f 中の頂点からリーダー v_f を選出し, そのIDを f 中に放送
- 6 : f 中の各頂点 v においてMOEの候補を選出
- 7 : MOEの候補から最小重みの辺(=MOE(f))を選ぶ
- 8 : MOE(f)を f 中の全頂点に放送して, MOE(f)の端点はMOE(f)を T に加える



GHS : 詳細

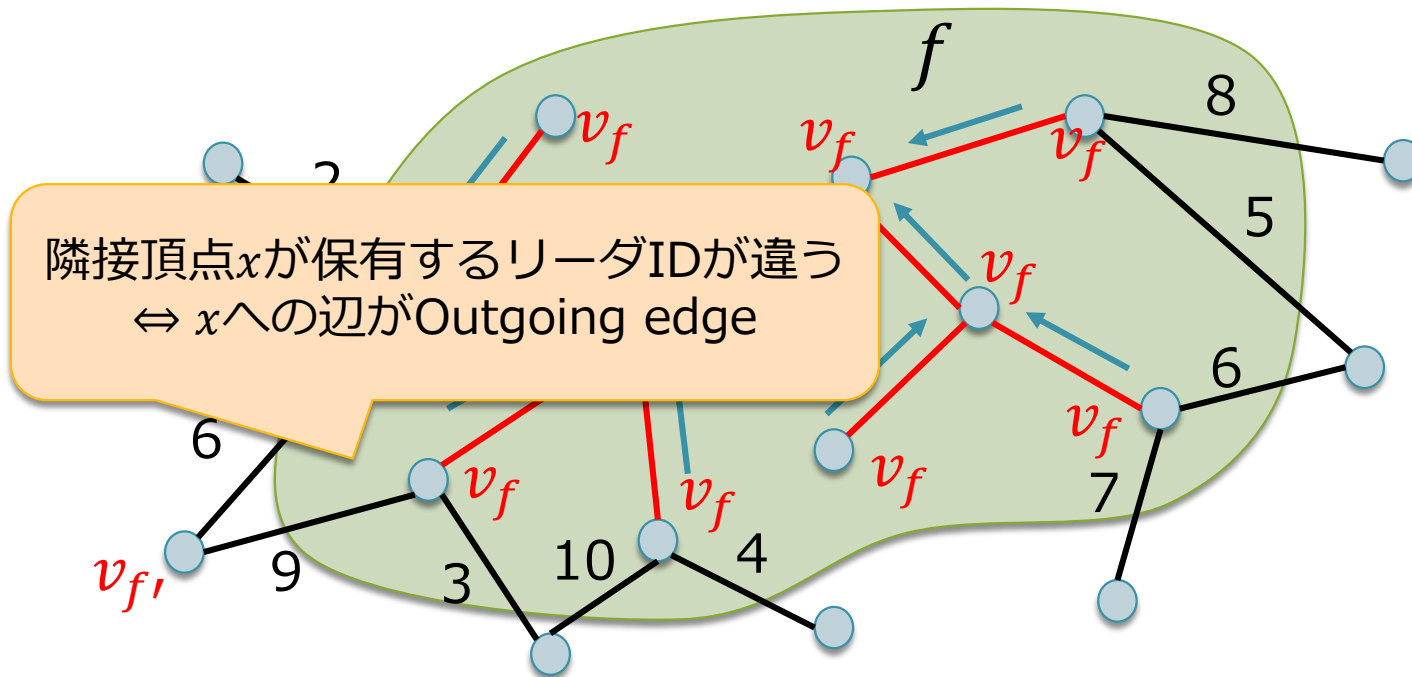
- 5 : f 中の頂点からリーダー v_f を選出し, そのIDを f 中に放送
- 6 : f 中の各頂点 v においてMOEの候補を選出
- 7 : MOEの候補から最小重みの辺(=MOE(f))を選ぶ
- 8 : MOE(f)を f 中の全頂点に放送して, MOE(f)の端点は

リーダーへのパスを同時に確立
(リーダーIDがやってきた方向を覚えておく)



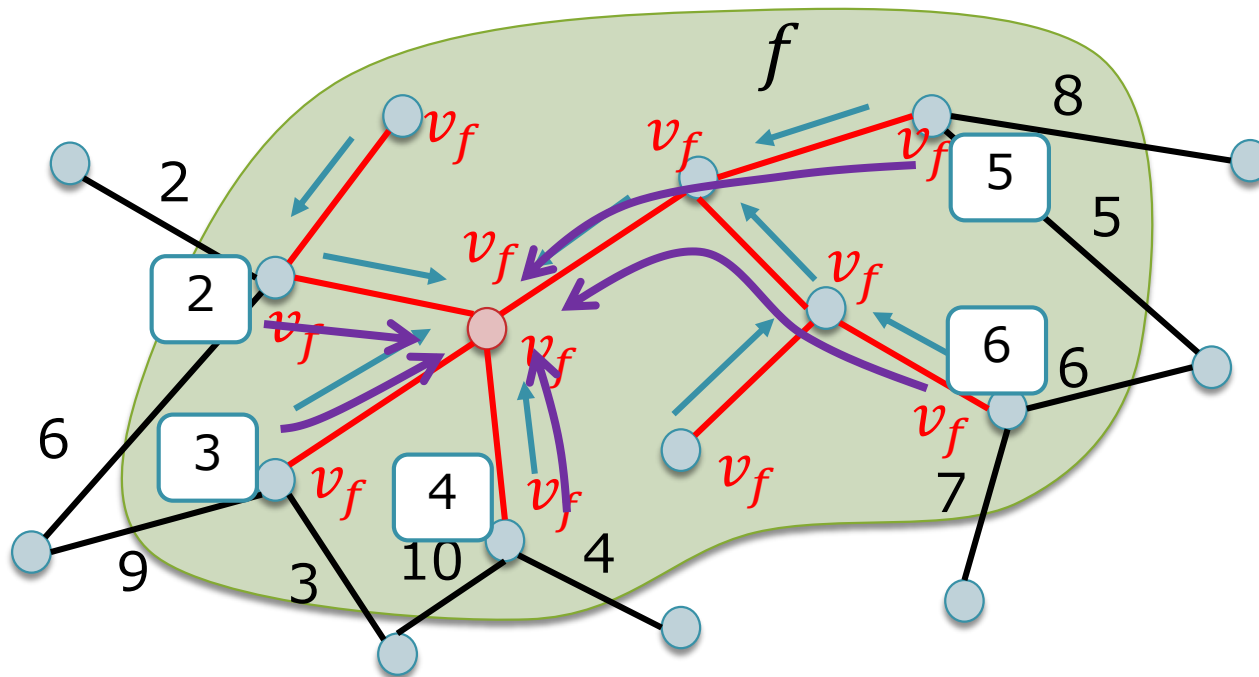
GHS : 詳細

- 5 : f 中の頂点からリーダー v_f を選出し, そのIDを f 中に放送
- 6 : f 中の各頂点 v においてMOEの候補を選出
- 7 : MOEの候補から最小重みの辺(=MOE(f))を選ぶ
- 8 : MOE(f)を f 中の全頂点に放送して, MOE(f)の端点はMOE(f)を T に加える



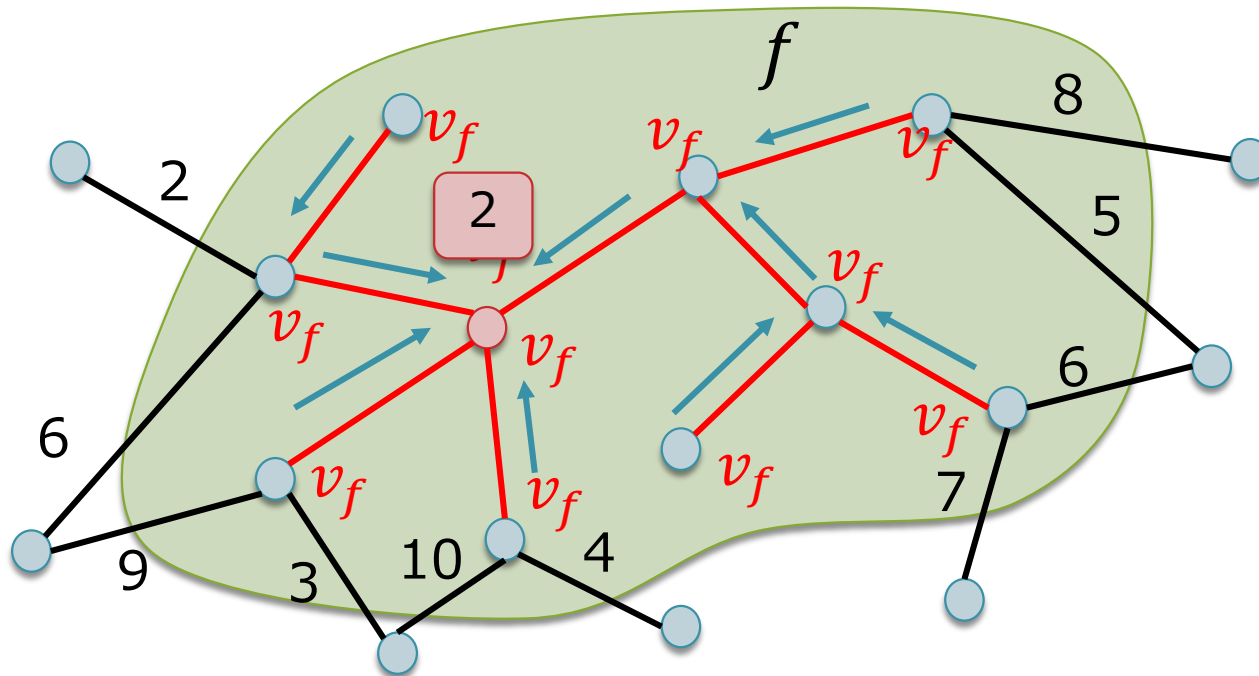
GHS : 詳細

- 5 : f 中の頂点からリーダー v_f を選出し, そのIDを f 中に放送
- 6 : f 中の各頂点 v においてMOEの候補を選出
- 7 : MOEの候補から最小重みの辺(=MOE(f))を選ぶ
- 8 : MOE(f)を f 中の全頂点に放送して, MOE(f)の端点はMOE(f)を T に加える



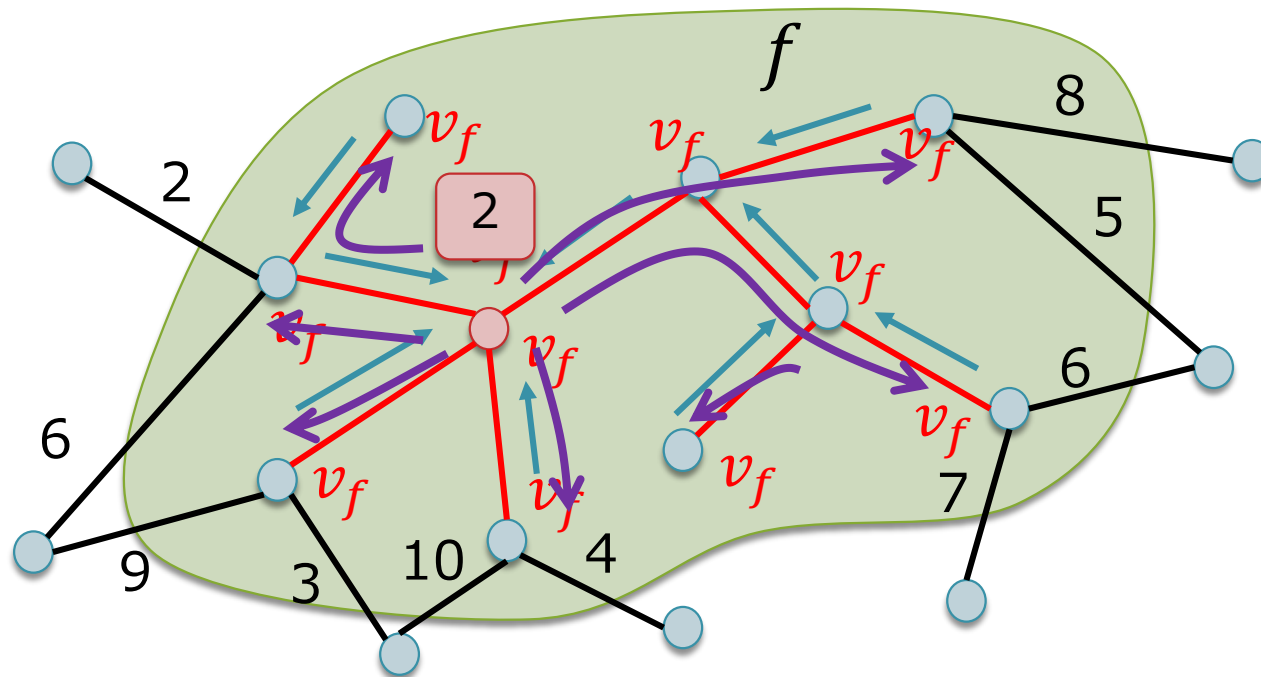
GHS : 詳細

- 5 : f 中の頂点からリーダー v_f を選出し, そのIDを f 中に放送
- 6 : f 中の各頂点 v においてMOEの候補を選出
- 7 : MOEの候補から最小重みの辺(=MOE(f))を選ぶ
- 8 : MOE(f)を f 中の全頂点に放送して, MOE(f)の端点はMOE(f)を T に加える



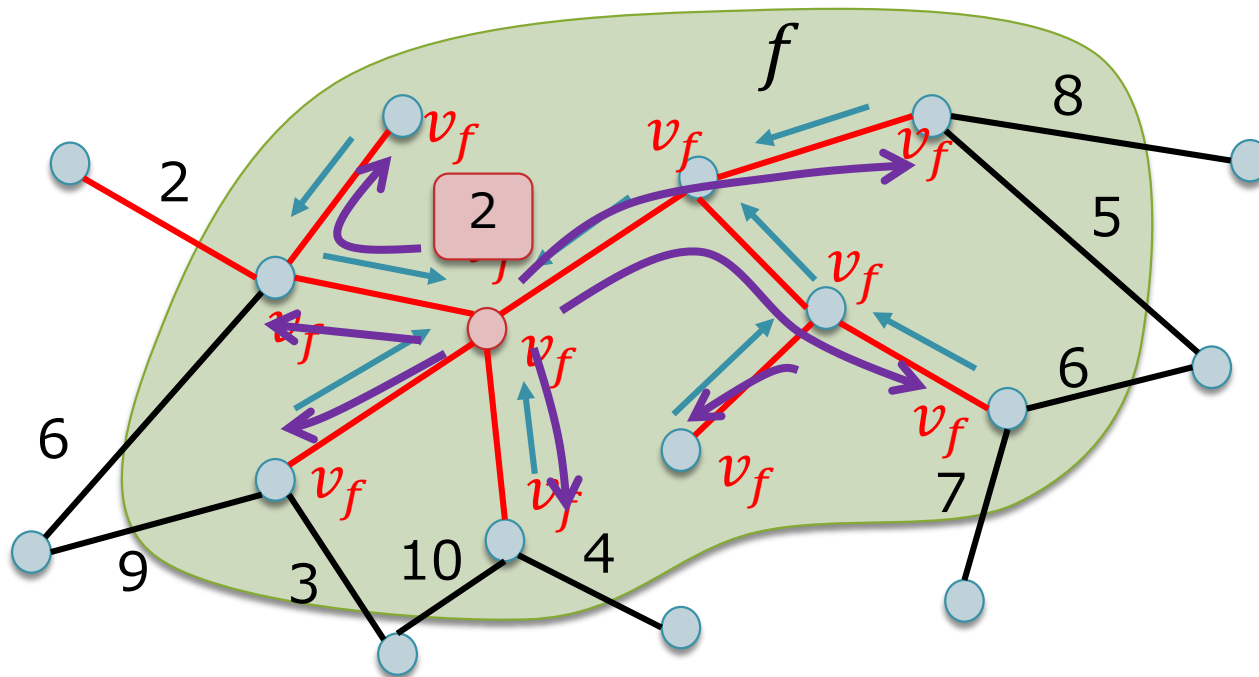
GHS : 詳細

- 5 : f 中の頂点からリーダー v_f を選出し, そのIDを f 中に放送
- 6 : f 中の各頂点 v においてMOEの候補を選出
- 7 : MOEの候補から最小重みの辺(=MOE(f))を選ぶ
- 8 : MOE(f)を f 中の全頂点に放送して, MOE(f)の端点はMOE(f)を T に加える



GHS : 詳細

- 5 : f 中の頂点からリーダー v_f を選出し, そのIDを f 中に放送
- 6 : f 中の各頂点 v においてMOEの候補を選出
- 7 : MOEの候補から最小重みの辺(=MOE(f))を選ぶ
- 6 : MOE(f)を f 中の全頂点に放送して, MOE(f)の端点はMOE(f)を T に加える



GHS : 実行時間

Gallager-Humble-Spira (GHS) (神の視点での記述)

```
1 :  $T \leftarrow \emptyset$ 
2 :  $F(T) \leftarrow$  グラフ  $(V, T)$  の連結成分集合(森)
3 : while  $|F(T)| > 1$  do
4 :   各  $f \in F(T)$  の内部で以下のステップを並列に動作
5 :      $f$  中の頂点からリーダ  $v_f$  を選出し, そのIDを  $f$  中に放送
6 :      $f$  中の各頂点  $v$  においてMOEの候補を選出
7 :     MOEの候補から最小重みの辺(=MOE( $f$ ))を選ぶ
8 :     MOE( $f$ )を  $f$  中の全頂点に放送して, MOE( $f$ )の端点は
       MOE( $f$ )を  $T$  に加える
```

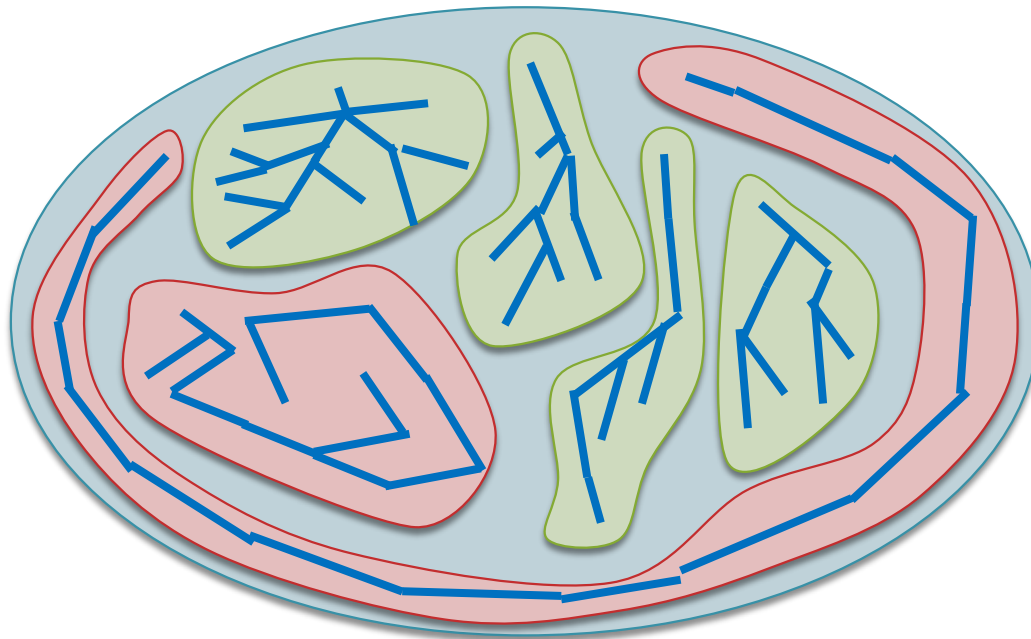
■ 5-8の処理は $O(\max_{f \in F(T)} f \text{ の直径})$ 時間

■ 5-8の反復1回で連結成分数は少なくとも半減

→ $O(\log n)$ 回の反復でアルゴリズム終了

GHS : 実行時間

- f の直径は $\Omega(n)$ になり得る (たとえ $D \ll n$ でも)



部分グラフの直径は D では抑えられない!

GHS : 実行時間

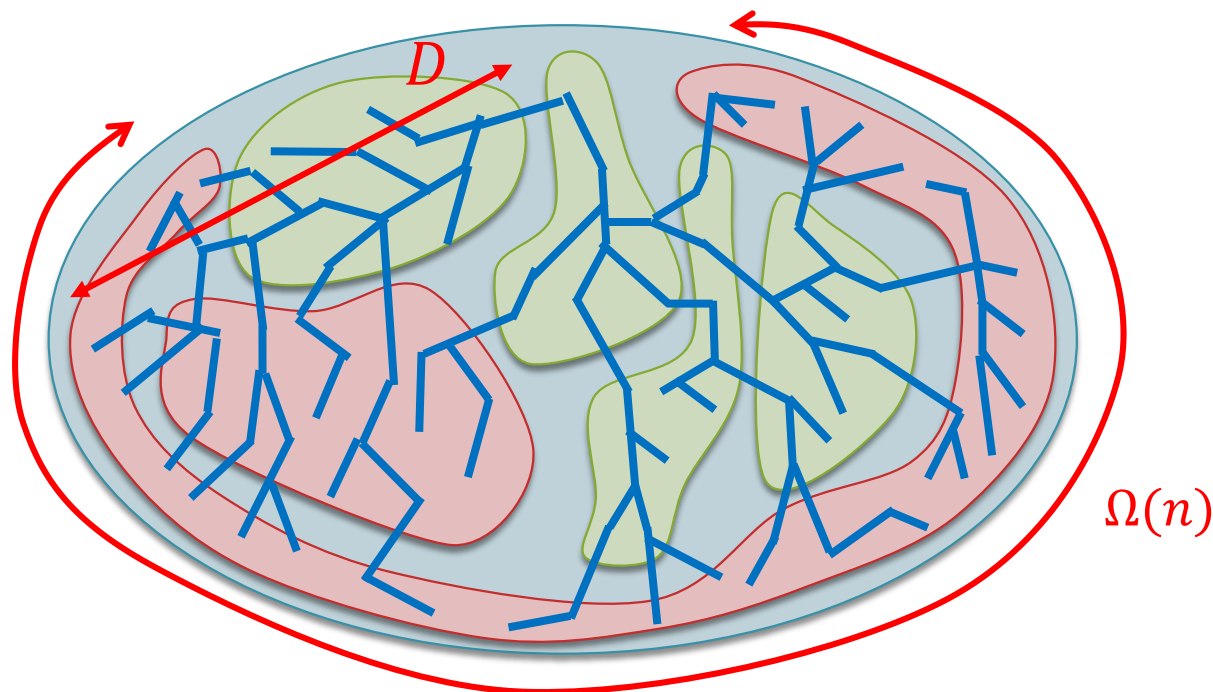
定理1

GHSアルゴリズムは $O(n \log n)$ ラウンドでMSTを構成する

- 最悪時に備えて、各回の反復(5-8の処理)は $O(n)$ ラウンド待たないといけない
- 序盤戦において各連結成分は小さい傾向があるので待ち時間は無駄があるように見えるかもしれない
- が、アルゴリズム全体の実行時間評価としては実は漸近的にタイト
 - すなわち、 $\max_f f$ の直径 $=\Theta(n)$ となるような反復が $\Omega(\log n)$ 回生じるようなインスタンスが存在する

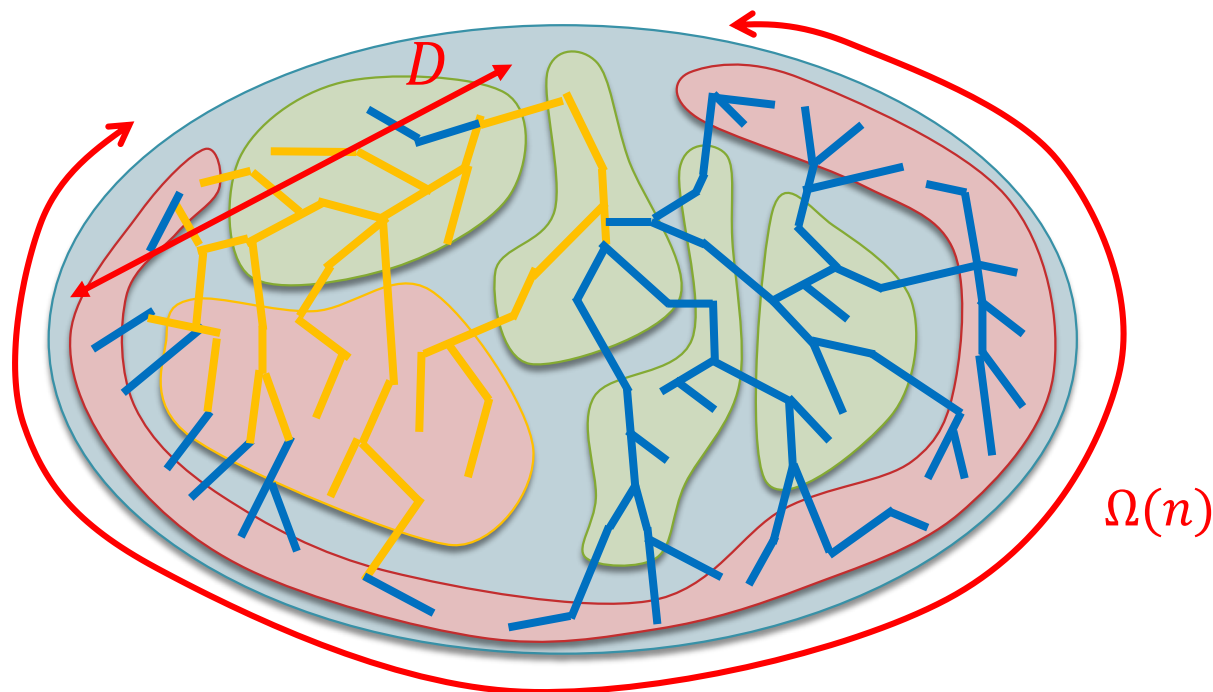
もっと速くするには？

- 問題はどこに？
 - ▣ MOE(f)の計算に f 内部のみの通信網を利用
 - ▣ グラフ全体(幅優先木)で収集&放送を行えばもっと速いのだが，競合が問題



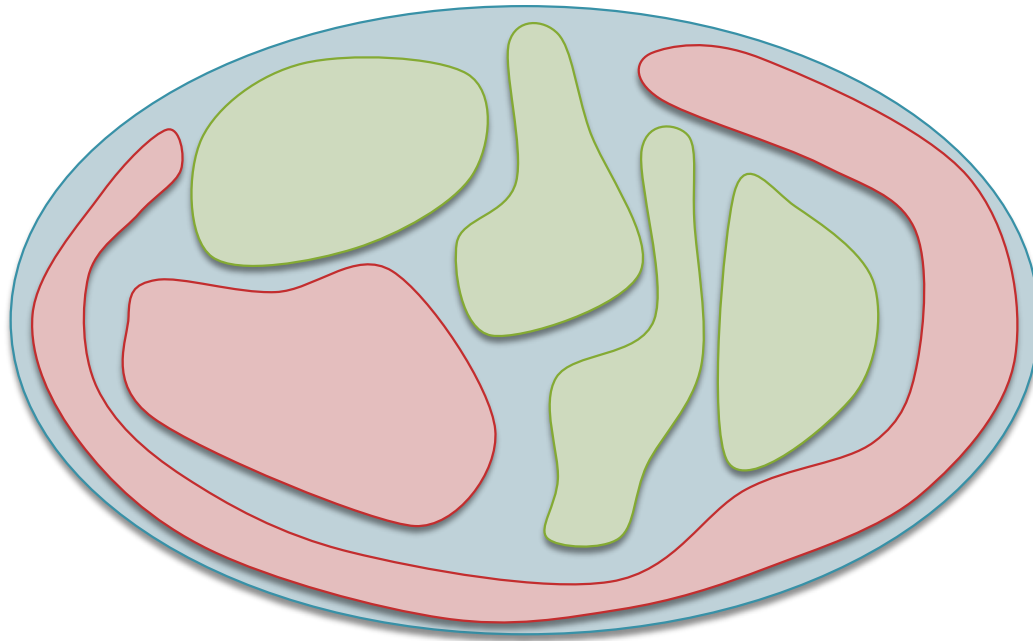
もっと速くするには？

- 問題はどこに？
 - ▣ MOE(f)の計算に f 内部のみの通信網を利用
 - ▣ グラフ全体(幅優先木)で収集&放送を行えばもっと速いのだが，競合が問題



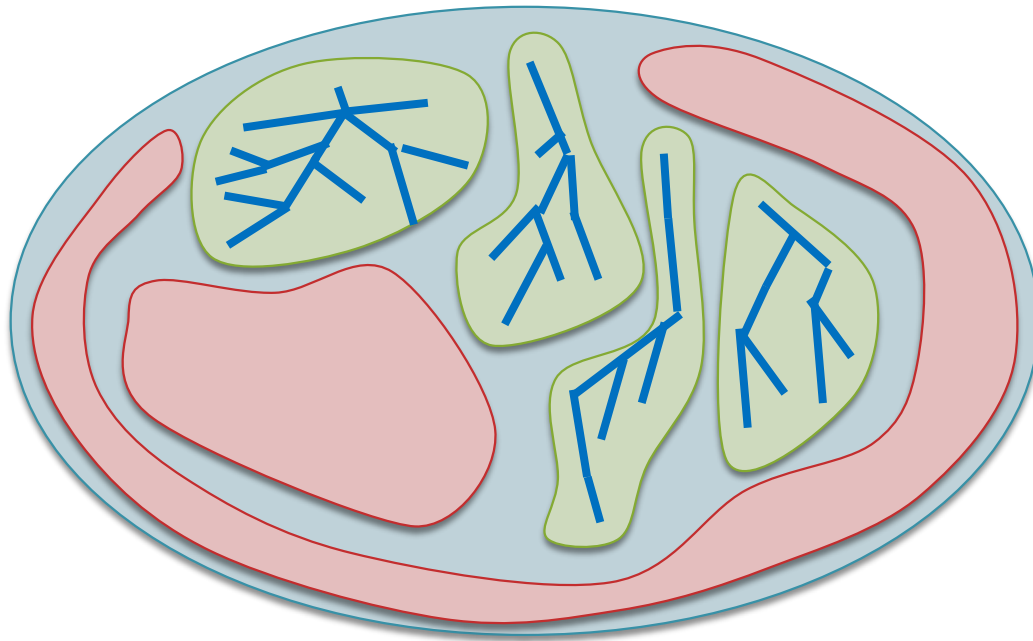
折衷的解決

- $|f| \leq \sqrt{n}$: GHSに準じる
- $|f| > \sqrt{n}$: 幅優先木でMOEを発見&更新



折衷的解決

- $|f| \leq \sqrt{n}$: GHSに準じる
- $|f| > \sqrt{n}$: 幅優先木でMOEを発見&更新

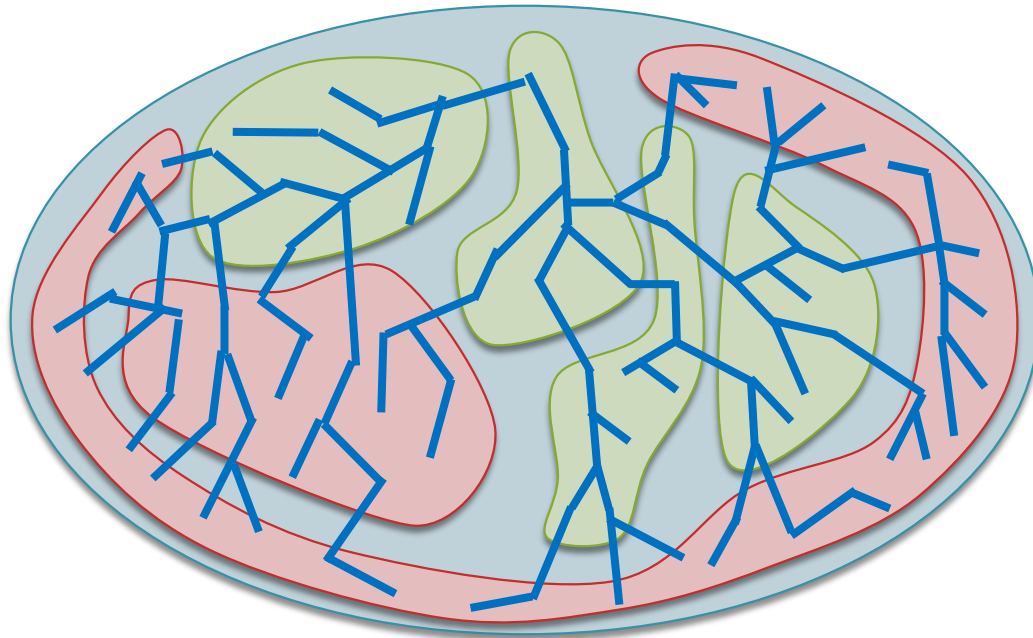


折衷的解決

□ $|f| \leq \sqrt{n}$: GHSに準じる

□ $|f| > \sqrt{n}$: 幅優先木でMOEを発見&更新

→ 幅優先木の利用スケジュールが問題！



分散計算スケジューリング問題

- 入力： k 個のタスク集合 $T = \{T_1, T_2, \dots, T_k\}$
 - ▣ E_1, E_2, \dots, E_k : 通信パターン(=各タスク内でメッセージが伝送が生じる辺の(多重)集合)
 - ▣ D_1, D_2, \dots, D_k : 各タスク(を単独で実行したときの)所要ラウンド数

タスク T_i における辺 e の congestion = E_i での e の多重度
(T_i は辺 e に何回メッセージを送信するか)

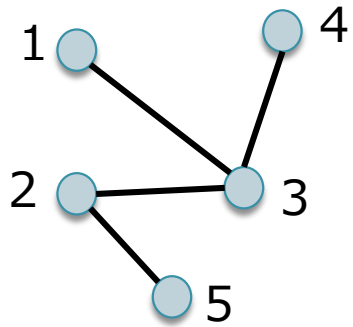
T の congestion = $\max_e (\sum_i T_i \text{ における } e \text{ の congestion})$

T の dilation = $\max_i D_i$

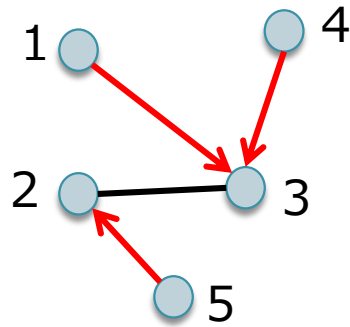
分散計算スケジューリング問題

□ 入力： k 個のタスク集合 $T = \{T_1, T_2, \dots, T_k\}$

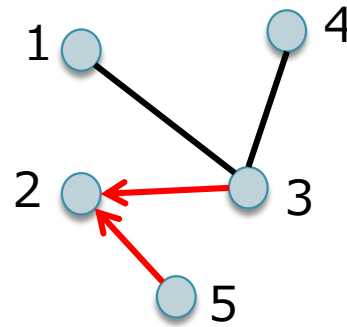
▣ 個々のタスクはDAG(通信パターン)により定義される



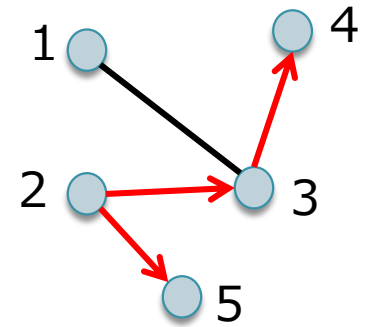
ネットワーク
トポロジ



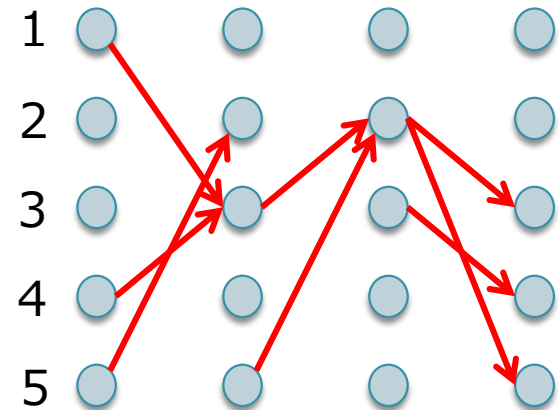
ラウンド1



ラウンド2



ラウンド3



タスク T_i における辺 e の congestion = e の利用回数

タスク T_i の dilation = T_i のラウンド数

T の dilation = $\max_i T_i$ の dilation

T の congestion = $\max_i T_i$ の congestion

分散計算スケジューリング問題

□ MST(折衷案)の場合...

▣ 個々のタスク：幅優先木上での収集or放送

▣ タスク数は高々 \sqrt{n} 個

▣ 個々のタスクはBFS木中の辺を高々1回利用

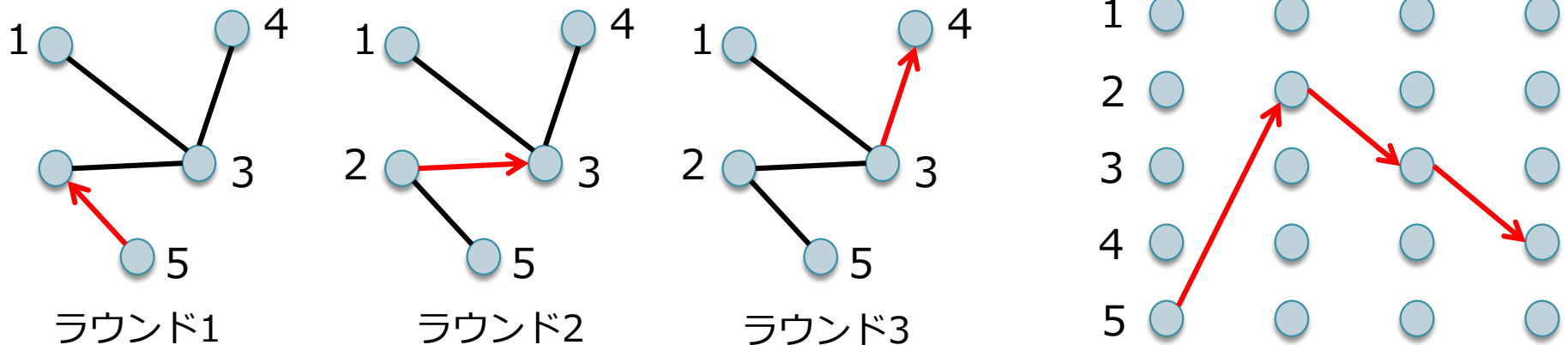
} congestion = $O(\sqrt{n})$

▣ 個々のタスクは $O(D)$ 時間で終了

dilation = $O(D)$

分散計算スケジューリング問題

- 分散計算のスケジューリングにおける最初期の結果の一つ
 - 個々のタスクをパケット転送タスクに限定



定理 [LMR94]

Congestion c , dilation d のパケット転送タスク集合を $O(c + d)$ 時間で終了させるスケジューリングが存在(し, それを発見する乱択多項式時間アルゴリズムが存在する)

分散計算スケジューリング問題

- 近年一般の分散計算に対して拡張
 - ▣ さらに、スケジューリング自体も分散化可能に

定理 [Ghaffari15]

Congestion c , dilation d の任意のタスク集合 T を
 $O(c + d \log^2 n)$ 時間で終了させる乱択分散アルゴリズムが存在

(より正確には、 $O(d \log^2 n)$ ラウンドの前処理で $O(c + d \log n)$ ラウンドのスケジュールを生成)

- ▣ この定理の適用において、各タスクの通信パターン、congestion, dilation等の情報は事前に知っておく必要なし

パケット転送スケジューリング問題

- ただし, 今回はもう少し良い方法が使える

定理 [Topkis85, generalized by HIZ16-1]

T_1, T_2, \dots, T_k がすべてある共通の木上の収集/放送である
ような Congestion c , dilation d のタスク集合 T を $O(c + d)$ 時間で
終了させる乱択分散アルゴリズムが存在

- これはパイプライン式のメッセージ送信で容易に
実現できる

Putting all together

- $|f| \leq \sqrt{n}$: GHSに準じる $\rightarrow O(\sqrt{n})$ ラウンド
- $|f| > \sqrt{n}$: 幅優先木でMOEを発見&更新 $\rightarrow O(\sqrt{n} + D)$ ラウンド

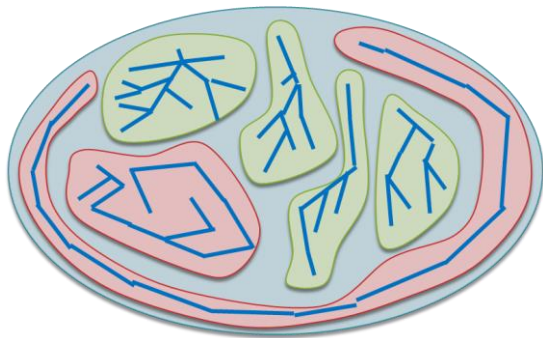
定理 [GH16]

最小生成木問題を $\tilde{O}(\sqrt{n} + D)$ ラウンドで解く
分散アルゴリズムが存在

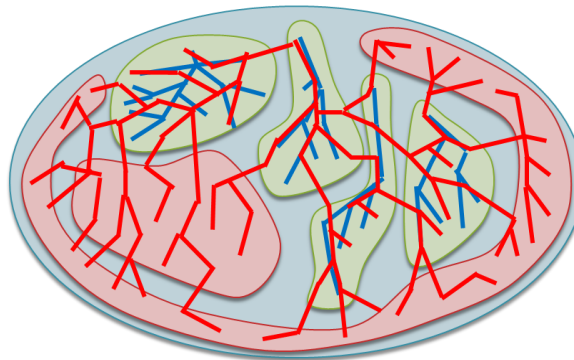
(注: $\tilde{O}(\sqrt{n} + D)$ ラウンドで解く(別のアプローチでの)アルゴリズム自体は
もっと昔に発見されている[KP98])

Congestion vs Dilation

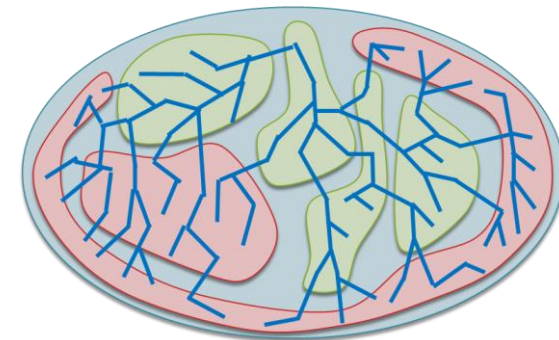
Congestion $O(1)$
Dilation $\Omega(n)$



Congestion $O(\sqrt{n})$
Dilation $O(\sqrt{n})$



Congestion $\Omega(n)$
Dilation $O(D)$

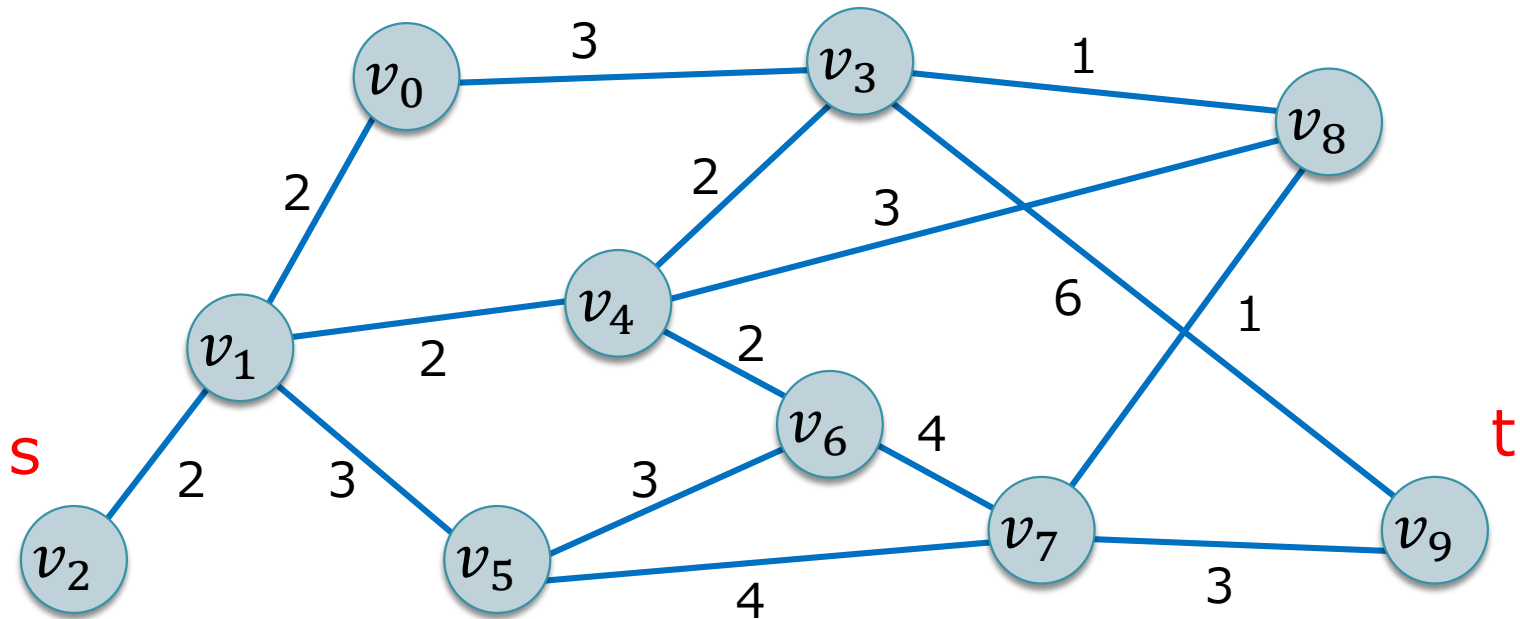


基本的な戦略：CongestionとDilationをバランスさせて
 $o(n)$ 時間アルゴリズムを得る

PRAMと大きく違うところ...かも

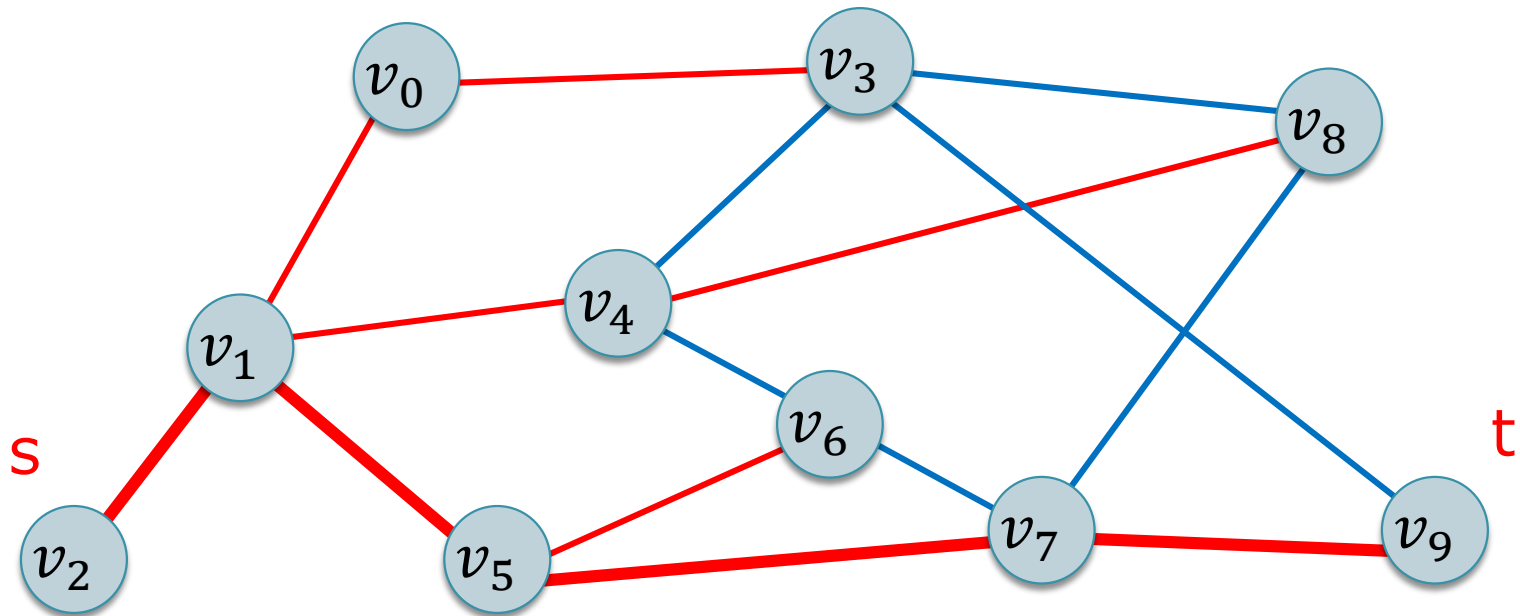
別の例：最短経路近似

- 重み付きグラフのs-t最短パスを計算(近似)したい



別の例：最短経路近似

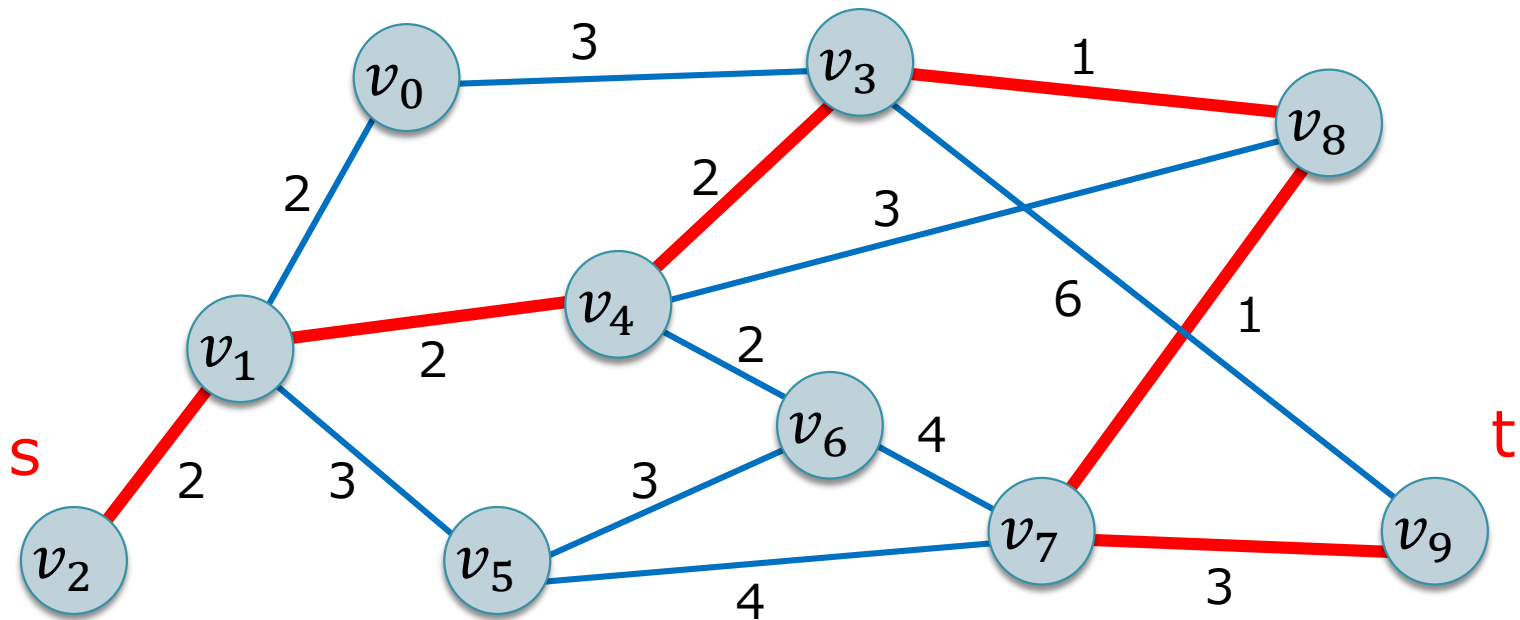
- 重み付きグラフのs-t最短パスを計算(近似)したい
 - ▣ 重みなしの場合はBFSで楽勝($O(D)$ ラウンド)



別の例：最短経路近似

- 重み付きグラフのs-t最短パスを計算(近似)したい
 - ▣ 問題：最短パスのホップ長は $\Omega(n)$ になり得る

→ Dijkstra的なアプローチを素直に適用するだけでは遅そう
(そもそも適用できるかどうか分からないが)

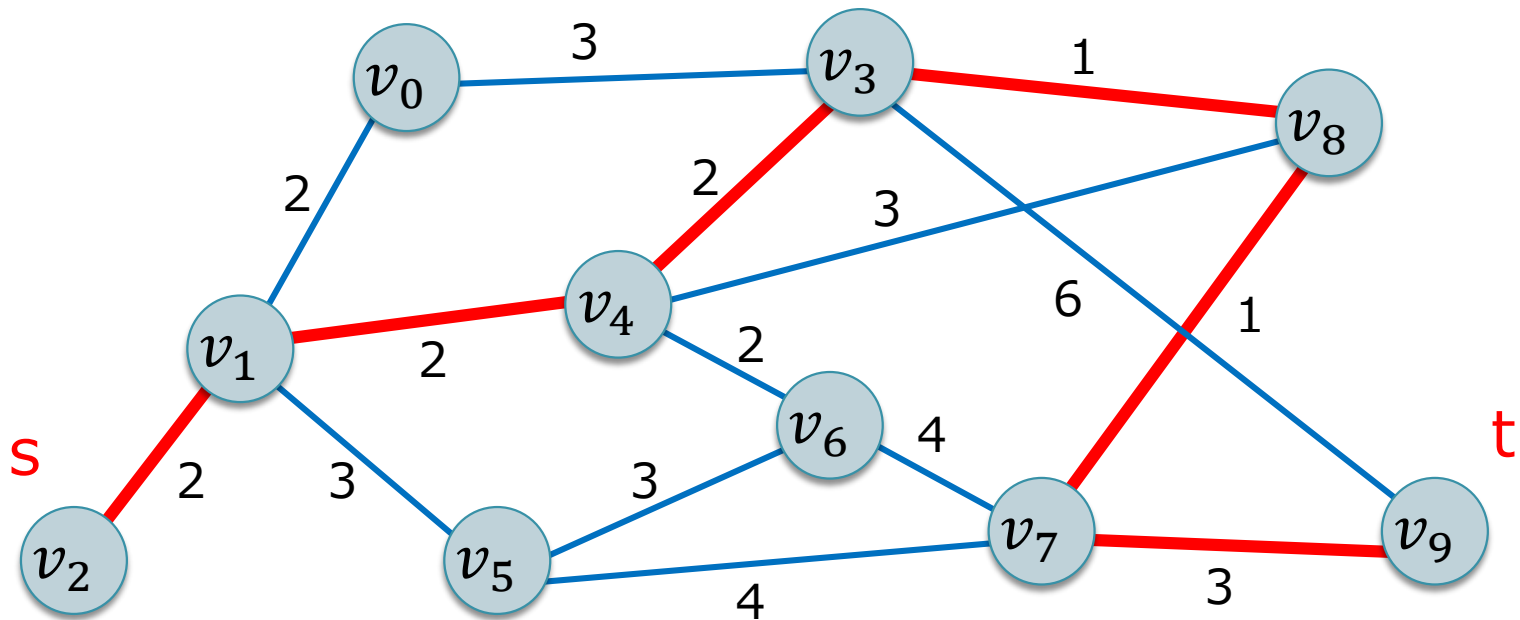


別の例：最短経路近似

- 重み付きグラフのs-t最短パスを
- 問題：最短パスのホップ長は

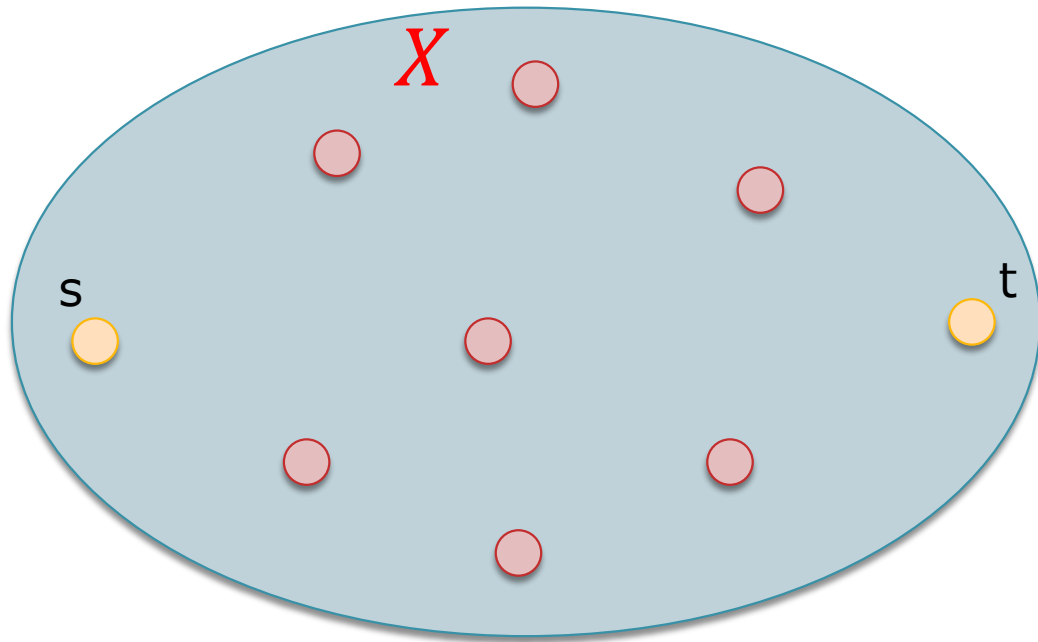
Dilation = $\Omega(n)$
これをcongestionに
トレードしたい

→ Dijkstra的なアプローチを素直に適用するだけでは遅そう
(そもそも適用できるかどうか分からないが)



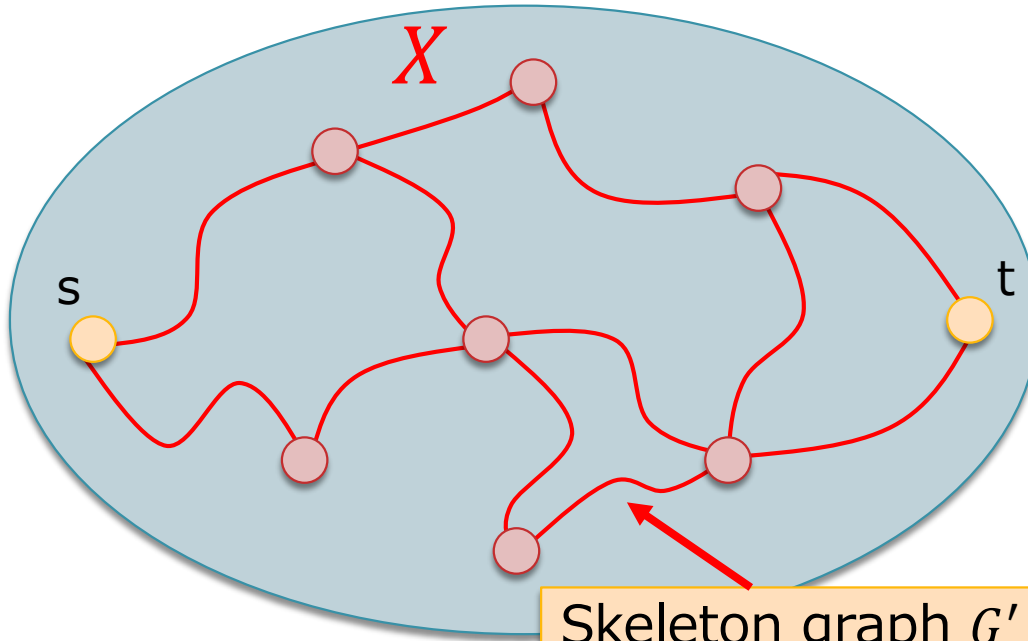
アプローチ(概要)

1. $\tilde{\Theta}(n^{\frac{1}{3}})$ 個のノードをランダムサンプリングして X とする



アプローチ(概要)

1. $\tilde{\Theta}(n^{\frac{1}{3}})$ 個のノードをランダムサンプリング(X とする)
2. s, t, X 中の頂点は最短パスのホップ数が $O(n^{\frac{2}{3}})$ 以下のノードに対し最短経路を同時に(近似)計算

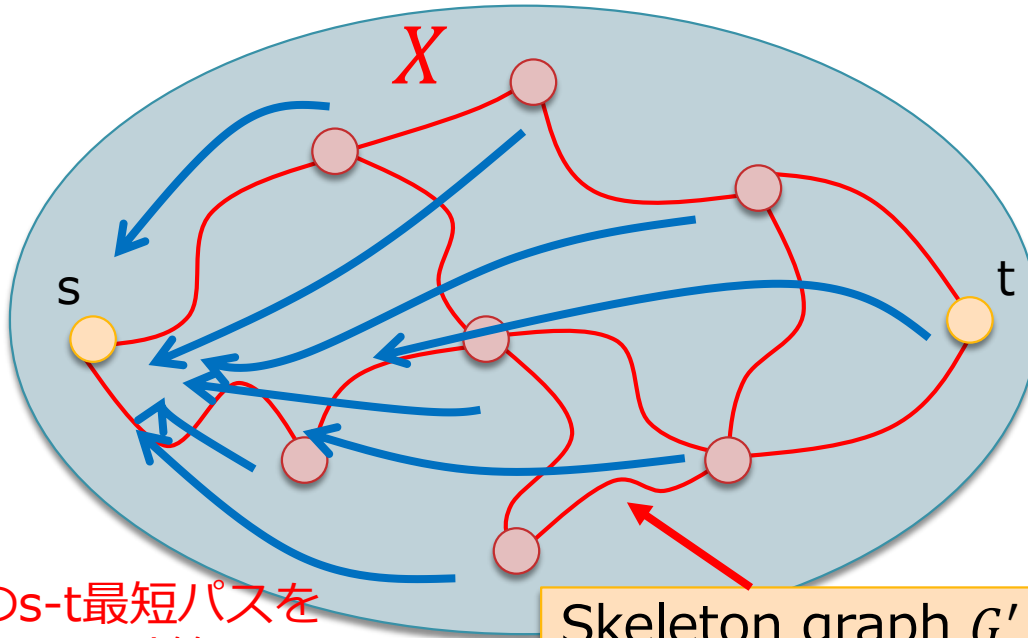


Skeleton graph $G' = (\{s, t\} \cup X, E', w')$

$(u, v) \in E' \Leftrightarrow (u, v)$ 間の最短パスのホップ数 $\leq n^{\frac{2}{3}}$
 $w'(u, v) = u, v$ 間の(近似)最短距離

アプローチ(概要)

3. Skeleton graph G' を作ってしまう後は集中的に解ける
 - ▣ G' のサイズ=頂点数 $\tilde{O}(n^{\frac{1}{3}})$ なので全体で $\tilde{O}(n^{\frac{2}{3}})$ ビット
 - ▣ 収集に要する時間： $\tilde{O}(n^{\frac{2}{3}} + D)$ ラウンド(BFS木上で収集)



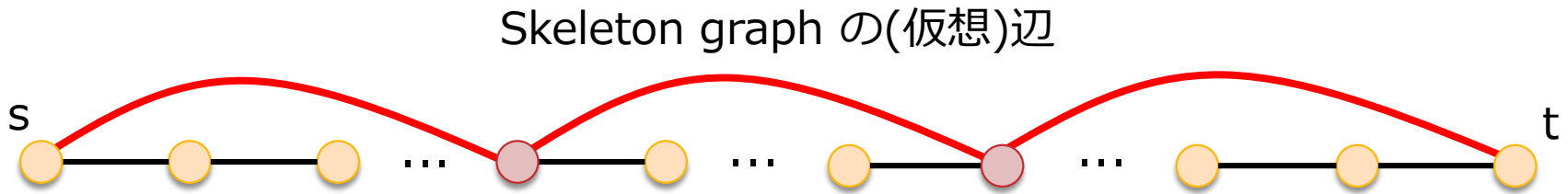
G' 上のs-t最短パスを
ローカルに計算

Skeleton graph $G' = (\{s, t\} \cup X, E', w')$

$(u, v) \in E' \Leftrightarrow (u, v)$ 間の最短パスのホップ数 $\leq n^{\frac{2}{3}}$
 $w'(u, v) = u, v$ 間の(近似)最短距離

性能の評価(解の質)

- 解の質は, Skeleton graphの各辺の近似率により決まる



- ▣ s - t 最短パスのホップ数が大きいとき, X 中の頂点がおおよそ $\tilde{\Theta}(n^{\frac{2}{3}})$ ホップ毎に現れて中継する

→ G' の各辺が $(1 + \epsilon)$ 近似されていれば, G' 上の s - t 最短距離は真の最短距離の $(1 + \epsilon)$ 近似となる

性能の評価(時間)

- ランダムサンプリング: ローカルに行う(1ラウンド)
- G' の構成: $\tilde{\Theta}(n^{\frac{1}{3}})$ 個の単一始点最短経路アルゴリズム (ホップ数を $\tilde{\Theta}(n^{\frac{2}{3}})$ に制限した版)を並列に実行
- G' の収集: 既に述べた通り, $\tilde{\Theta}(n^{\frac{2}{3}})$ ラウンド

ここをどう解決する？

性能の評価(時間)

補題 [Nanongkai14]

任意の定数 $\epsilon > 0$ に対し, ホップ数を k に制限した単一始点最短経路問題を congestion = $\tilde{O}(1)$, dilation = $O(k)$ で解く $(1 + \epsilon)$ 近似アルゴリズムが存在

- [Ghaffari15] のスケジューリング手法と組み合わせると G' の構成は $\tilde{\Theta}(n^{\frac{2}{3}})$ ラウンドで行える

定理 [Nanongkai14 を弱めた版]

任意の定数 $\epsilon > 0$ に対し, s - t 最短距離の

$(1 + \epsilon)$ -近似解を求める $\tilde{\Theta}(n^{\frac{2}{3}})$ ラウンドアルゴリズムが存在

各種問題の時間計算量(上界)

- MST: $\tilde{O}(\sqrt{n} + D)$ ラウンド, 厳密
- 単一起点最短経路: $\tilde{O}(\sqrt{n}D^{\frac{1}{4}} + D)$ ラウンド, $(1 + \epsilon)$ -近似
- 最小カット: $\tilde{O}(\sqrt{n} + D)$ ラウンド, $(1 + \epsilon)$ -近似
- 最大フロー: $\tilde{O}((\sqrt{n} + D)n^{o(1)})$ ラウンド, $(1 + \epsilon)$ -近似
- 直径(重みなし): $\tilde{O}(\sqrt{n} + D)$ ラウンド, $3/2$ -近似
- 直径(重みあり): $\tilde{O}(\sqrt{n} + D)$ ラウンド, 2 -近似

その他いろいろ

疑問

$\tilde{O}(\sqrt{n})$ でのトレードオフは本質的か？

□ 答：Yes

定理 [DHK+12, FHW12, LP13]

以下の問題群は $\tilde{\Omega}(\sqrt{n})$ ラウンドの計算時間下界を持つ
(たとえば $D = O(\log n)$ であっても)

(Approx.) MST, (Approx.) weighted minimum cut, (Approx.) min s-t cut/maxflow,
(Approx.) weighted shortest path, $(2 - \epsilon)$ -approx. unweighted diameter,
(Approx.) weighted diameter, subgraph (s-t) connectivity, subgraph cycle
detection, (Approx.) Generalized Steiner forest,

(2者間)通信複雑性

- Alice と Bobが n ビットデータ列 x, y を保有



- 問題：関数 $f: \{0,1\}^n \times \{0,1\}^n \rightarrow \{0,1\}$ が与えられたとき、 $f(x, y)$ の計算に何ビットの通信が必要か？
- Alice と Bob の計算能力は無限
- 複数ラウンド使っても良い
- プロトコルが乱択のときは ϵ -誤りが仮定されることが多い

大雑把な定義

- プロトコル P の入力 (x, y) , ランダムビット列 r_1, r_2 に対する通信量
 - r_1, r_2 を使ったときの, プロトコルの停止までに送信されたメッセージの総ビット数 (実際は決定木を用いて形式的に定義される)

(ランダムビット列に関して平均を取る定義もあるが, ϵ -誤りを考える時はあまり差はない)

$$R_P^{MAX}(f) = \max_{(x,y) \in X \times Y, r \in \{0,1\}^*} C_P(x, y)$$

$$f \text{ の } (\epsilon - \text{誤り}) \text{ 通信複雑性} = \min_{P \in \mathcal{P}_\epsilon} R_P^{MAX}(f)$$

問題の例

□ 交叉判定 (set-disjointness)



アイテム集合を保有
 $\{1,3,6,7\}$

⇕ ビットベクトル
表現

$x = (10100110)$



アイテム集合を保有
 $\{2,4,5\}$

⇕ ビットベクトル
表現

$y = (01011000)$

2人が共通のアイテムを持つか？

(= x, y のともにビット1が立っているような場所があるか)

問題の例

- 等価性判定 (equality)



$x = (10100110)$

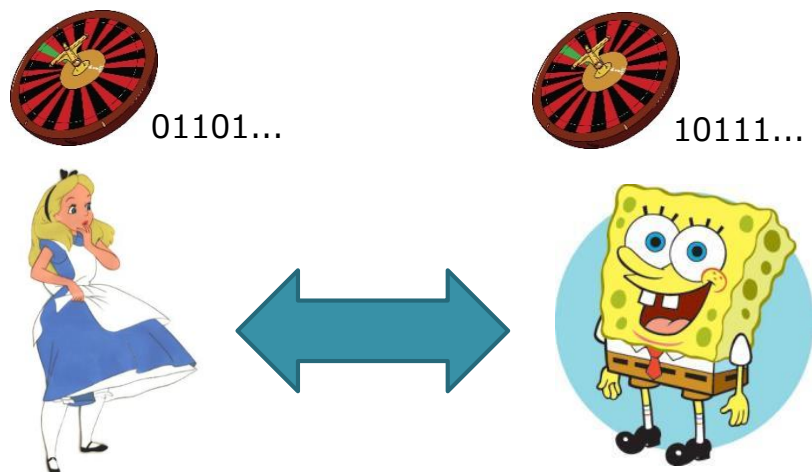


$y = (10100110)$

$x = y$ か?

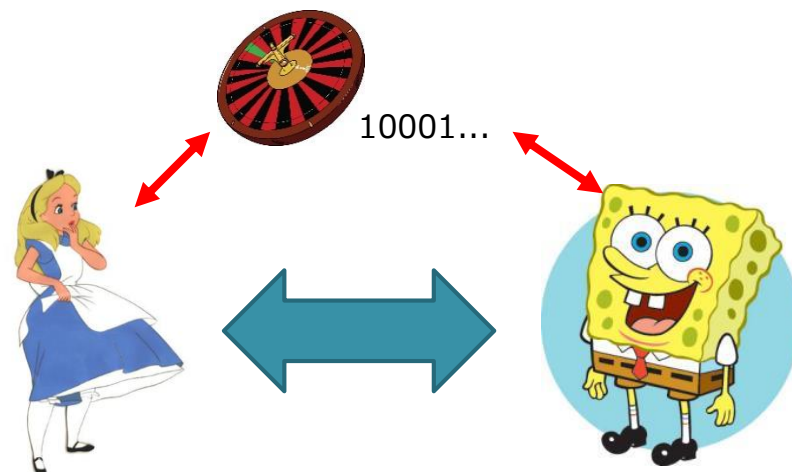
Private vs Public Randomness

乱択プロトコルにおける2つのモデル



Private Randomness

AliceとBobがそれぞれ独立に
乱数生成器を持つ



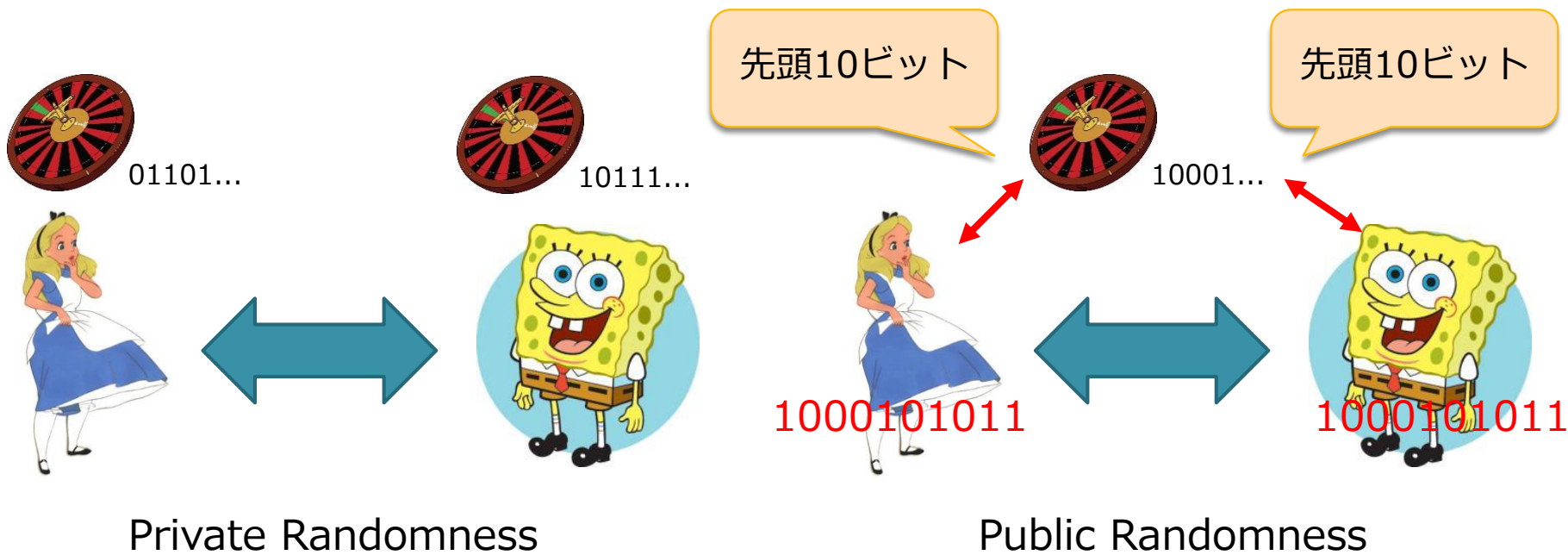
Public Randomness

AliceとBobがどちらも(コストゼロで)
アクセスできる共通の乱数生成器を持つ

※乱数生成器=無限長のランダム0-1列

Private vs Public Randomness

乱択プロトコルにおける2つのモデル



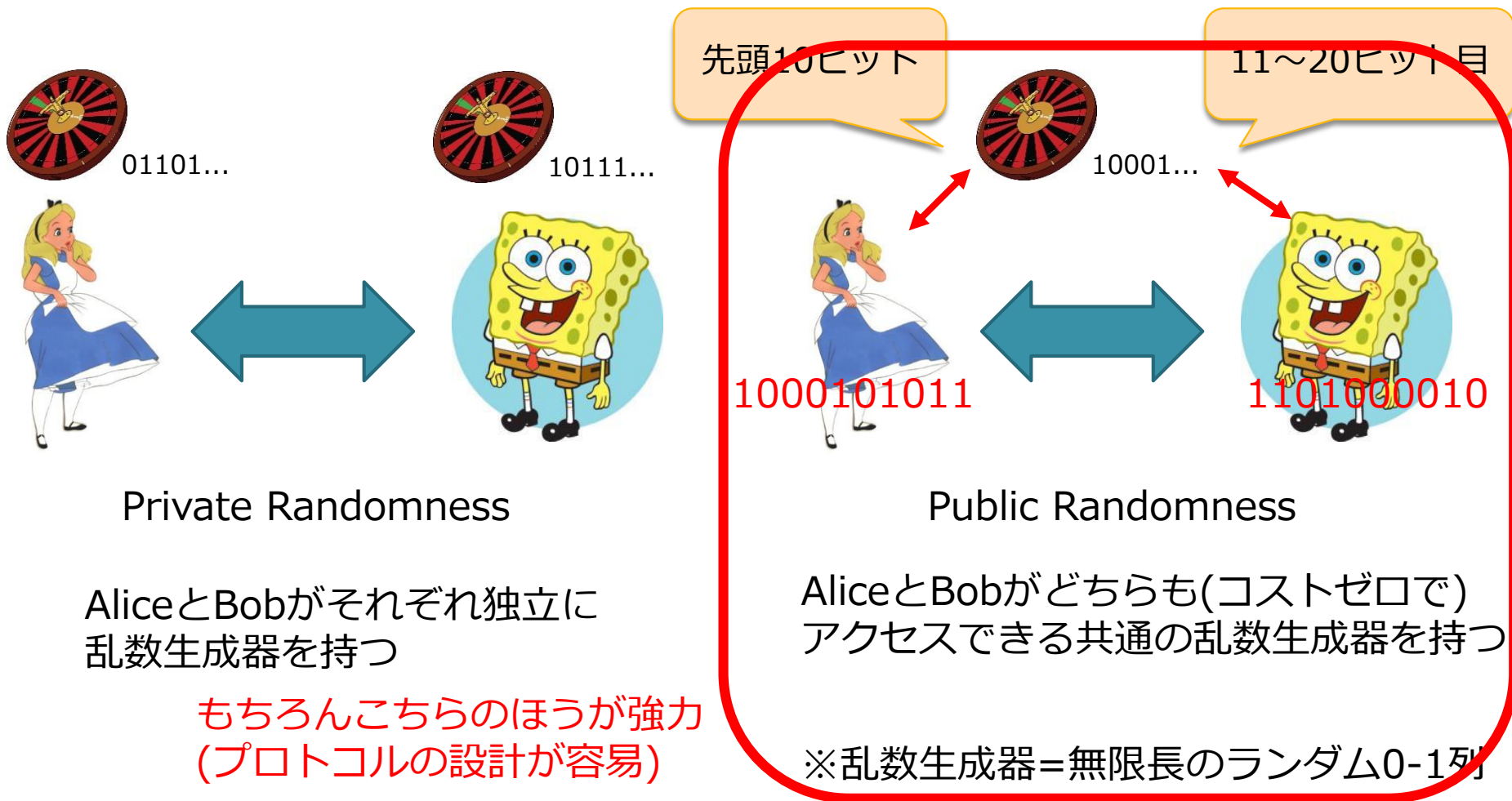
AliceとBobがそれぞれ独立に
乱数生成器を持つ

AliceとBobがどちらも(コストゼロで)
アクセスできる共通の乱数生成器を持つ

※乱数生成器=無限長のランダム0-1列

Private vs Public Randomness

乱択プロトコルにおける2つのモデル



交叉判定の通信複雑性

- 以降の議論には、とりあえず以下の事実を知っていればOK

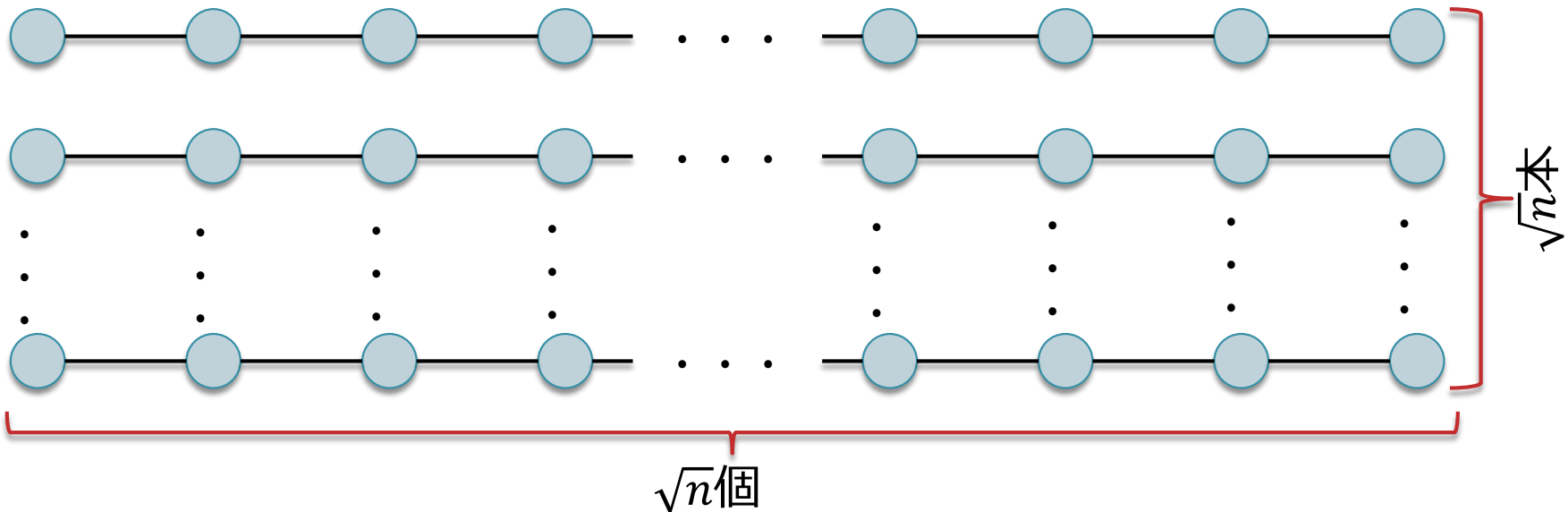
定理 [KC87, Razborov90]

Public Randomnessモデル上で n -ビット交叉判定を行う任意の ϵ -誤りプロトコルの通信複雑性が $\Omega(n)$ ビットとなるような定数 $\epsilon > 0$ が存在する

- 交叉判定を有意に高い確率で解こうと思うと(漸近的には)自明なプロトコルが最適

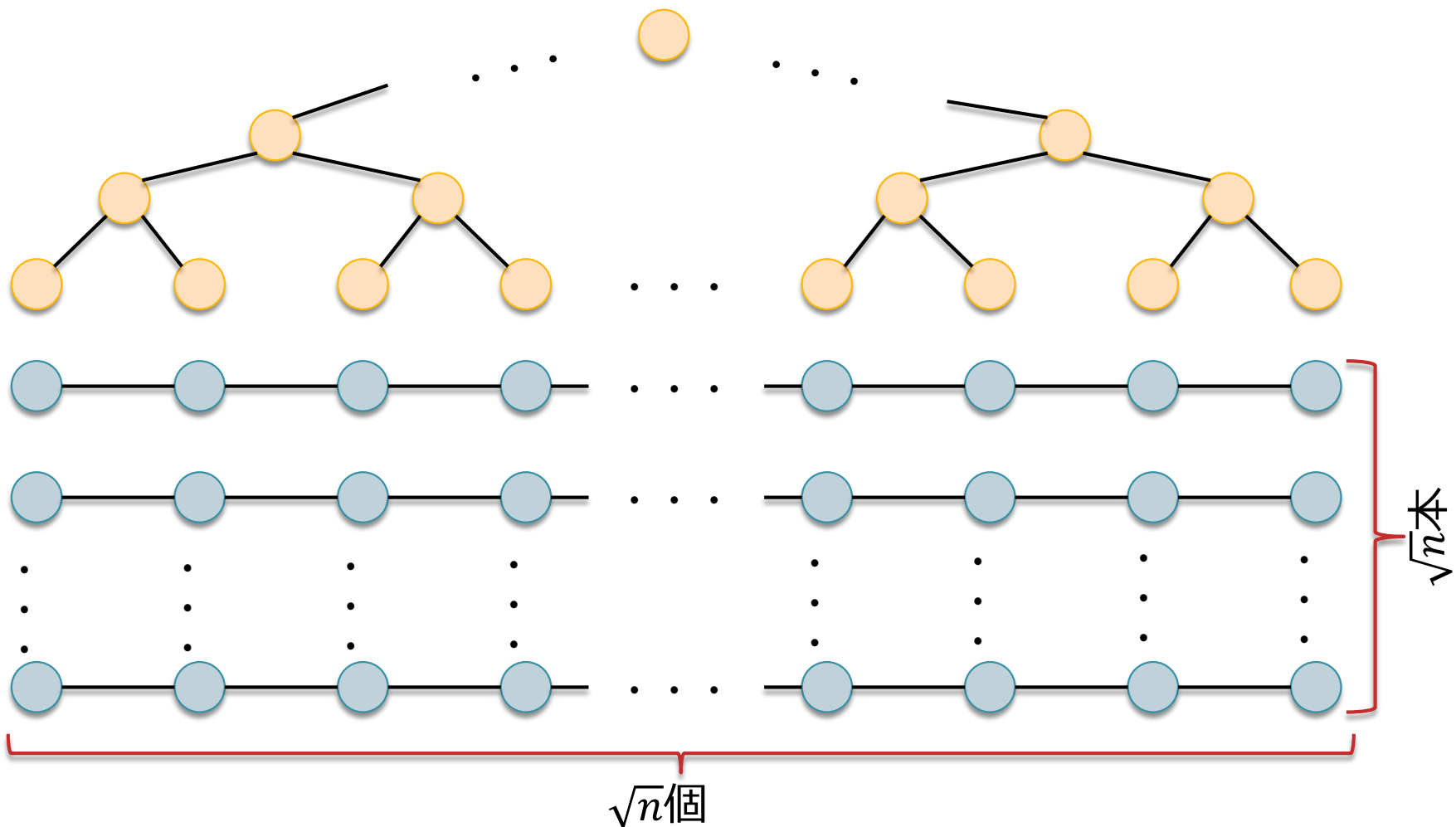
Hard-Core Topology G_{LB}

- ステップ1：長さ \sqrt{n} のパスを \sqrt{n} 本用意する



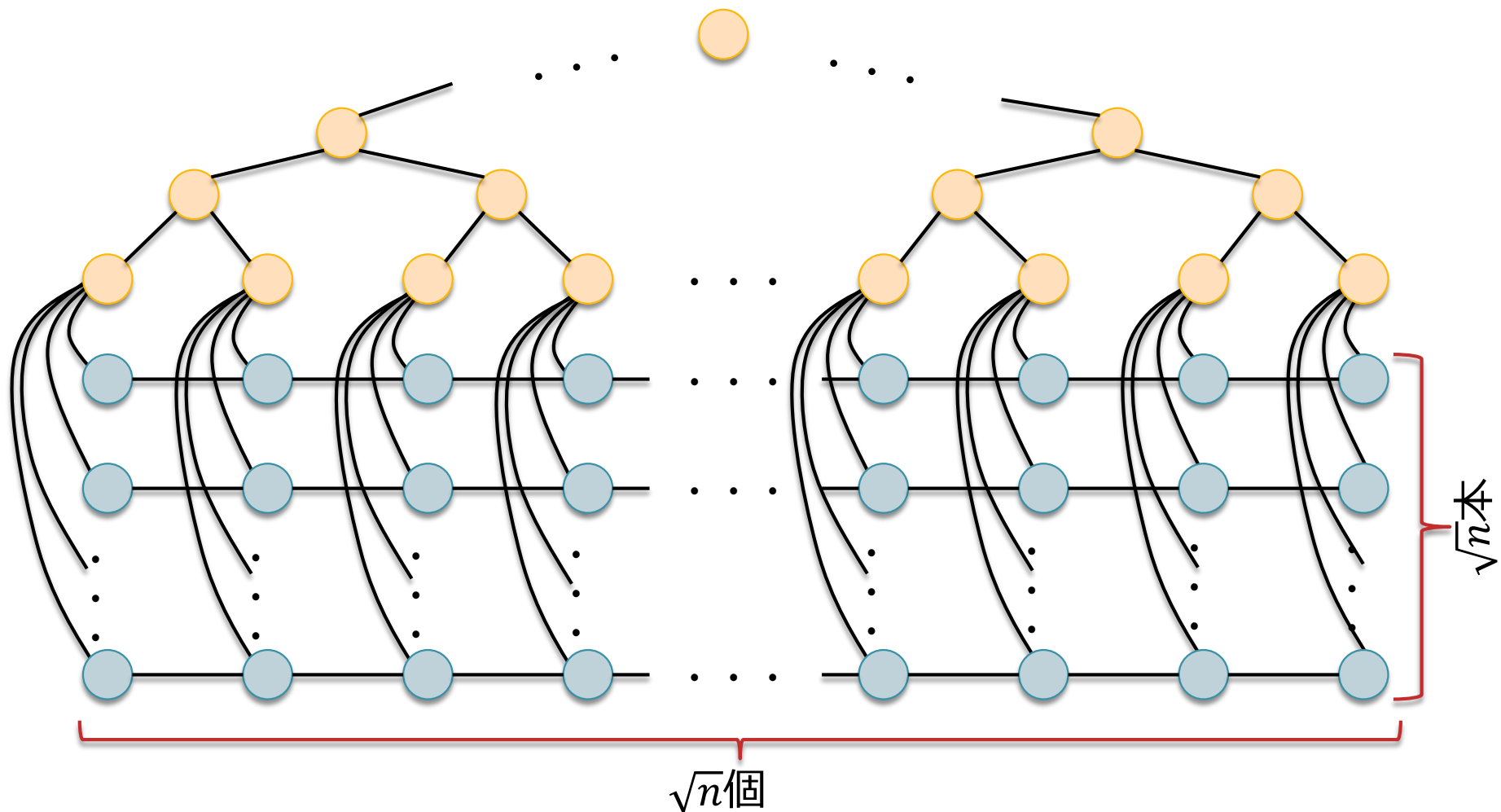
Hard-Core Topology G_{LB}

- ステップ 2 : 葉数 \sqrt{n} の完全二分木を用意
(頂点数 $> n$ になるが, 漸近的には $O(n)$ なのであまり気にしないように)



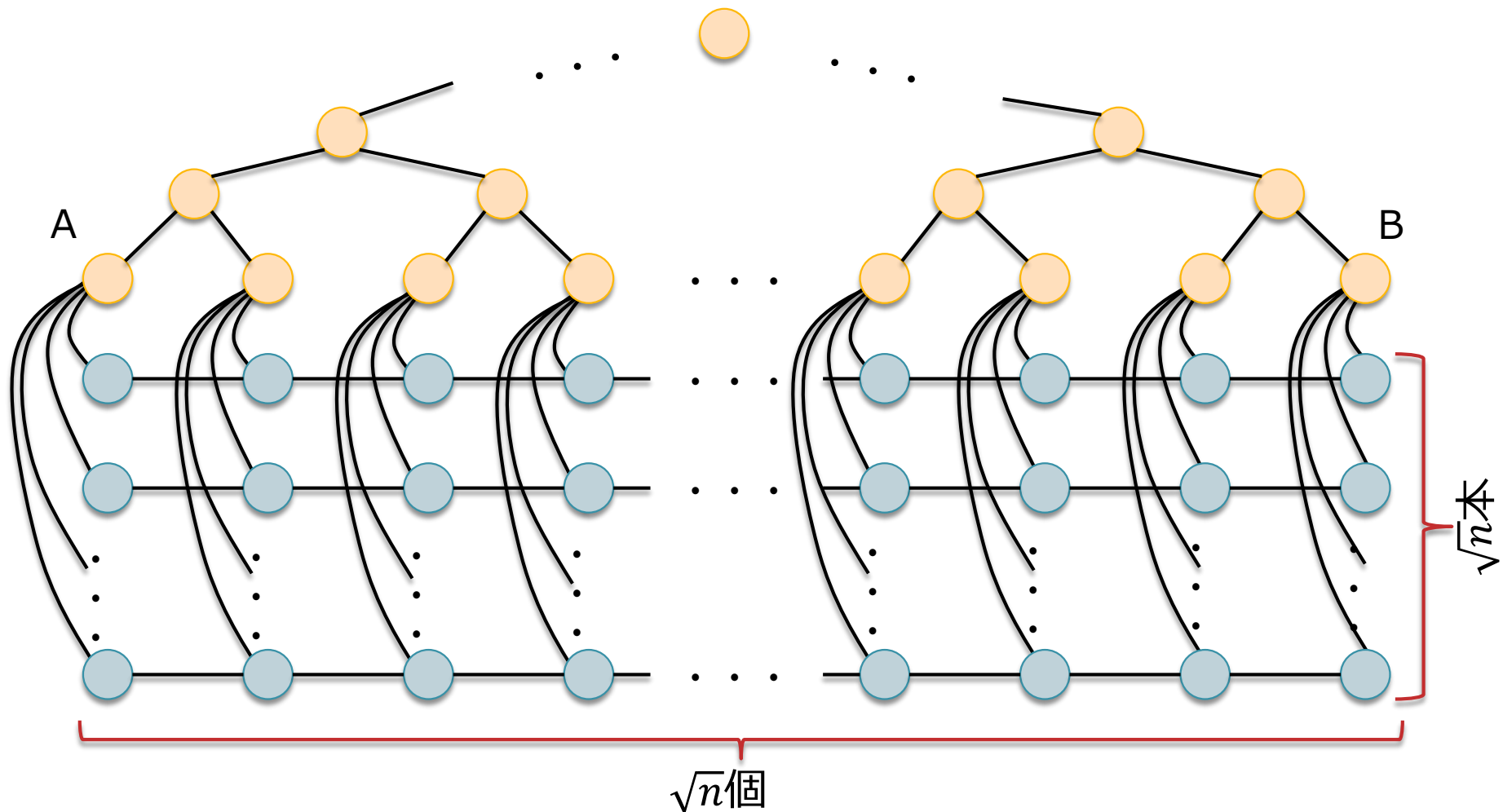
Hard-Core Topology G_{LB}

- ステップ3 : パス中の i 番目の頂点と i 番目の葉を接続



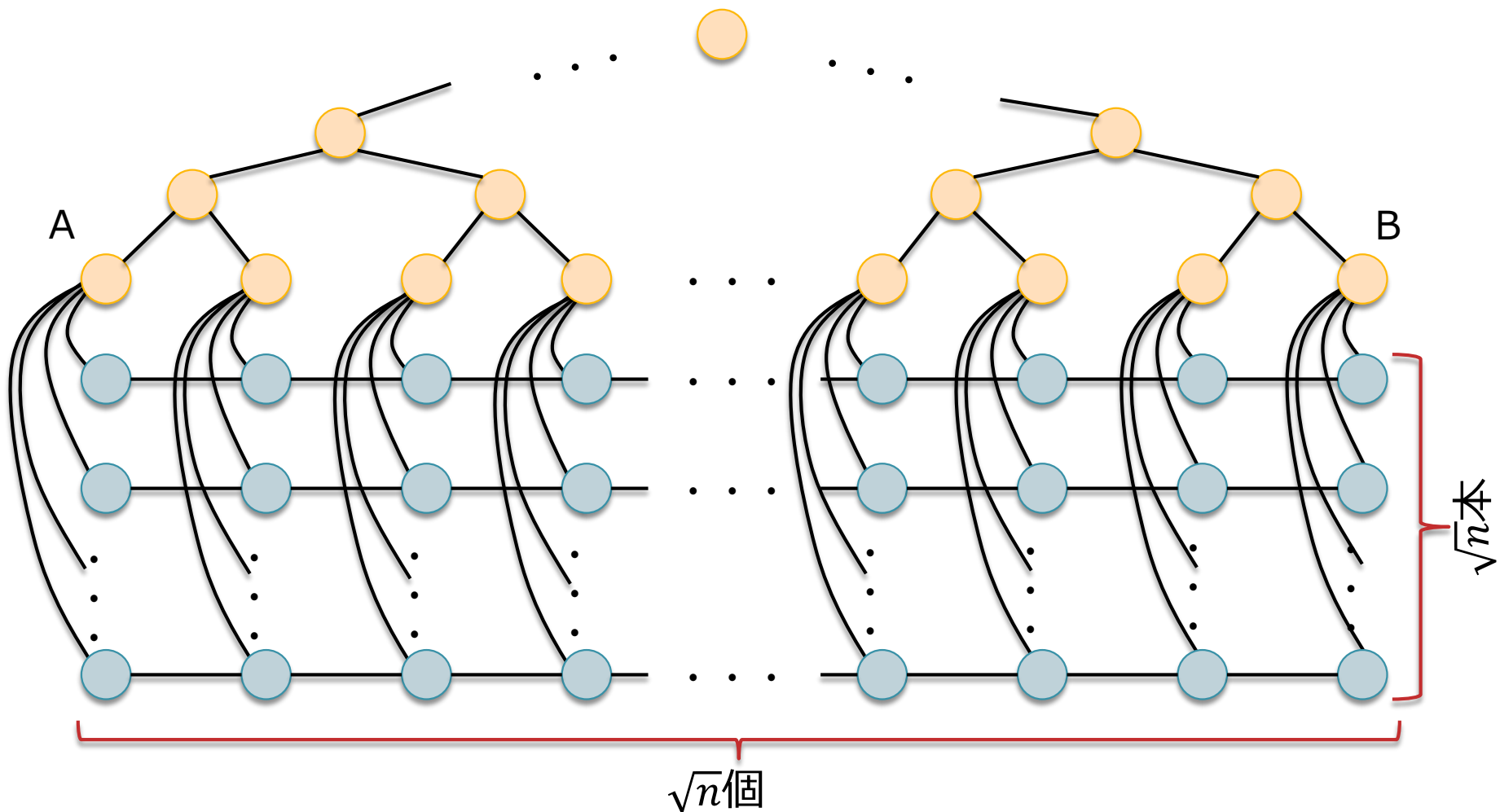
Hard-Core Topology G_{LB}

- 一番左の葉をA, 一番右の葉をBとする



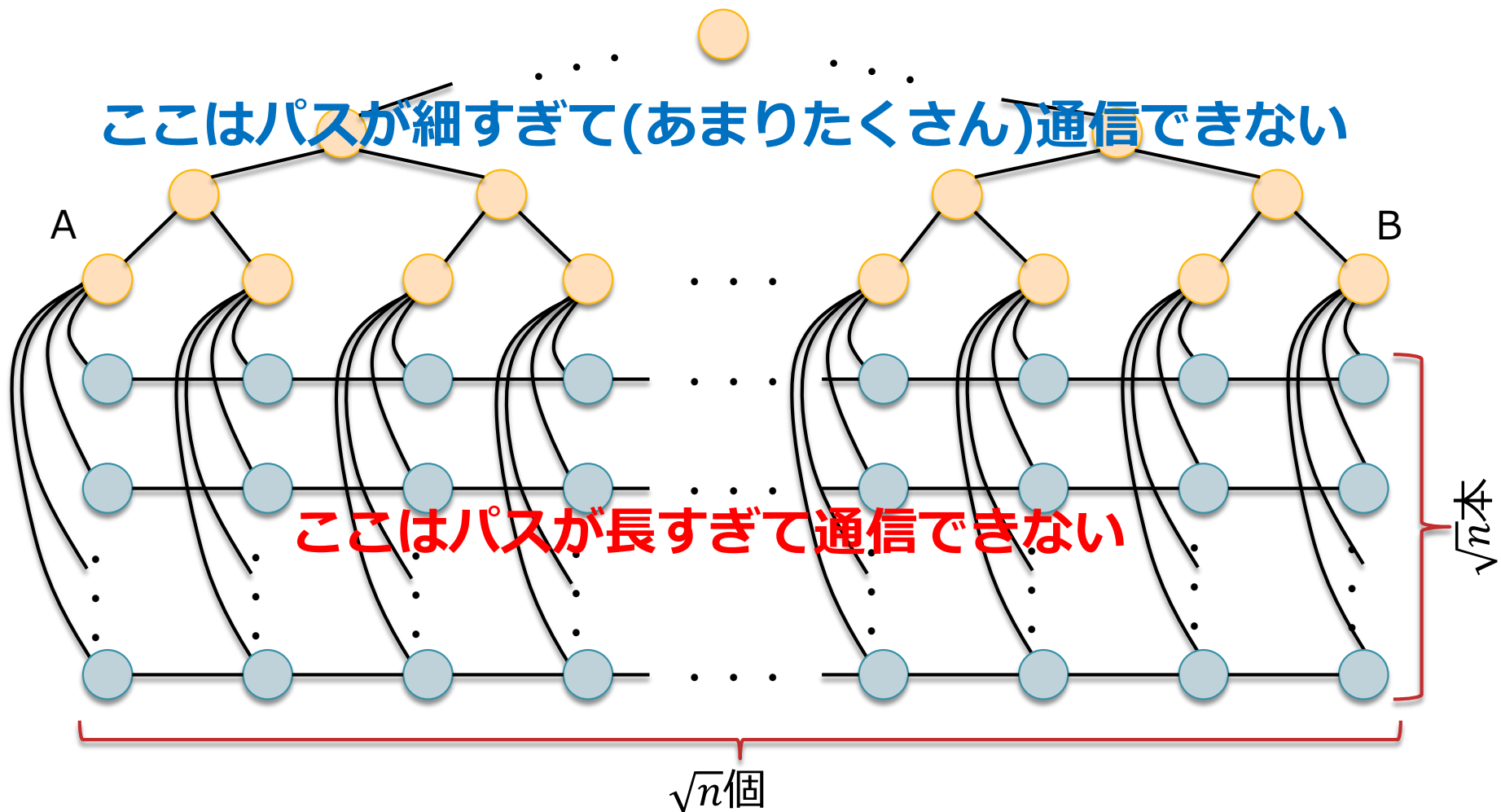
定理 [PR00, DHK+12]

任意の k ラウンド ($k < \frac{\sqrt{n}}{2}$) のアルゴリズムにおいて
A-B間には高々 $k \log^2 n$ ビットしか通信ができない



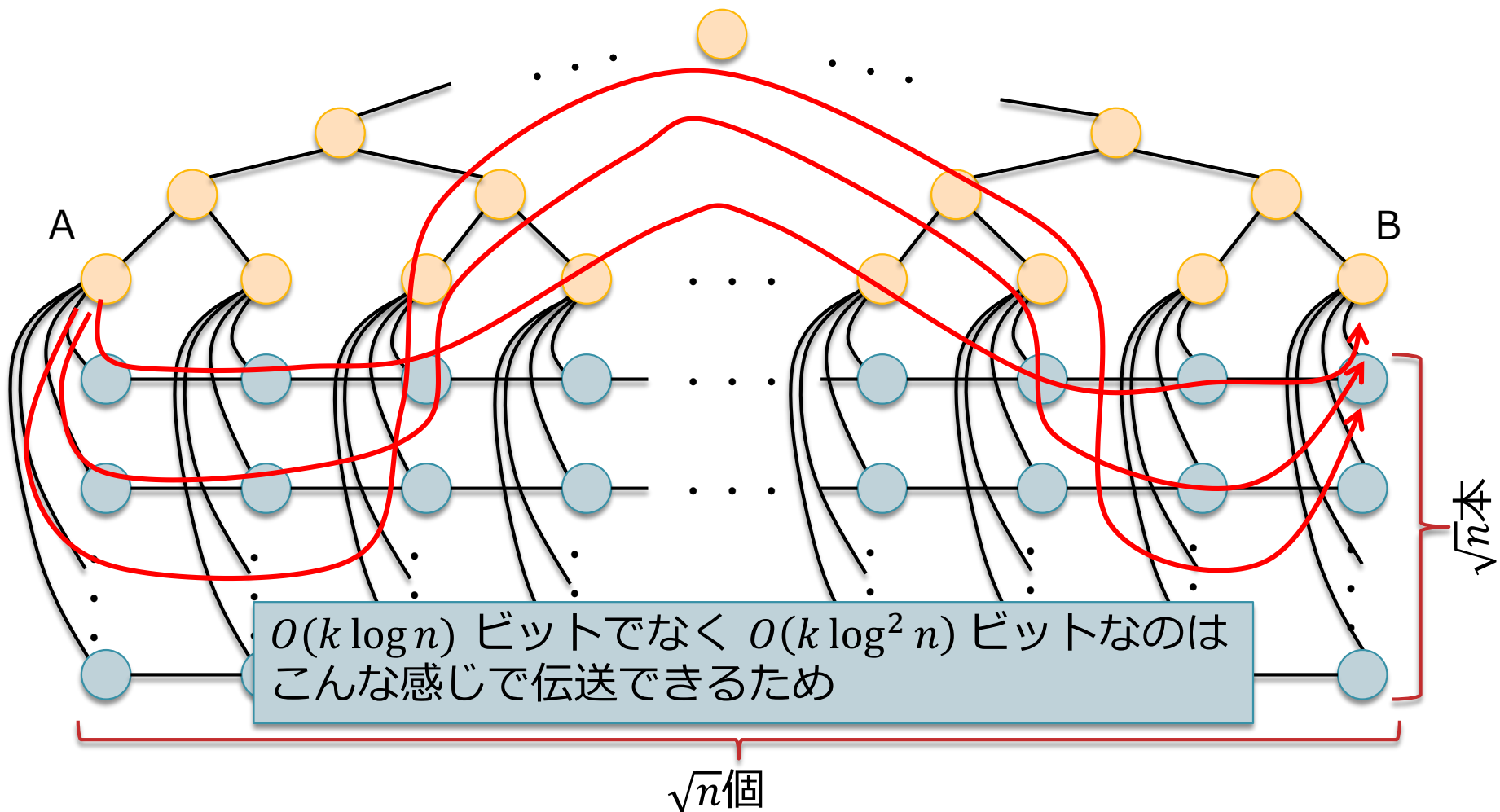
H 定理 [PR00, DHK+12]

任意の k ラウンド ($k < \frac{\sqrt{n}}{2}$) のアルゴリズムにおいて
A-B間には高々 $k \log^2 n$ ビットしか通信ができない



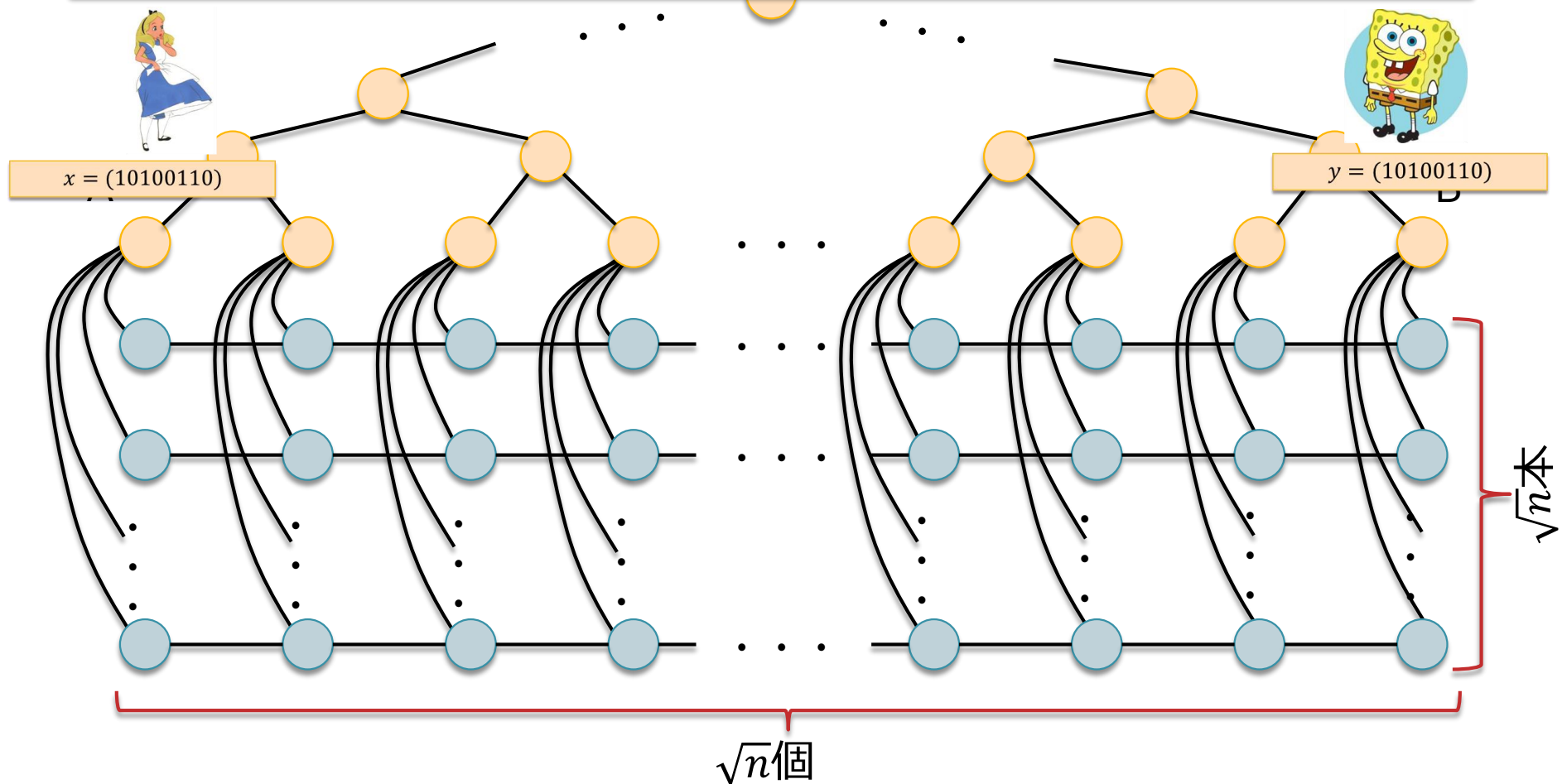
H 定理 [PR00, DHK+12]

任意の k ラウンド ($k < \frac{\sqrt{n}}{2}$) のアルゴリズムにおいて
A-B間には高々 $O(k \log^2 n)$ ビットしか通信ができない



H系 [DHK+12]

- Aが \sqrt{n} ビットの入力 x を持ち、 B が \sqrt{n} ビットの入力 y を持つとするとき、 $disj(x, y)$ を $\tilde{o}(\sqrt{n})$ ラウンドで計算するアルゴリズムは(乱択/決定性問わず)存在しない



系に関する補足

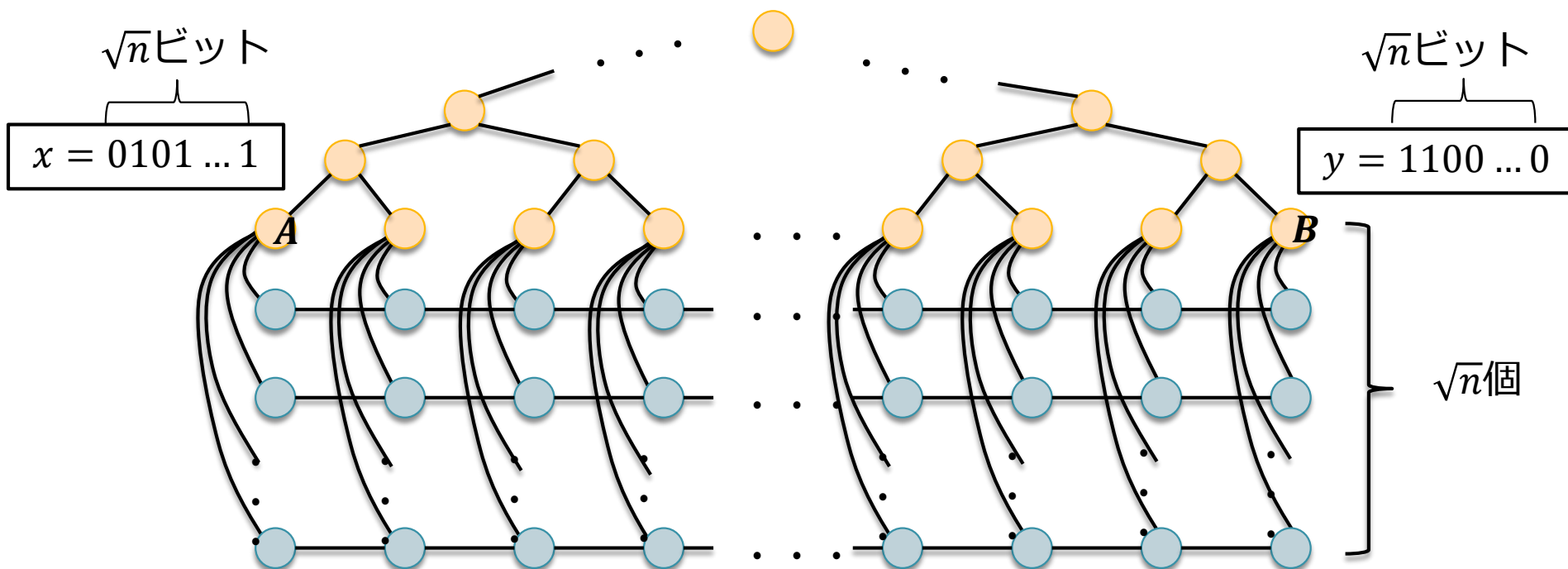
- この系は A, B 以外の他ノードは x, y に関する情報以外すべてを知っているととしても成立 トポロジ全体, その中での自分の位置

⇔ G_{LB} に特化したアルゴリズムをもってしても $\tilde{o}(\sqrt{n})$ ラウンドで交叉判定を解くことが不可能

帰着による下界証明

□ set-disjointness \rightarrow (Approx.) MST

やること：MSTを解くAlg.を使って(G_{LB} に特化した)交叉判定Alg.を構成

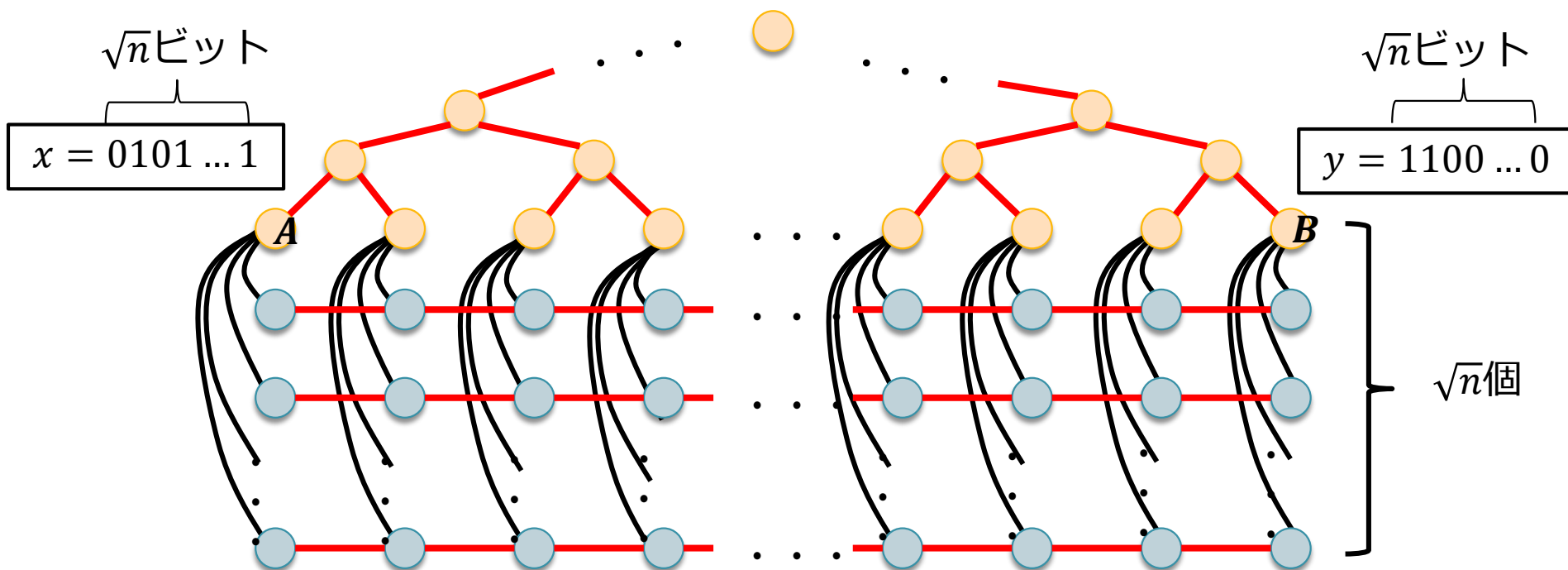


帰着による下界証明

— 重み1
— 重み n^{100}

□ set-disjointness \rightarrow (Approx.) MST

やること：MSTを解くAlg.を使って(G_{LB} に特化した)交叉判定Alg.を構成



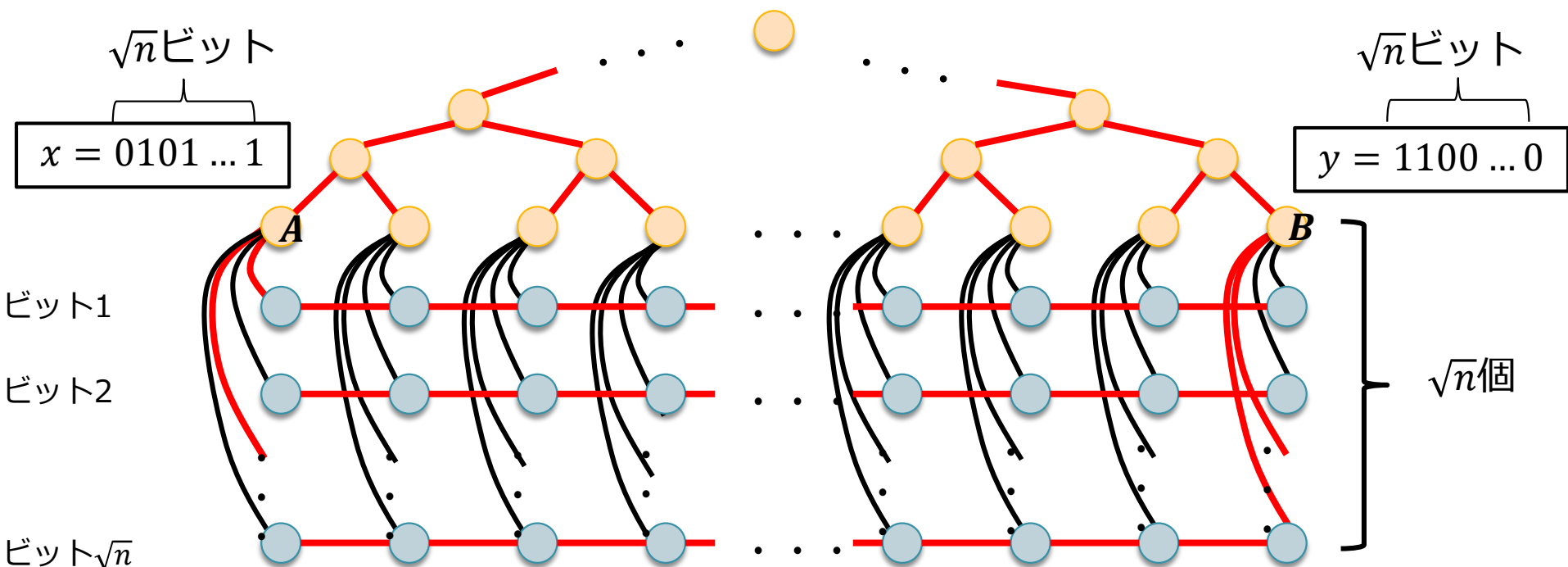
0. 上記黒色の辺の重み= n^{100} 赤色辺の重み=1とする

帰着による下界証明

— 重み1
— 重み n^{100}

□ set-disjointness \rightarrow (Approx.) MST

やること：MSTを解くAlg.を使って(G_{LB} に特化した)交叉判定Alg.を構成

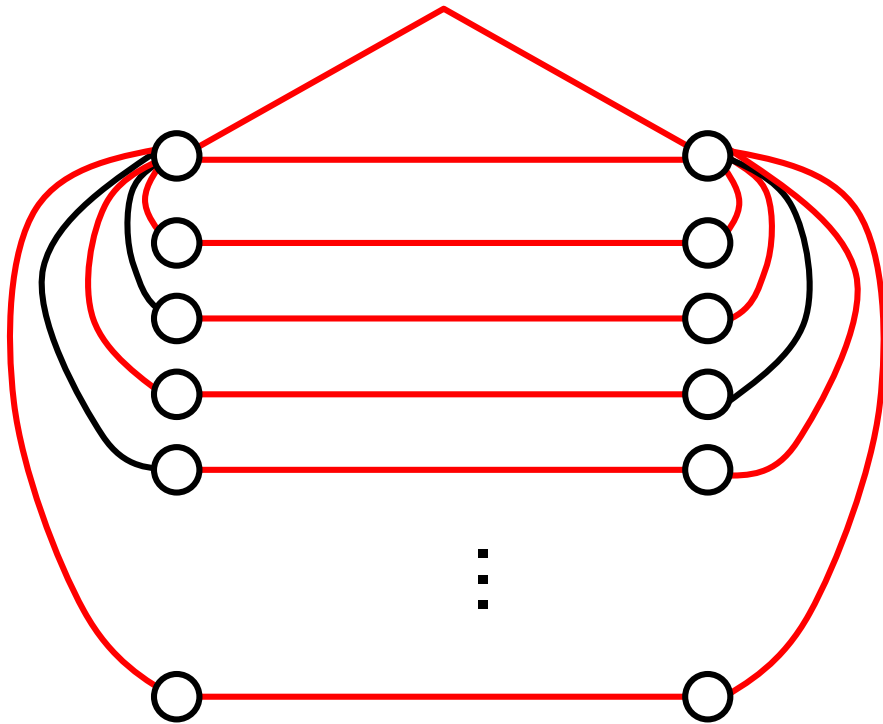


1. パスの各段を交叉判定問題の各ビットに対応付ける
2. A/Bから i 段目への辺の重み =
$$\begin{cases} 1 & (x \text{ の } i \text{ ビット目} = 0) \\ n^{100} & (\text{それ以外}) \end{cases}$$

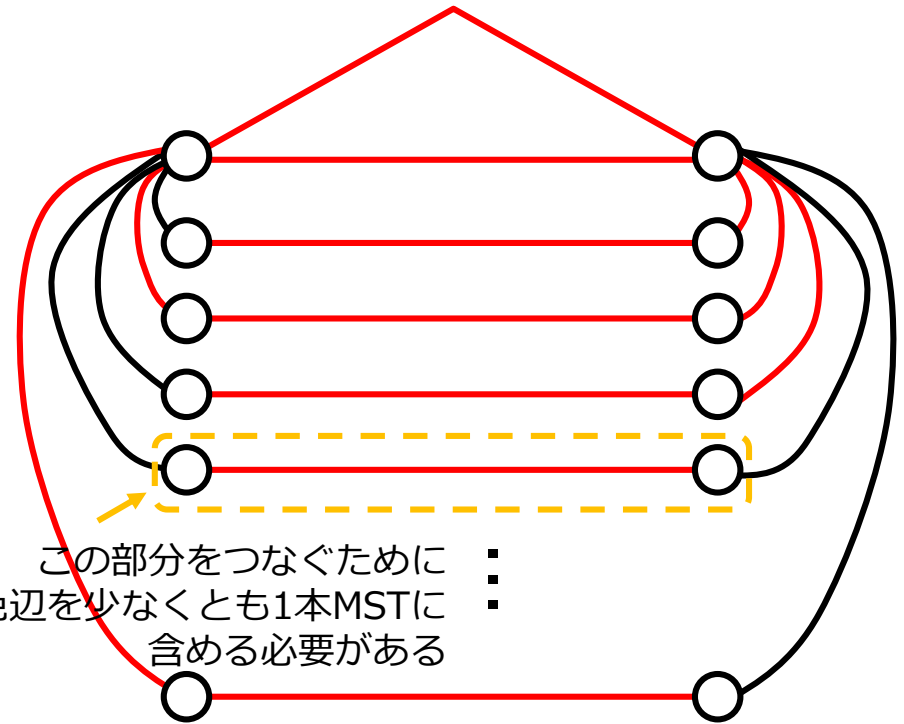
帰着による下界証明

— 重み1
— 重み n^{100}

□ x, y が交叉 \Leftrightarrow MSTが n^{100} 重みの辺を含む



互いに素なとき



交叉するとき

— ビット0に相当 — ビット1に相当

帰着に要するコスト

- 辺重みの設定：1ラウンド
 - A, Bに接続する辺は x の各ビット情報を隣接ノードに送信
 - それ以外の辺の重みは各頂点が初期状態で設定
 - 今は G_{LB} に特化したアルゴリズムを構成しているので各頂点が自身の隣接辺に割り当てるべき重みは既知 (=アルゴリズムにハードコーディングする)

定理 [DHK+12]

MSTの重みが n 以下 or $n - 1 + n^{100}$ 以上を $f(n)$ ラウンドで判定するアルゴリズムが存在

⇒ $f(n) + 1$ ラウンドで G_{LB} 上の交叉判定が解ける

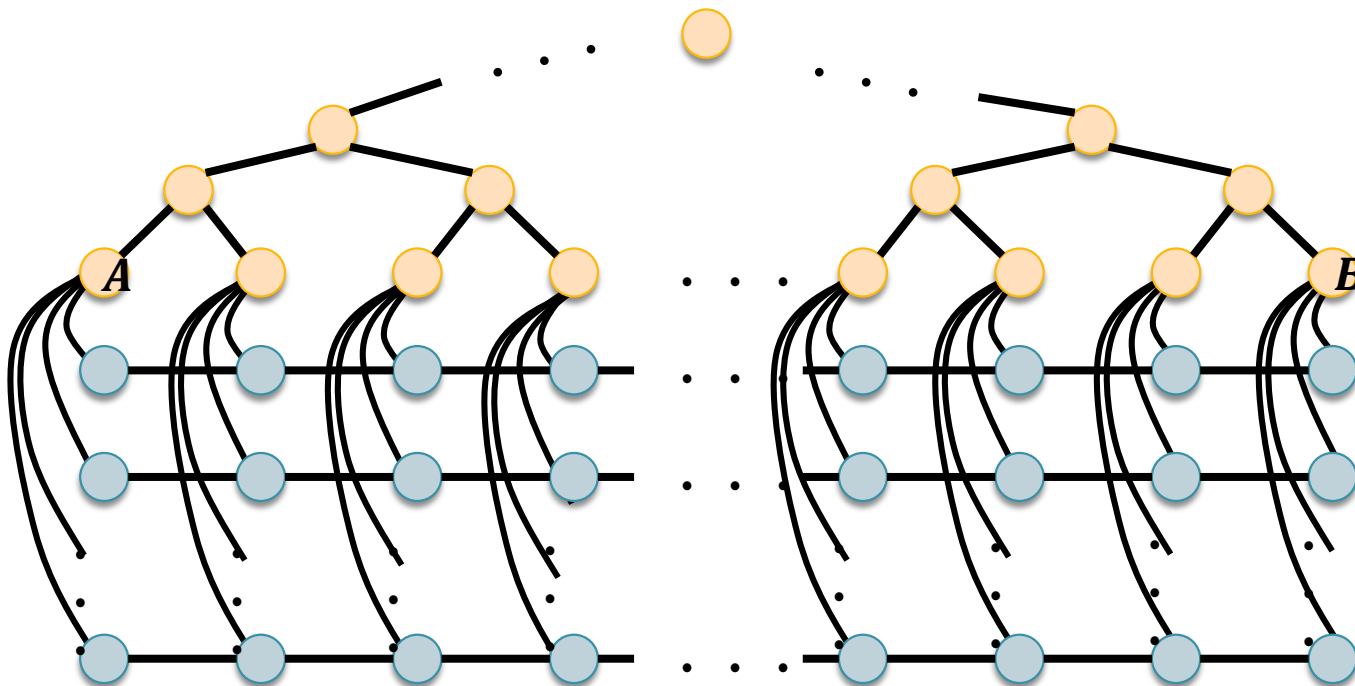
注)もちろん n^{100} は便宜的であり、実際は好きな値を取れる

最悪時インスタンスの回避

- トポロジ G_{LB} はある意味で「悪魔的な」インスタンス
- ネットワークトポロジに何らかの制限を置くことでより高速に問題が解けないか？
 - 疎なグラフ, 密なグラフ
 - 次数が制限されたグラフ
 - 直径が小さいグラフ
 - 連結度が高いグラフ
 - その他, 代表的なグラフクラス (平面的, 部分 k -木, etc...)

下界の検討

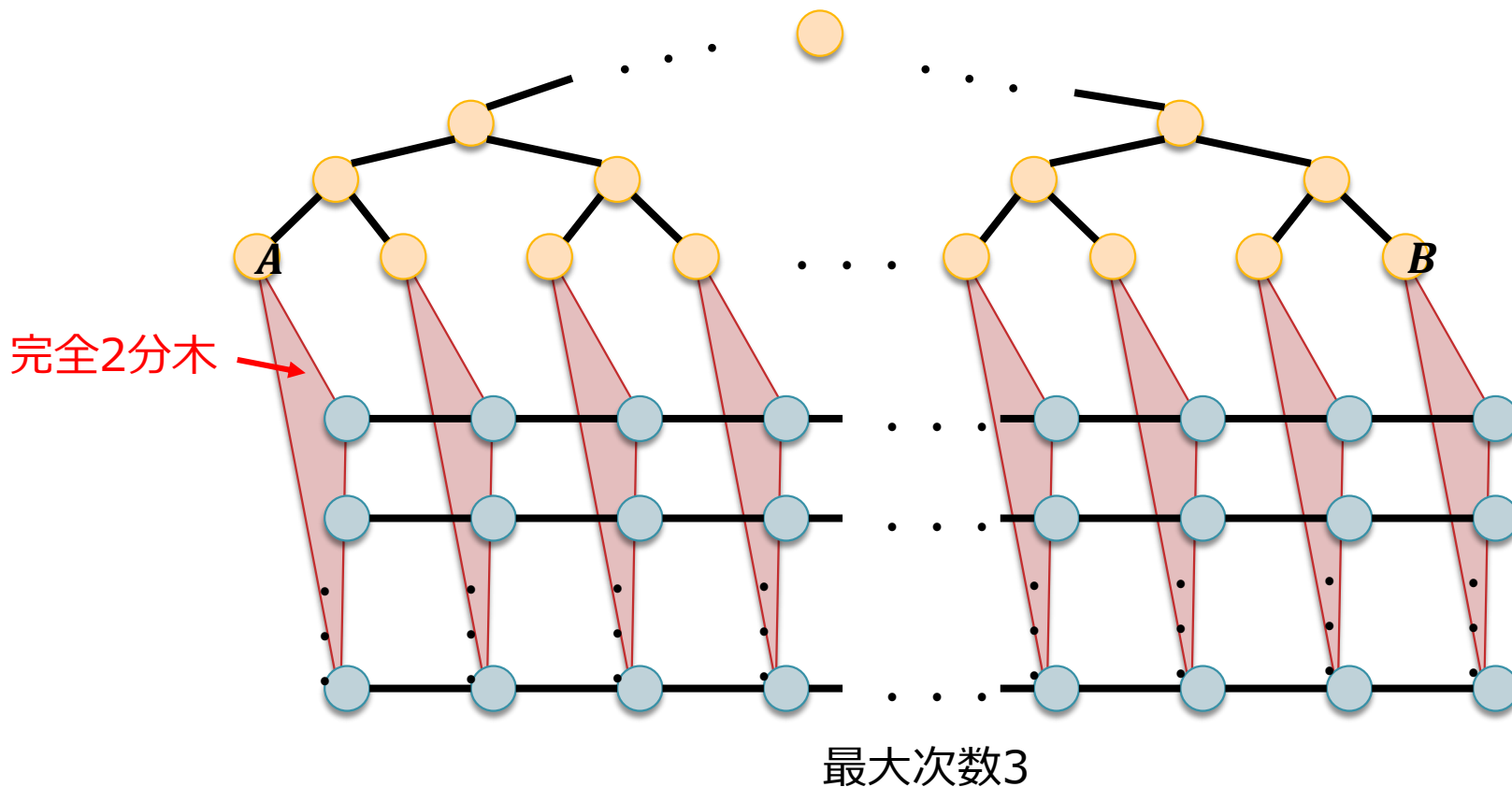
- 疎なグラフ：×
 - G_{LB} は既に疎である



下界の検討

□ 次数を制限：×

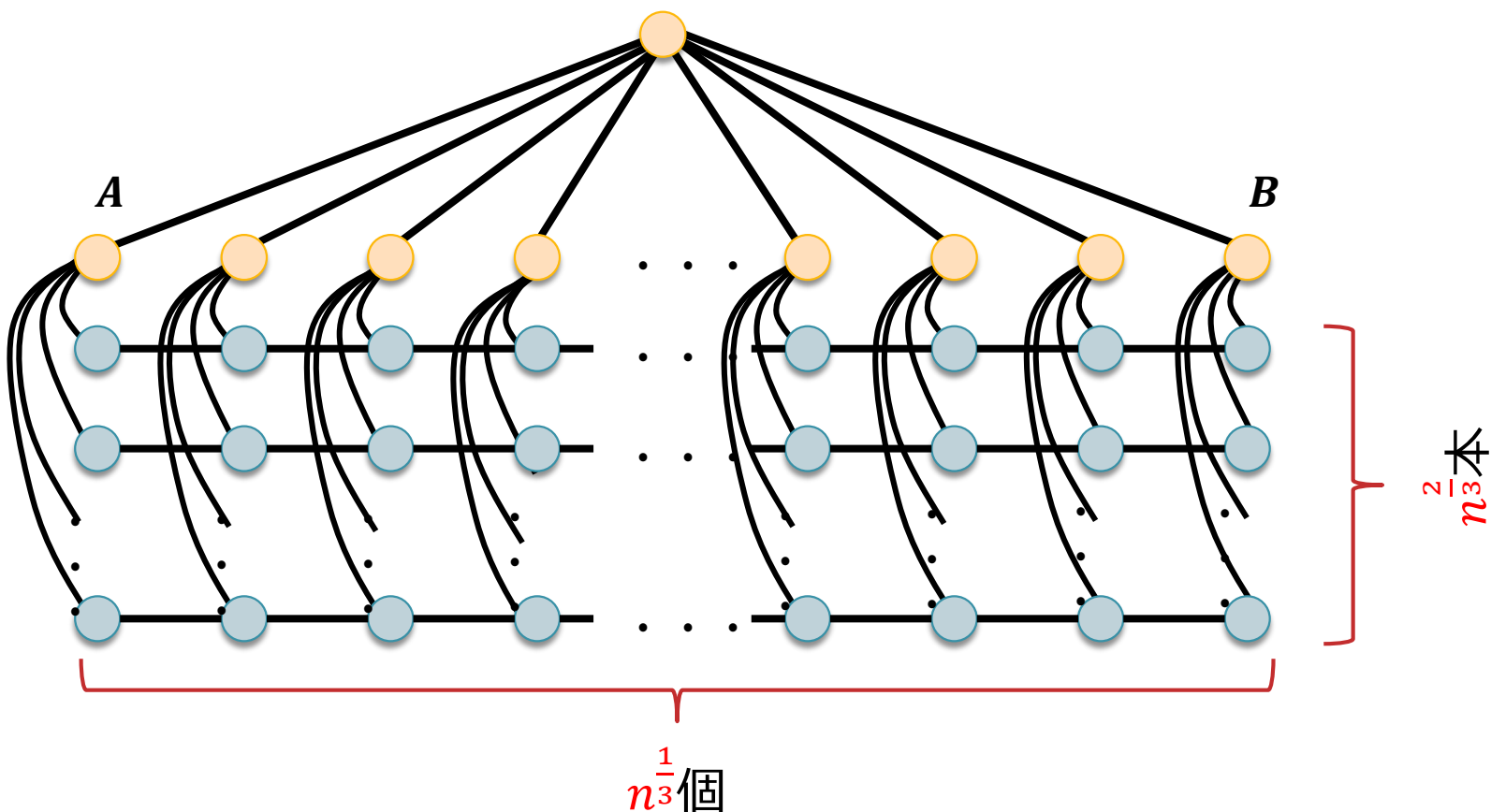
□ G_{LB} を以下のように変形しても元と同様の下界が得られる



下界の検討

□ 直径小：△

▣ 以下のようにアレンジすると直径は4になる[LPP06]

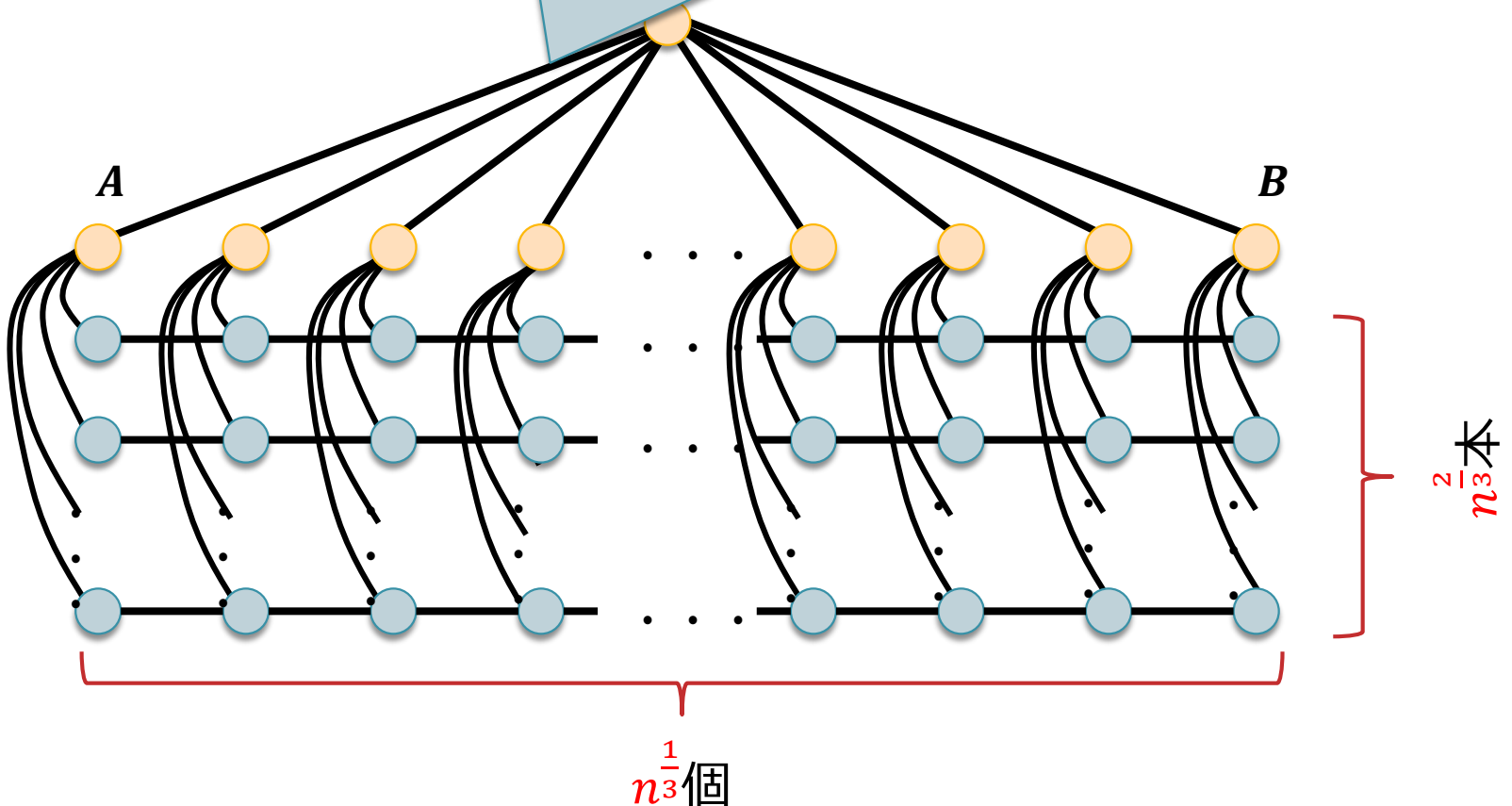


下界の検討

- 直径小：△
 - 以下のように

最初の k ラウンド($k < n^{\frac{1}{3}}$)で, A-B間は $\tilde{O}(kn^{\frac{1}{3}})$ ビットしかメッセージを伝送できない

前述の問題群に対して $\tilde{\Omega}(n^{\frac{1}{3}})$ ラウンドの下界が得られる



下界の検討

- その他の仮定
 - ▣ 平面的グラフ：少なくとも G_{LB} はまったく平面的ではない
 - ▣ 部分 k 木：少なくとも G_{LB} の木幅は小さくない
 - ▣ 密, 連結度高い：少なくとも G_{LB} は以下略

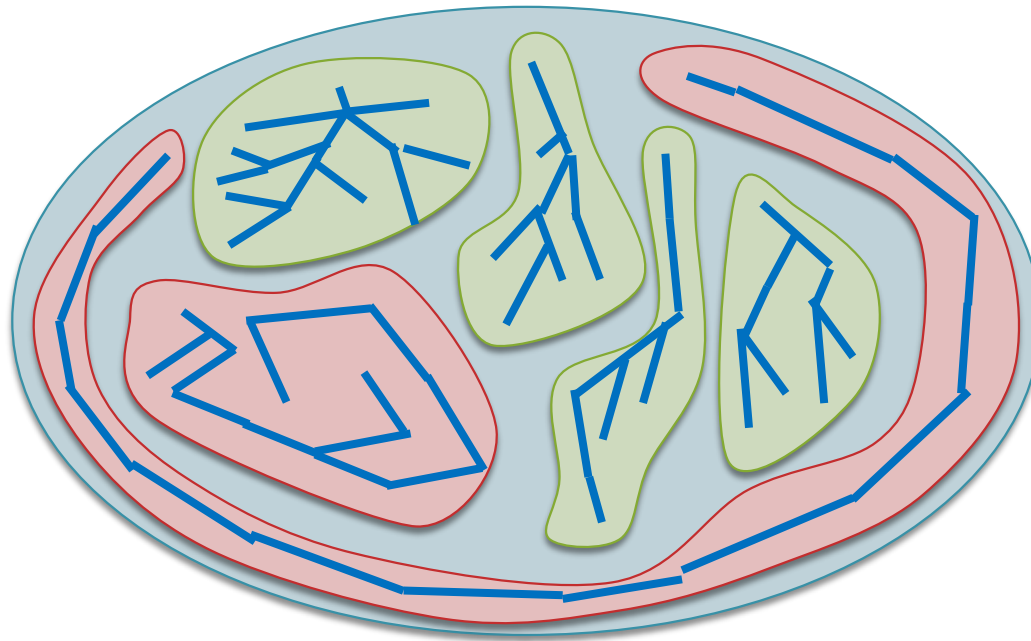
- これらは基本的には有用な仮定

定理 [GH16, HIZ16-1, HIZ16-2]

平面的グラフ, 木幅定数のグラフにおいてMSTは
 $\tilde{O}(D)$ ラウンドで構成可能

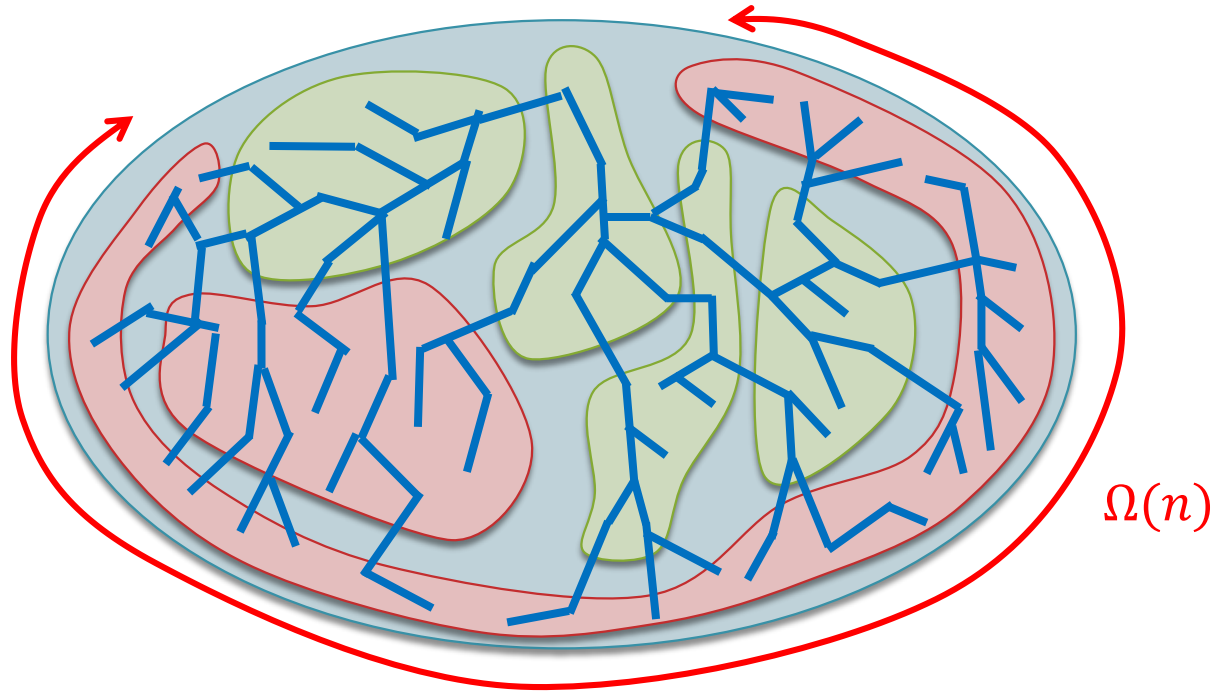
何が問題だったか？

- 問題：直径の大きい部分グラフにおける収集/放送



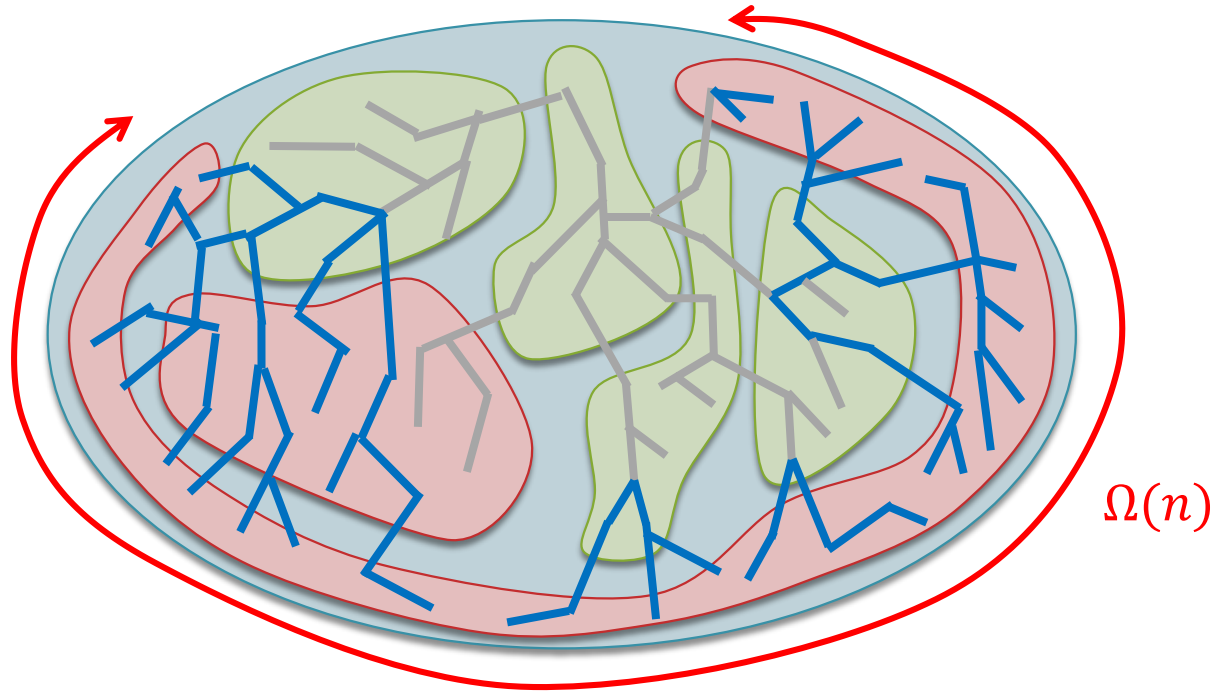
何が問題だったか？

- サイズの大きい ($> \sqrt{n}$) 部分グラフは
BFS木を使った (Dilation $O(D)$ / Congestion $O(\sqrt{n})$)



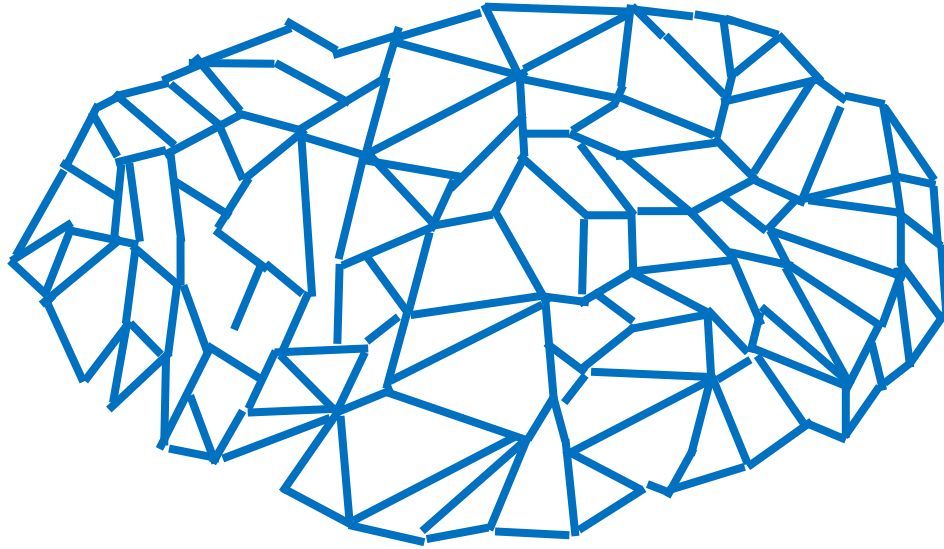
アプローチ

- 注意深く利用辺を割り当てることで (Dilationをあまり上げず) Congestionを下げる事ができないだろうか？



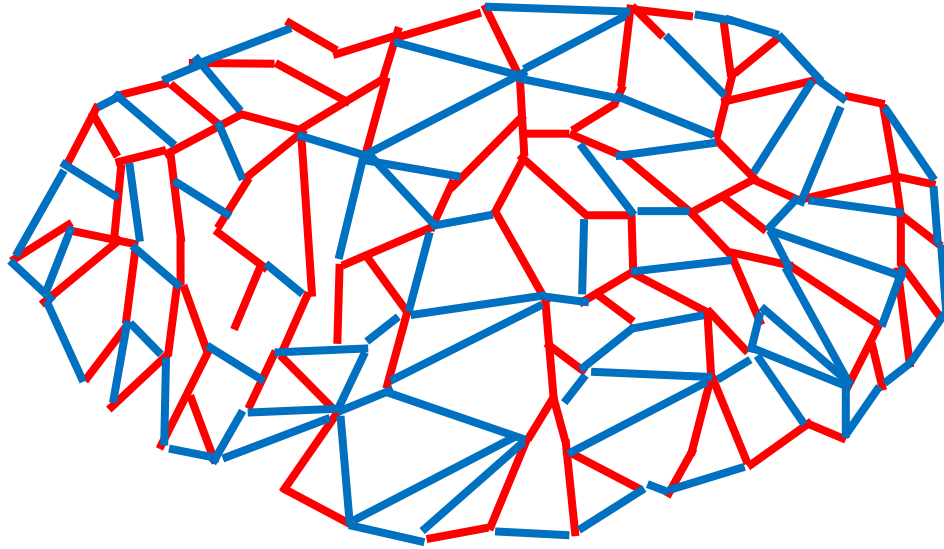
平面的グラフの例

- BFS木を構成



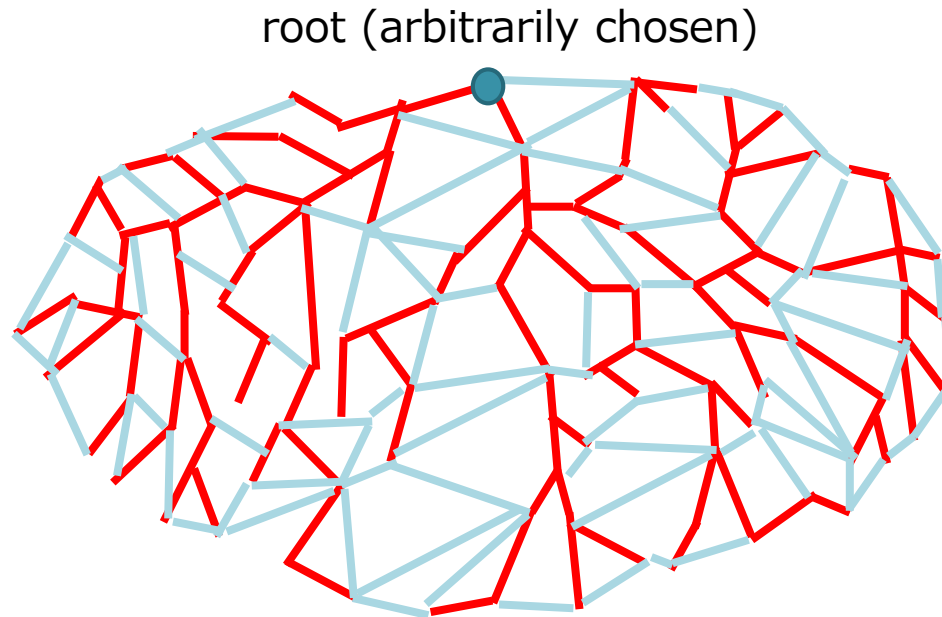
平面的グラフの例

- BFS木を構成



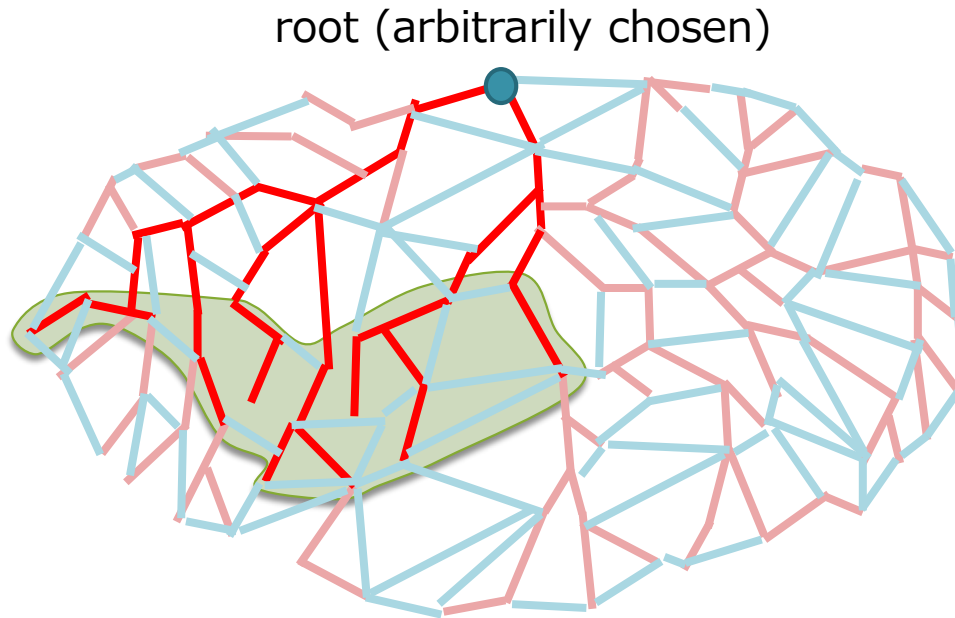
平面的グラフの例

- BFS木を構成
- 部分グラフについて, 親へ向かうパスをショートカットとして追加



平面的グラフの例

- BFS木を構成
- 部分グラフについて，親へ向かうパスをショートカットとして利用

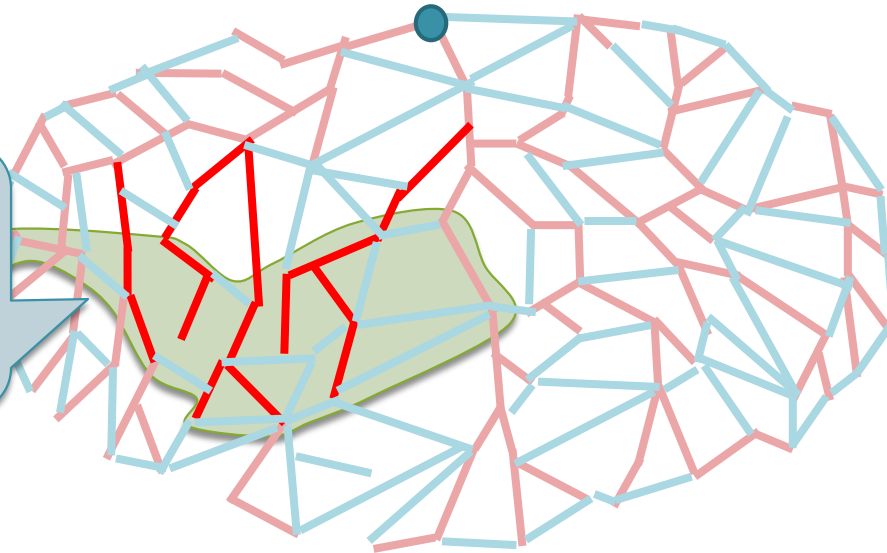


平面的グラフの例

- BFS木を構成
- 部分グラフについて、親へ向かうパスをショートカットとして追加
- ただし最左と最右のパスは除外する

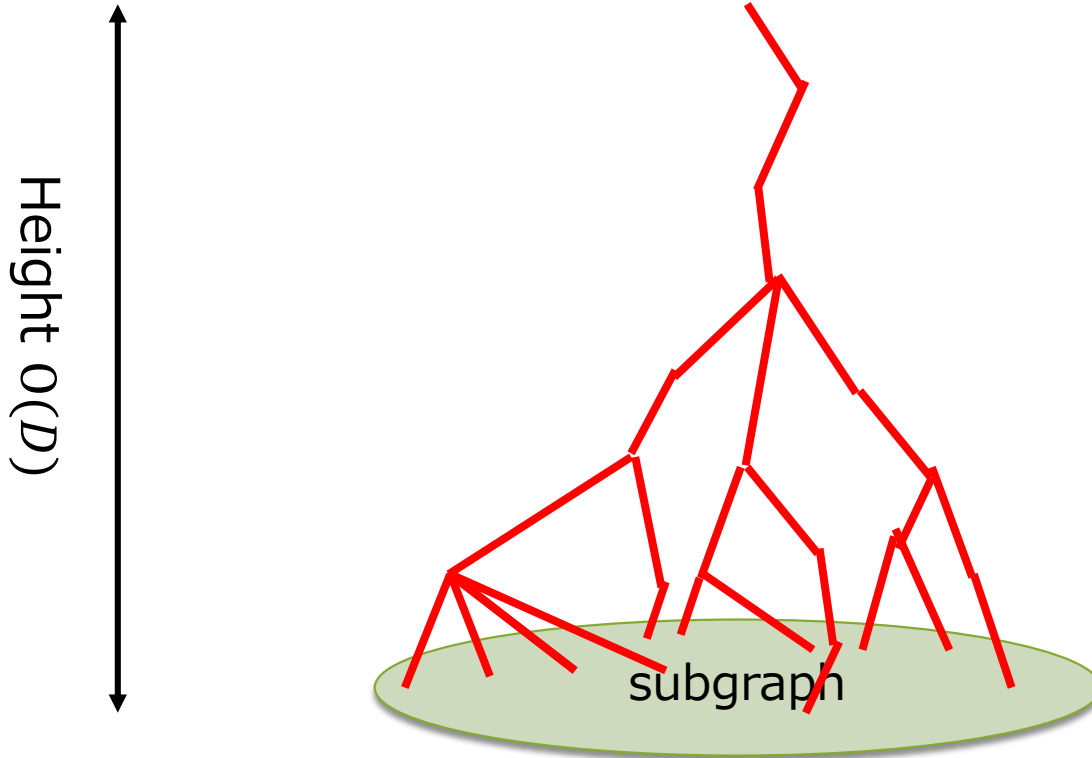
root (arbitrarily chosen)

部分グラフの
内部辺+この辺で
収集/放送を行う



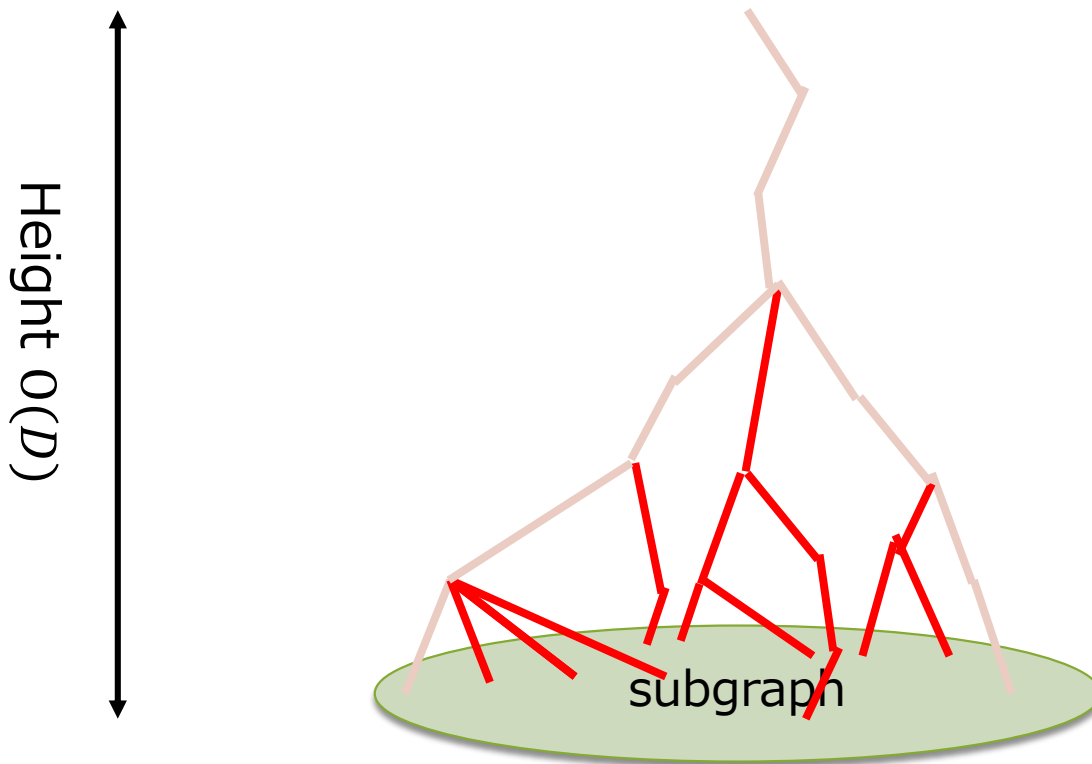
ショートカットの質

- この構成はdilation $O(D^2)$, congestion $O(D)$ を達成



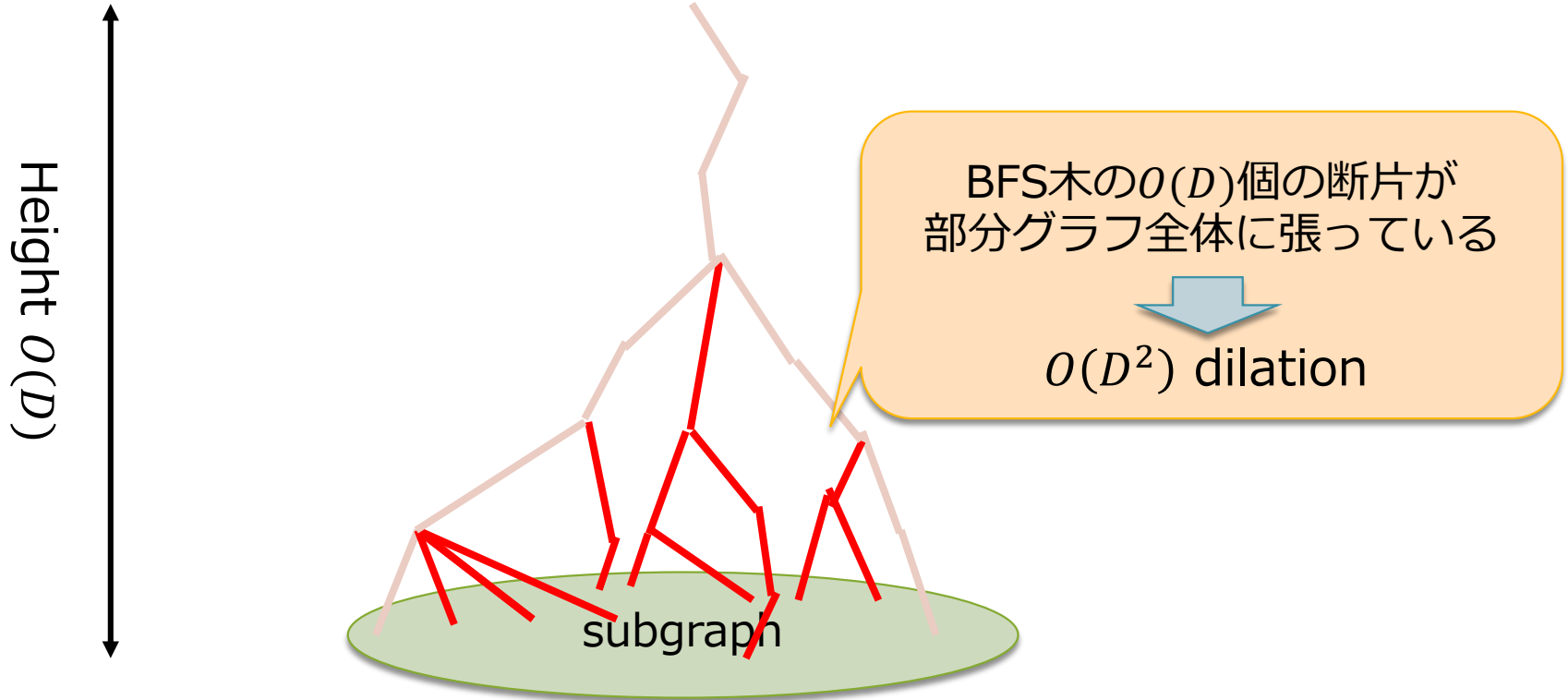
ショートカットの質

- この構成はdilation $O(D^2)$, congestion $O(D)$ を達成



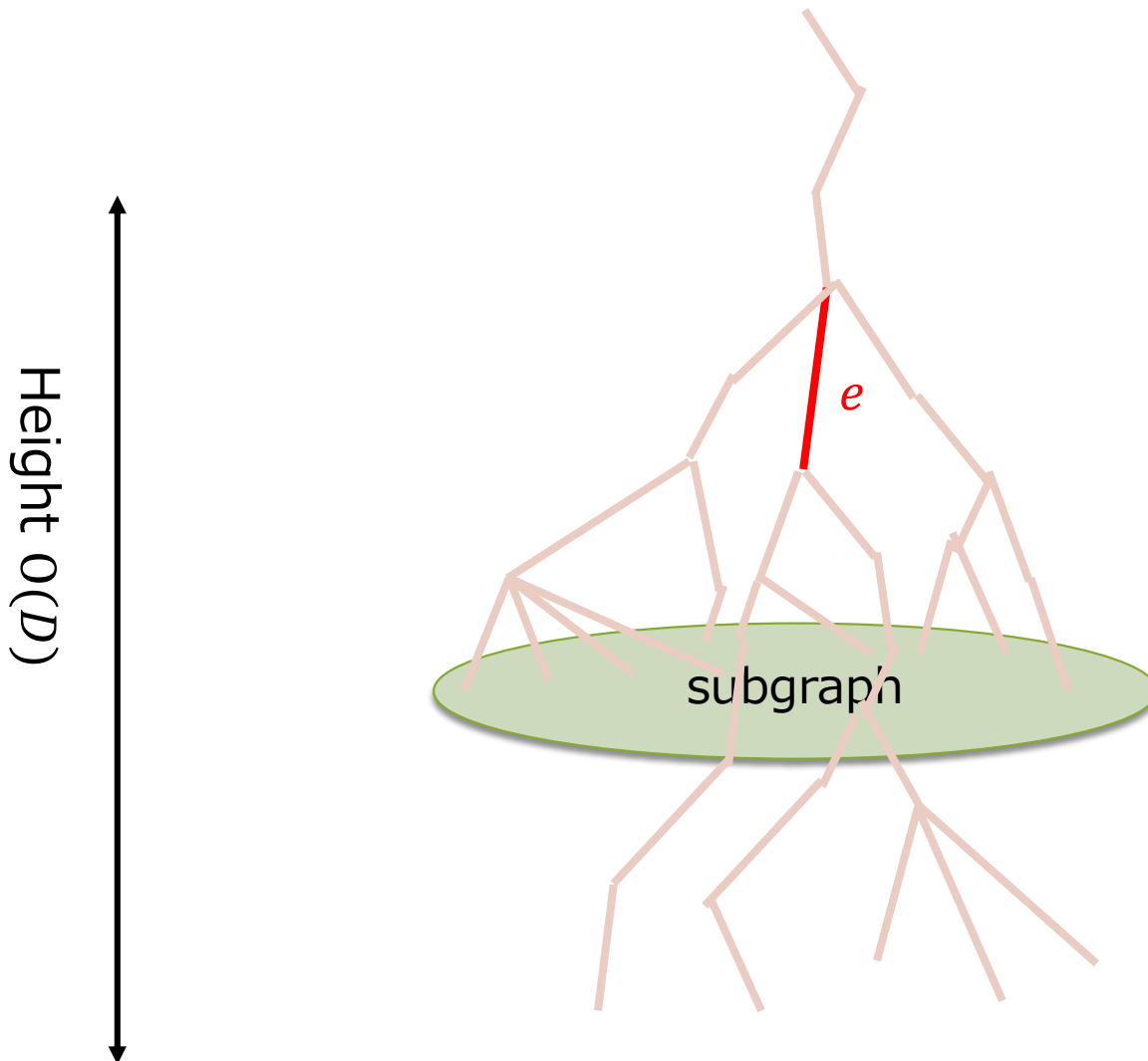
ショートカットの質

- この構成はdialation $O(D^2)$, congestion $O(D)$ を達成



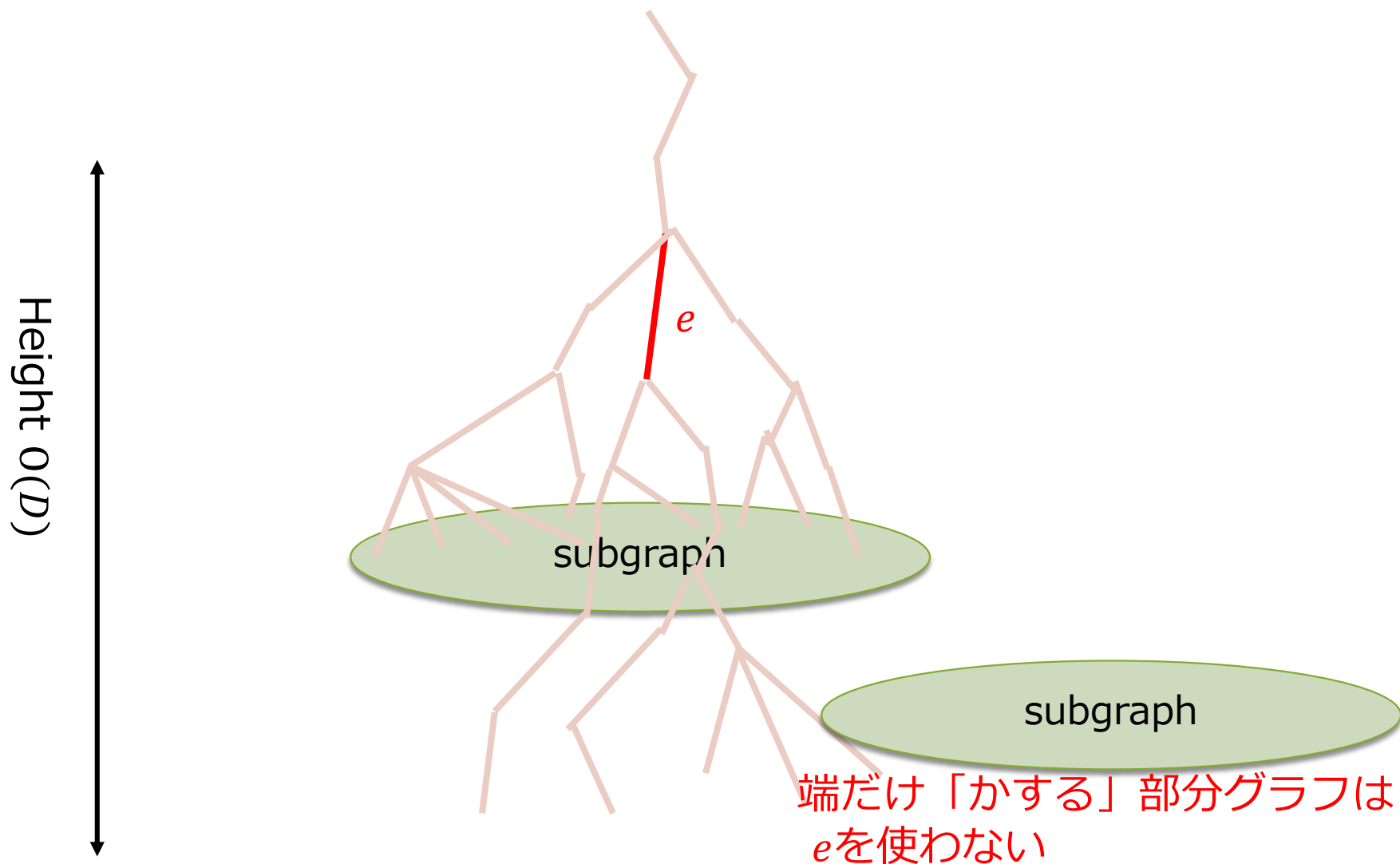
ショートカットの質

- この構成はdilation $O(D^2)$ congestion $O(D)$ を達成



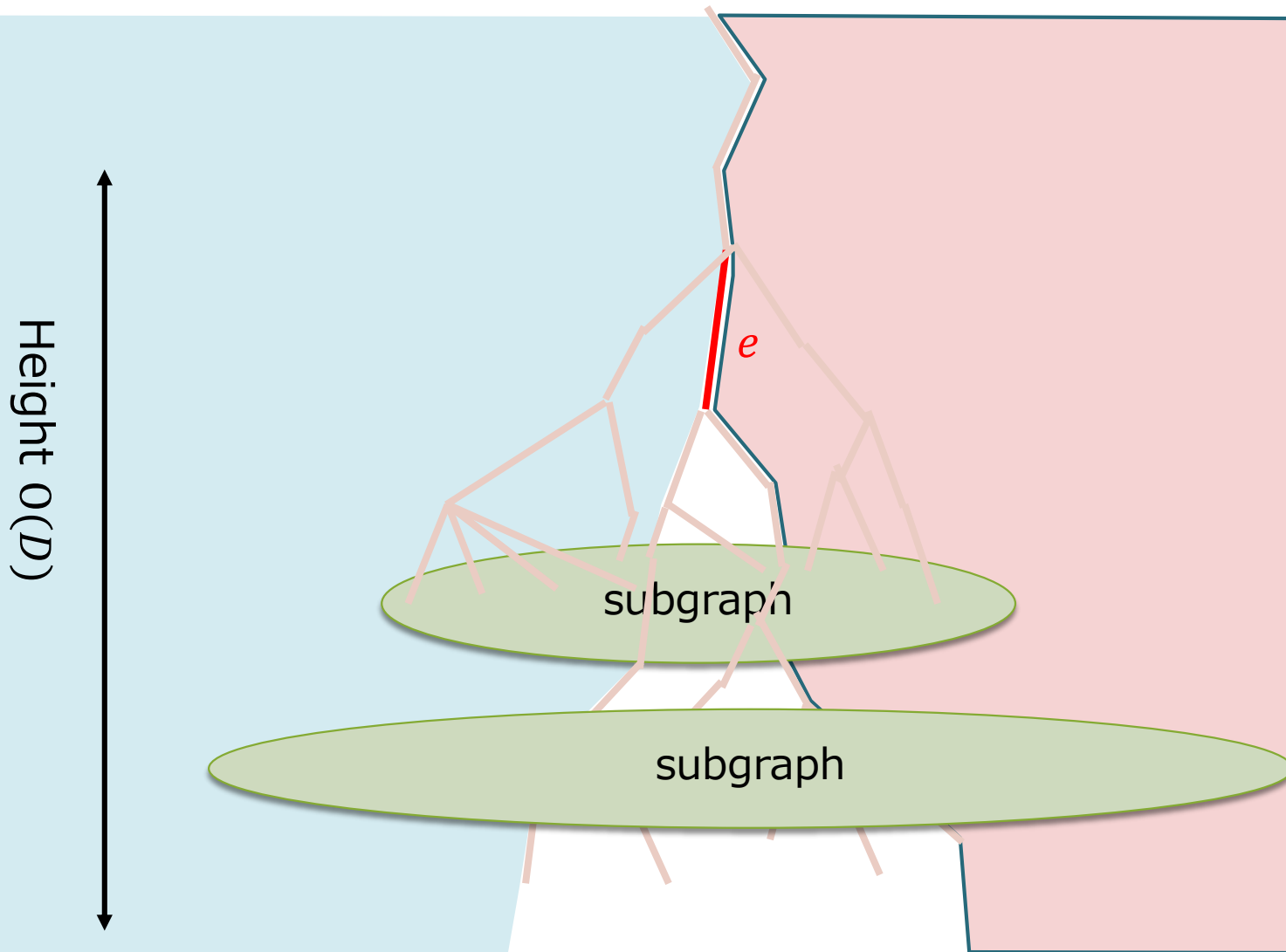
ショートカットの質

- この構成はdilation $O(D^2)$ congestion $O(D)$ を達成



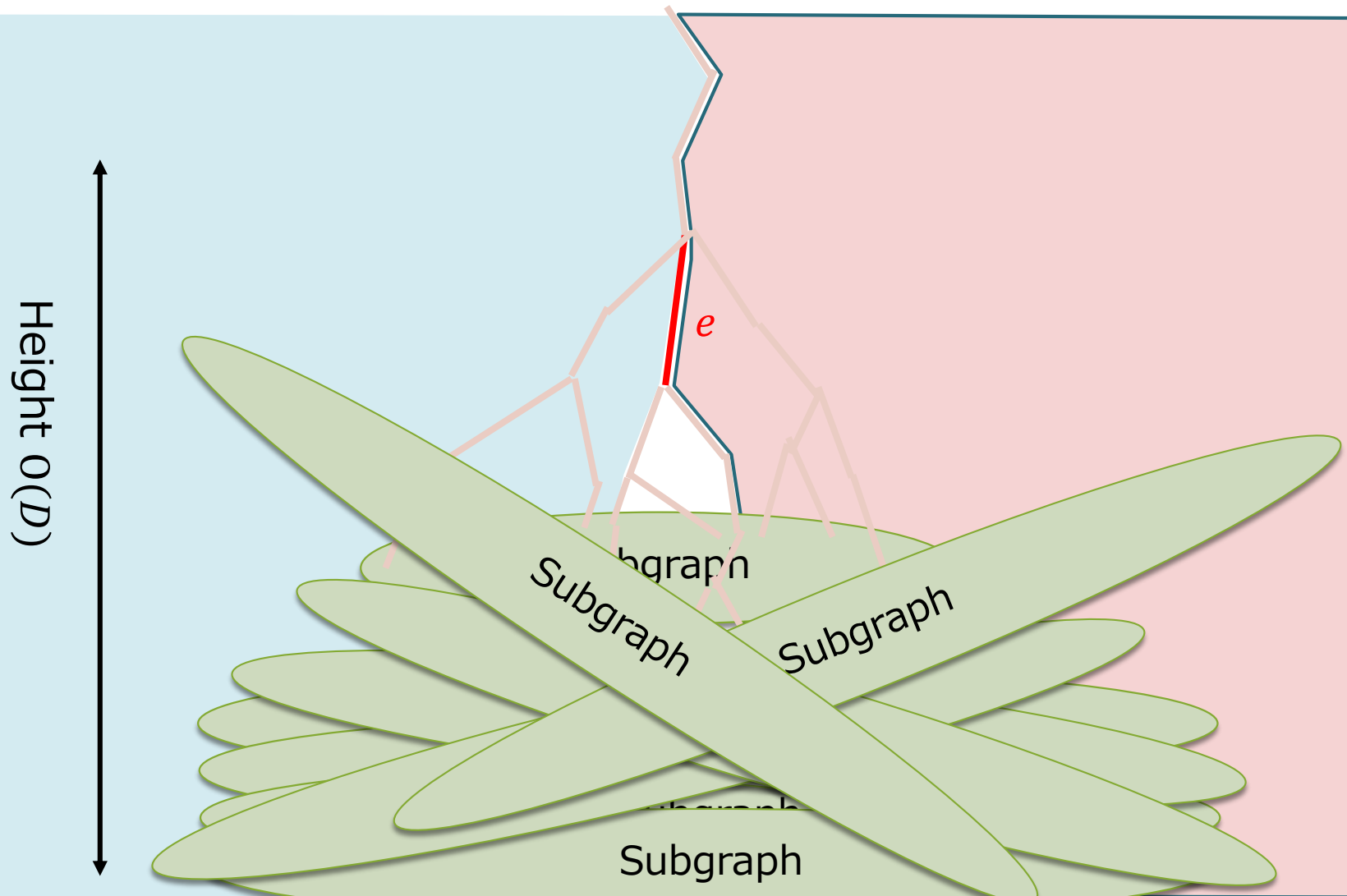
ショートカットの質

- この構成はdilation $O(D^2)$ congestion $O(D)$ を達成



ショートカットの質

- この構成はdialation $O(D^2)$ congestion $O(D)$ を達成



ショートカットの質

- この構成はdilation $O(D^2)$ congestion $O(D)$ を達成

$\omega(D)$ 個部分グラフがまたがる

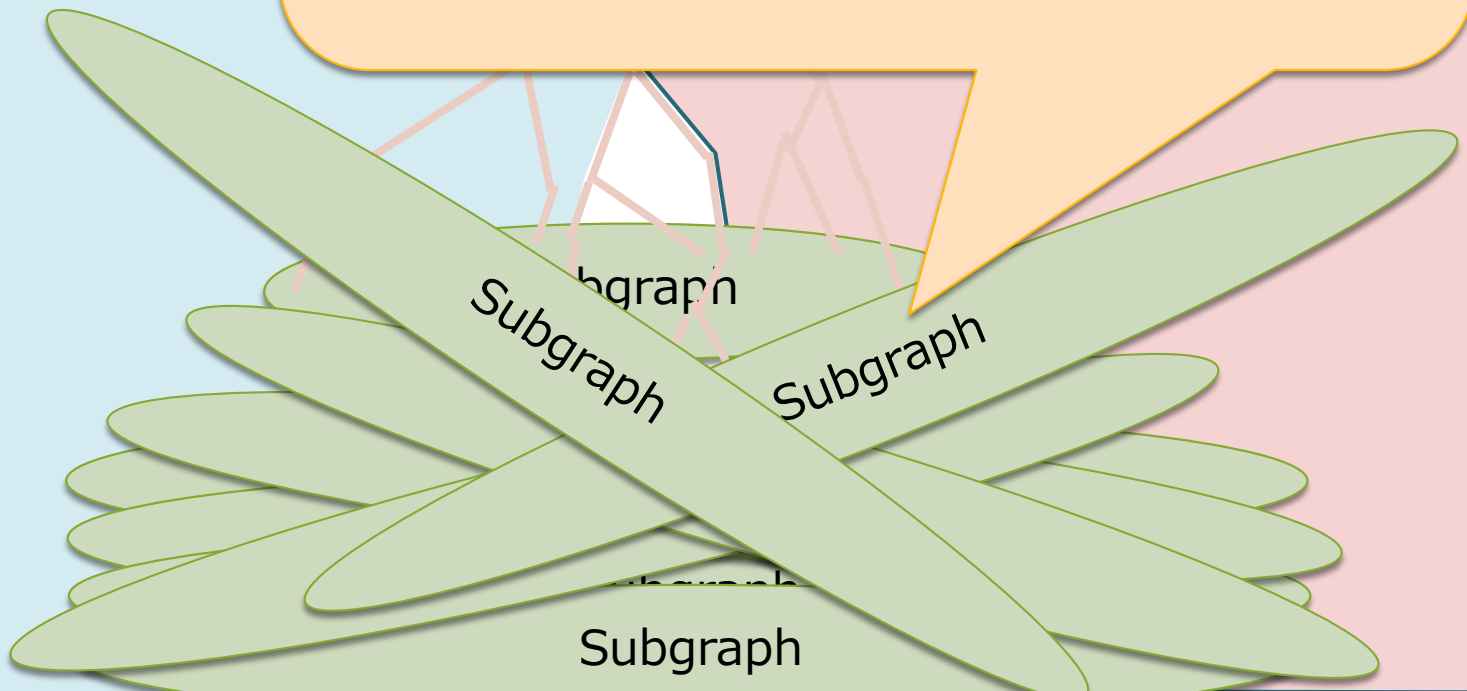


$K_{3,3}$ をマイナーとして持つので, 矛盾



Congestion $O(D)$

Height $O(D)$



低競合ショートカット

- グラフ G の連結部分グラフへの分割 P_1, P_2, \dots, P_N
- (c, d) -shortcut : 各 P_i への部分グラフ(辺集合) H_1, H_2, \dots, H_N の割り当てで, 以下を満たすもの
 - 任意の辺 $e \in E(G)$ は たかだか c 回利用される (congestion)
 - 任意の i について, $P_i + H_i$ は直径が高々 d (dilation)
- 以下のメタ定理が成立する

定理 [GH16]

(c, d) -shortcut を持ち, かつそれを $f(n)$ 時間で構成可能なグラフに対して, MST, 最小カットの $(1 + \epsilon)$ -近似を $\tilde{O}(c + d + f(n))$ 時間で計算することが可能

低競合ショートカット

- よいショートカットの存在(と構成)が知られているクラス

いずれも分散的に構成可能

Graph Family	Quality(c+d)	Construction	Lower Bound
Planar [GH16]	$O(D \log D)$	$O(D \log D)$	$\Omega\left(D \frac{\log D}{\log \log D}\right)$
Genus- g [HIZ16-2]	$O(\sqrt{g}D \log D)$	$O(\sqrt{g}D \log D)$	$\Omega\left(\frac{\sqrt{g}D}{\log g}\right)$
Treewidth- k [HIZ16-2]	$O(kD \log n)$	$O(kD \log n)$	$\Omega(kD)$

- 他にも, expander, unit disk graph, chordal graph
などで構成できることが分かっている[unpublished]



参考文献



- [GHS82] R. G. Gallager, P. A. Humblet, and P. M. Spira, "A distributed algorithm for minimum-weight spanning trees," ACM Trans. Prog. Lang. and Sys., 5(1), pp.66–77, 1983.
- [LMR94] T. Leighton, B. M. Maggs, and S. B. Rao, "Packet routing and job-shop scheduling in $O(\text{congestion} + \text{dilation})$ steps", Combinatorica, 14(2), pp.167–186, 1994.
- [Ghaffari15] M. Ghaffari, "Near-Optimal Scheduling of Distributed Algorithms", PODC2015, pp.3-12.
- [Topkis85] D. M. Topkis, "Concurrent broadcast for information dissemination", IEEE Trans. on Software Engineering, (10), pp. 1107–1112, 1985.
- [HIZ16-1] B. Haeupler, T. Izumi, G. Zuzic, "Low-Congestion Shortcuts without Embeddings", PODC2016, pp.451-460.
- [GH16] M. Ghaffari, B. Haeupler, "Distributed algorithms for planar networks II: Low-congestion shortcuts, MST, and min-cut", SODA2016, pp. 202–219.

- [KP98] S. Kutten and D. Peleg, “Fast Distributed Construction of Small k -Dominating Sets and Applications”, *J. Algorithms*, 28(1), pp.40–66, 1998.
- [Nanongkai14] D. Nanongkai. “Distributed Approximation Algorithms for Weighted Shortest Paths”, *STOC2014*, pp.565– 573.
- [RC87] A. Kalyanasundaram and G. Schnitger, “The probabilistic communication complexity of set intersection”, *Conf. on Structure in Complexity Theory*, pp.41-49, 1987.
- [Razborov90] A. A. Razborov. On the distributional complexity of disjointness. *Theor. Comp. Sci.*, 106, pp.385–390, 1992.
- [DHK+12] A. Das Sarma, S. Holzer, L. Kor, A. Korman, D. Nanongkai, G. Pandurangan, D. Peleg, R. Wattenhofer, “Distributed verification and hardness of distributed approximation”, *SIAM J. Comput.*, 41(5), pp.1235–1265, 2012.
- [FHW12] S. Frischknecht, S. Holzer, R. Wattenhofer, “Networks cannot compute their diameter in sublinear time”, *SODA2012*, pp.1150–1162.

- [PR00] D. Peleg and V. Rubinovich, "A Near-Tight Lower Bound on the Time Complexity of Distributed Minimum-Weight Spanning Tree Construction", SIAM J. Comput., 30(5), pp.1427–1442, 2000.
- [LP13] C. Lenzen, B. Patt-Shamir, "Fast Routing Table Construction Using Small Messages", STOC2013, pp. 381-390.
- [LPP06] Z. Lotker, B. Patt-Shamir, D. Peleg, "Distributed MST for Constant Diameter Graphs", Dist. Comp., 18(6), pp.453-460, 2006.
- [HIZ16-2] B. Haeupler, T. Izumi, G. Zuzic, "Near-Optimal Low-Congestion Shortcuts on Bounded Parameter Graphs", DISC2016, pp. 158-172.



演習問題

問題1

- ある1つのノードにグラフのトポロジ情報がすべて集まるような解法を「集中型の解法」と呼ぶことにする
- いかなる集中型の解法も $\Omega(n^2)$ ラウンドを必要とするようなトポロジを一つ挙げよ

問題2

- GHSアルゴリズムの実行時間評価 $\Omega(n \log n)$ ラウンドがタイトとなるような入力インスタンスを一つ挙げよ

問題3

(1) 重み付きグラフにおいて、始点 s から距離 d 以内 (ホップ距離でなく、重み付きの距離)のすべての頂点に対して s からの距離を計算する、congestion= $\tilde{O}(1)$, dilation= $O(d)$ のアルゴリズムを構成せよ

(2) 重み付きグラフにおいて、始点 s からすべての頂点への $(1 + \epsilon)$ -近似距離を計算する、congestion= $O(1)$, dilation= $\tilde{\Theta}(n)$ のアルゴリズムを構成せよ ($\epsilon = O(1)$ とする)

注意：辺重みは正整数である

問題4

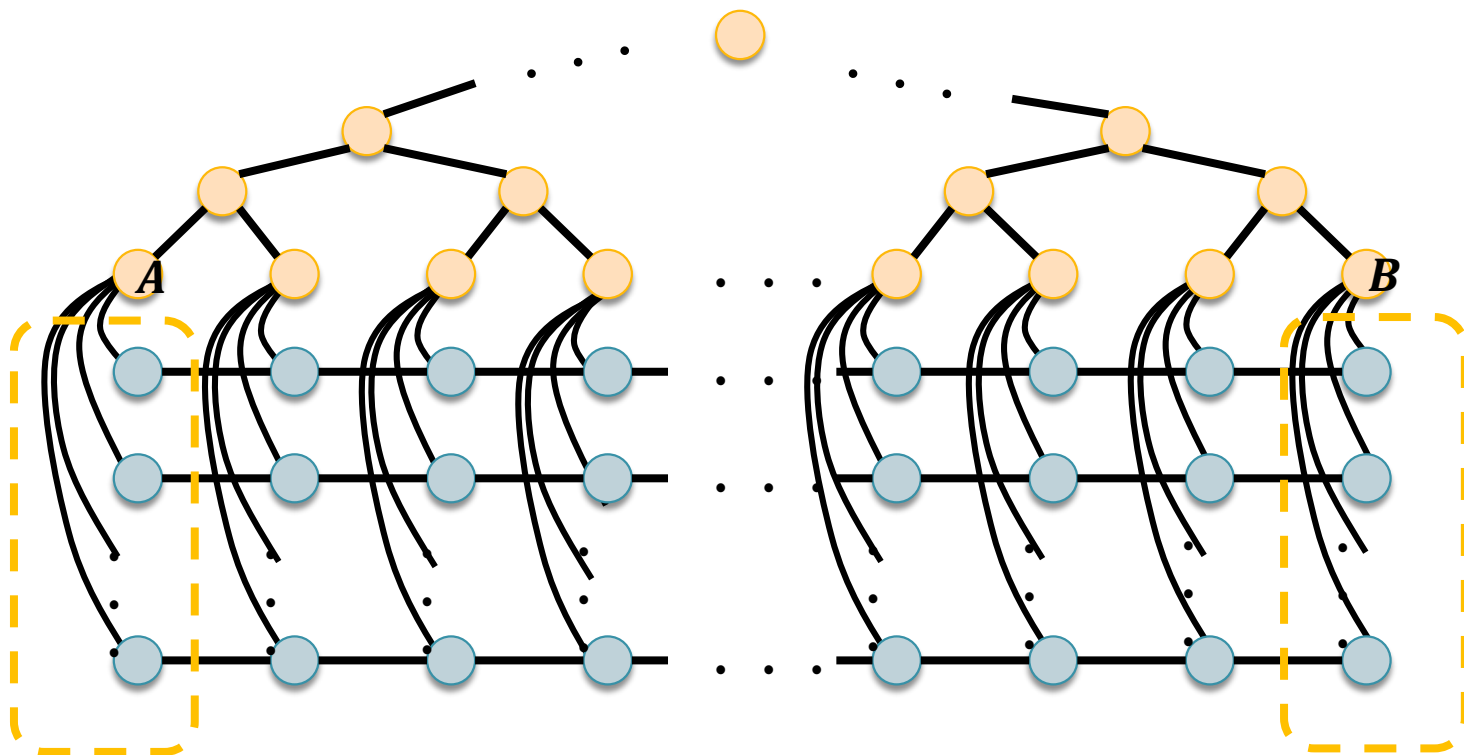
- 任意の近似率 $\alpha(n)$ に対して, s - t 最短距離の $\alpha(n)$ -近似値を求める問題が $\tilde{\Omega}(\sqrt{n})$ ラウンド必要であることを示せ

問題5

- 入力としてネットワークの各辺 e に $\{0,1\}$ のラベルが付けられているとする
- 1でラベル付けされた辺集合で誘導される部分グラフが所望の性質を満たしているかどうかを検査する問題（部分グラフ検証問題）を考える。以下の性質の検査はいずれも $\tilde{\Omega}(\sqrt{n})$ ラウンド必要であることを示せ
 - 連結である
 - サイクルを含む
 - 全域木である（たぶん難問）

問題4,5 補足&ヒント

- 以下の  で示す部分に自由に辺を追加しても述べた定理の成立には影響しない
(この部分については、帰着のために自由にトポロジを改変してよい)



問題6

- 以下のグラフクラスが (c, d) -shortcutを持つとしたとき, c, d はどの程度良い値が保証できるだろうか?
 - 完全グラフ
 - サイズ k の支配集合を持つ